

الجمهورية الجزائرية الديمقراطية الشعبية  
وزارة التعليم العالي و البحث العلمي  
جامعة منتوري قسنطينة

قسم الكيمياء

كلية العلوم الدقيقة

رقم الترتيب .....

رقم التسلسل .....

### مذكرة

مقدمة لنيل شهادة الماجستير في العلوم  
تخصص تحاليل فيزيوكيميائية  
و كيمياء عضوية

تحت عنوان

**فصل و تحديد منتجاته الأيض الفلافونيدي**

*Mentha arvensis* لنبات

تحت إشراف الأستاذ:

د. احسن بومندة

تقديم:

توبوج بمر

لجنة المناقشة:

رئيسة	أستاذة بجامعة منتوري قسنطينة	د. فضيلة بن حياش
أستاذ محاضر بجامعة منتوري قسنطينة	مقررا - د.	د. احسن بومندة
أستاذ بجامعة منتوري قسنطينة	ممتحنا	سمير بن حياش
أستاذ محاضر بجامعة منتوري قسنطينة	ممتحنا	د. محمد بوهرود
أستاذ محاضر بجامعة منتوري قسنطينة	ممتحنا	د. يحول الشريف
	2010.....	

بِاسْمِ اللَّهِ الرَّحْمَنِ الرَّحِيمِ  
وَالصَّلَاةُ وَالسَّلَامُ عَلَى أَشْرَفِ الْمَرْسَلِينَ

## الإِهْدَاءُ

أَهْدَيْتُ نُورَةً بِهَدِيْتُ هَذَا إِلَى أَنْلَى  
الْأَهْبَابِ إِلَى :  
أُمِّي وَأَبِي وَجَدِيْتُ حَفْظَهُمُ اللَّهُ  
وَإِلَى إِخْرَاجِ الْأَعْزَاءِ وَإِلَى كُلِّ أَفْرَادِ  
الْعَالَمَيْتَينِ :  
تَبَوَّبْتُ وَكَمَالٌ :  
وَإِلَى كُلِّ الْأَهْلِ وَالْأَهْبَابِ .

# تشكرات

الحمد لله الذي بيده الملك والملائكة، وله الأسماء الحسنى والنعماته، العالم فلا يعزبه عنه شيء، في السموات والأرض ولا يفوت، علم بالإنسان ما لم يعلم، والصلة والسلام على معلم البشر وأله، ما اتصل بالإسلام جده المبغوث وانقطع بالكفر حبله المتواتر وسلم كثيرا.

أتوجه بالشكر الخاص إلى الأستاذة الفاضلة فضيلة بن عياش على كل النصائح والمساعدات، والتي لم تقصر في حقنا ولم تبذل علينا شيئاً ولو على حساب صحتها حفظها الله.

لما أشكرها على قبولها رئاسة لجنة المناقشة

أتقدم بالشكر الجليل وكل العرفان للأستاذ بن عياش سمير لاستقباله لنا في مخبره "تمرين التروابط الطبيعية ذات الأصل النباتي واصطناع الجزيئات الفعالة بيولوجيا VAREN" وتقديره لمختلف الوسائل والتجهيزات لإنجاز هذا العمل، لذا على اهتمامه بإنجاز هذا البحث إضافة إلى قبوله المشاركة في لجنة المناقشة

أتقدم بجزيل الشكر والامتنان للأستاذ المشرف بورقة أحسن الذي كان ليه المشرف والموجه والمعين خلال مراحل إنجاز هذا العمل.

لما أشكر كل من الأستاذة : بوهرمه محمد وبهلوان الشريف على قبولهما المشاركة في لجنة المناقشة.

لما أشكر كل أفراد مخبر VAREN فالبداية الشكر الدالص للأستاذ : مشحود .. زهية .. وهيبة .. وأحمد .. كل أفراد دفاعتي عبد الرحمن، سهام، رضوان، حنان، محمد، سميرة، لبيبة، مجدة، فريت، فیروز، سيفه، لويزة.

لما أشكر كل من سهام ونوال

والشكر إلى كل من ساعدنا من قريب أو بعيد في إنجاز هذا البحث من البداية إلى نهاية الانتهاء، وأجدد شكري إلى الله ربى و الحمد لله رب العالمين.

# الفهرس

1.....	المقدمة.....
<b>الفصل الأول:</b>	
4.....	I الفلافلونيدات.....
4.....	I-1 مفاهيم اساسية.....
4.....	I-1-1 التعريف بالفلافلونيدات.....
5.....	I-1-2 اقسام الفلافلونيدات.....
6.....	I-2 الاصطناع الحيوي.....
7.....	I-2-1 طريق الشيكيميك.....
9.....	I-2-2 طريق الخلات.....
10.....	I-3-2 الاصطناع الحيوي لمختلف الهياكل الفلافلونيدية بدءا من الشالكون.....
12.....	I-4-2 تثبيت المجموعات الاستبدالية على الهيكل الفلافلونيد.....
12.....	I-4-2-1 - تثبيت مجموعات الهيدروكسيل.....
12.....	I-4-2-2 - تثبيت مجموعات الميثيل.....
13.....	I-4-2-3 - تثبيت جزيئات السكر.....
15.....	I-3 الاصطناع المخبري.....
16.....	I-3-1 تصنيع الشالكون.....
17.....	I-3-2 - تصنيع ثنائي هيدرو شالكون.....
18.....	I-3-3 - تصنيع الفلافلون.....
19.....	I-4-3 - تصنيع الفلافلانون.....
21.....	I-5-3 - تصنيع الفلافلون والأورون.....
21.....	I-6-3 - تصنيع ثنائي هيدرو الفلافلون.....
22.....	I-7-3 - تصنيع الأورون.....
22.....	I-8-3 - تصنيع إيزوفلافلون.....
24.....	I-4 خصائص و أهمية الفلافلونيدات.....
24.....	I-4-1 - الدور البيولوجي.....

26.....	I - 2-4- الدور الفسيولوجي
27.....	I - 3-4- الدور العلاجي

## الفصل الثاني

29.....	1-II - طرق الاستخلاص، الفصل و التنقية
29.....	1-1II - طرق الاستخلاص.....
32.....	1-2-II - طرق الفصل.....
32.....	2-1III - كروماتوغرافيا العمود(CC)
33.....	2-2-1III - كروماتوغرافيا الورقة التحضيرية (CP)
34.....	2-2-2-II - كروماتوغرافيا الورقة الرقيقة(CCM)
37.....	2-2-3-II - كروماتوغرافية نظام السائل عالي الأداء(HPLC)
38.....	2-2-4-II - التنقية.....
38.....	3-1II - التنقية على عمود من متعدد الأميد <sub>6</sub> SC <sub>6</sub>
38.....	3-2-II - التنقية على عمود من السيفاداكس.....
38.....	II-دراسة البنية للمركبات الفلاغونويدية.....
39.....	2II-1- اللون الإشعاعي تحت مصباح UV.....
40.....	2-II-2- معامل الإنباس. R <sub>f</sub> .....
41.....	2-II-3- مطيافية الأشعة فوق البنفسجية.....
42.....	2-II-3-1- طيف امتصاص الميثانول.....
44.....	2-II-3-2- طيف الإمتصاص في وجود الكواشف.....
45.....	ا) في وجود NaOH .....
45.....	ب) في وجود NaOAc .....
45.....	ج) في وجود H <sub>3</sub> BO <sub>3</sub> .+ NaOAc .....
46.....	د) في وجود AlCl <sub>3</sub> .....
46 .....	ه) في وجود HCl.+AlCl <sub>3</sub> .....
50.....	II-4-2- مطيافية الرنين النووي المغناطيسي.....
50.....	1-II-4-2- مطيافية الرنين النووي المغناطيسي للبروتون H- <sup>1</sup> RMN .....
51.....	ا) بروتونات الحلقة العطرية A.....

ب) بروتونات الحلقة العطرية B .....	. 51
ج) بروتونات الوحدة غير المتجانسة C.....	.52
53..... 2-4-2- مطيافية الرنين النووي المغناطيسي للكربون RMN <sup>13</sup> C	
54..... 3- مطيافية الرنين النووي المغناطيسي ثنائية البعد.....	II
55..... 5- التحليل البنوي للفلافونيدات عن طريق مطيافية الكتلة.....	II
55..... 1- عناصر التحديد البنوي للفلافونيدات عن طريق مطيافية الكتلة.....	II
55..... 2- تقنية القذف الإلكتروني (E.I).....	II
55..... أ- في حالة أجليكون الفلافون.....	
57..... ب- في حالة أجليكون الفلافونول.....	
59..... 3-تقنية الـ FAB	II
59..... 4-تقنية الإلكتروسبراي-électrospray	II
59..... 6- الإماهة الحمضية	II

### **الفصل الثالث**

1-الدراسة الكيميائية النباتية لنبتة <i>Menthaarvensis</i> ....	. 61
1-1- مقدمة .....	.62
1-1-2- بعض المركبات المفصولة من الجنس <i>Mentha</i> .....	63
1-1-3- التصنيف النظامي للنبتة .....	67
1-1-4- وصف النبتة .....	68
1-1-5- خصائصها .....	68
1-1-6 - الدور العلاجي .....	69
2- المادة النباتية .....	70
1-2- إستخلاص النبتة .....	70
2- طريقة الفصل والتقطية .....	73
3- الطريقة العملية النتائج الكيميائية .....	74

## **الفصل الرابع**

### **IV! التعيين البنوي للمركبين**

77.....	B <sub>2</sub> !-1 تحديد بنية المركب
87.....	B <sub>2/2</sub> .!-2 تحديد بنية المركب
98.....	الخاتمة
99.....	المراجع

# المقدمة

من المشاهد في واقعنا اليومي زيادة اهتمام الناس بالطب والعلاج الطبيعي، والتداوي بالأغذية الطبيعية والأعشاب و النباتات الطبية و الوصفات الشعبية المجرية من أهل الخبرة .

قديما كانت تستعمل الأعشاب كمصدر رئيسي في معظم العقافير، [2,1] فملكة النبات تزود الطب بصفة مستمرة فستعمل في شكلها الخام على شكل شايات، شراب، منقوع، مراهم، دهان أو مساحيق حيث اعتمد الإنسان في الحضارات القديمة خاصة بلاد الرافدين و بابل و أشور و حضارة مصر القديمة على الأعشاب الطبية في معالجة الأمراض بجانب طرق أخرى منها الرقي و التعاوين و السحر ،لقد كان للعرب السبق في الترجمة و الدراسة و التجربة لكل ما جاء في كتب الأقدمين عن المعالجة بالأعشاب وقد برع منهم الكثيرون في هذا الفن حتى ان مؤلفاتهم ظلت لقرون عديدة مرجعا للطب و العلاج في أوروبا وذلك لما تضمنته من معلومات مهمة عن العلاج بالإعشاب والوقاية من الأمراض المختلفة [3]

مع تطور الكيمياء و الطب الغربي اعتمد على التداوي بالعقافير والأدوية المصنعة [4] إلا أن صناعة بعض هذه الأدوية غير عملية اقتصاديا، ناهيك عن السلبيات الناجمة عنها من مضاعفات وأمراض سرطانية و أعراض جانبية، عانى منها الكثير من المرضى، و مع بداية السبعينيات بدأت العودة بالتدريج إلى الاهتمام بالأعشاب الطبية لما أثبتت الدراسات أن تلك الأدوية آثارا جانبية خطيرة في معظم الأحيان ، بينما تكون تراكيز هذه المواد الفعالة متوازنة و مخففة في النبات و تتفاعل برفق مع الجسم البشري في صورتها الطبيعية ، إضافة إلى تعاون بعض المواد الموجودة في النبات معها حتى و لو كانت على شكل آثار فقط. مما أدى بكثير من سكان العالم اليوم بالعودة إلى استعمال النباتات الطبية في مختلف علاجاتهم ، الأمر الذي جعل الهيئات المختصة تتذبذب جهودا لمسايرة الوضع الجديد حيث أخذت بعض المنظمات خطوات مهمة لتشجيع العلماء على البحث في هذا المجال و تطويره كمنظمة الصحة العالمية و الإتحاد الأوروبي [5,6] مما نتج عنه أن:

- 40 % من الأدوية المستعملة عبارة عن عناصر طبيعية.
- 50 % من الوصفات الطبية في الولايات المتحدة الأمريكية- حسب إحصائيات 1995- تحتوي على الأقل على دواء مستخرج من أصل طبيعي.
- من مجموع الأدوية الجديدة التي طرحت في السوق ما بين: 1981 - 2002 م، 14 % لمعالجة الأمراض السرطانية ، 7 % ضد الحساسية و 15 % ضد بعض الطفيلييات هي عبارة عن مركبات طبيعية [8، 7].

و نظراً لتربع الجزائر على مساحات شاسعة فقد أكسبها ذلك وجود تضاريس و ظروف مناخية متعددة و قد انعكس ذلك على النمط النباتي، مما جعلها من البيئات النباتية النادرة حيث تنوع الغطاء النباتي و تدرجه من الغابات الرطبة الكثيفة إلى النباتات الجافة الصحراوية المبعثرة والمحدودة الانتشار، و انعكس ذلك بدوره على وجود العديد من الفصائل، الأجناس و الأنواع النباتية (تنوع الفلورا نفسها) و على وجود العديد من الأنماط البيئية Ecotypes و الأنماط الحيوية Biotypes، وترتبط عن هذا كلّه نمو مئات من الأنواع النباتية البرية المختلفة و التي بدورها تضم العديد من النباتات الطبية، و رغم هذا التنوع في مناخ الجزائر ما يعني الوفرة في الغطاء النباتي خاصة بالنسبة للنباتات الطبية، حيث يصل عدد النباتات إلى 3000 نبتة تنتمي إلى مختلف العائلات النباتية، 15% منها محلية [9]، لكن تبقى الأبحاث بخصوصها قليلة سواء على مستوى الفيتوكييميا أو في مجال الفارماكولوجيا.

و في الوقت الحالي بدأ الباحثون الجزائريون و حتى الأجانب في استغلال الثروة النباتية في الجزائر في مجال الكيمياء والطب. لذا كان الهدف من بحثنا استخلاص الأيض الثانوي الفلافونيدي لإحدى النباتات الشمالية *Mentha arvensis*

يضم هذا العمل أربعة فصول:

الفصل الأول: تطرقنا فيه إلى التعريف بالفلافونيدات ، الاست Extrac tion الحيوي لها و أخيراً فعاليتها بيولوجيا.

الفصل الثاني: خصصناه لكيفية الاستخلاص و تحديد بنى الفلافونيدات بواسطة الطرق الفيزيوكيميائية و الكرومانتوغرافية المعروفة.

**الفصل الثالث:** عرضنا فيه معلومات نباتية و كيميائية عن العائلة و النبتة المدروسة وكذا الطريقة العملية التي أنجز بها هذا العمل المتمثل في استخلاص، فصل و تنقية الفلافونيدات إضافة إلى النتائج الكيميائية

**الفصل الرابع :**قمنا بتحديد الصيغ البنوية للمركبات المفصولة.

# نُفَحَّلِ الْأَوْرَ

المركبات الفلافونويدية



## I الفلافونيدات :

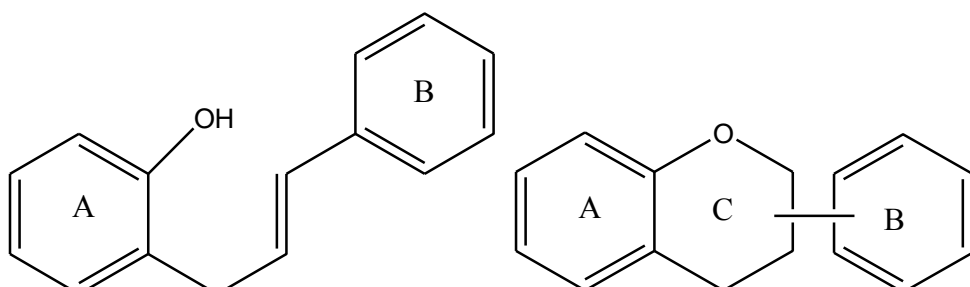
### I - مفاهيم أساسية :

#### I - 1 التعريف بالفلافونيدات :

الفلافونيدات عبارة عن مركبات طبيعية من نواتج الأيض الثنائي، و هي صبغات نباتية تتواجد في مختلف أجزاء النبتة (جذور ، أوراق ، أزهار)، غير أنها تتواجد بتركيز عالي في القسم الهوائي. توجد في معظم الأصناف النباتية خاصة الراقية منها، و هي واسعة الانتشار عند كاسيات البذور ، متوسطة الحضور عند عاريات البذور و شبه منعدمة عند الطحالب[10] كما وجدت عند الحزازيات[11]، كذلك عند نباتات أحادية الفلقة، و تعتبر كأداة تشخيصية لذوات الفلقتين[10].

تتواجد بصفة عامة في الخلايا السطحية للأنسجة النباتية، حيث تؤمن لها الحماية من الأشعة فوق البنفسجية المضرة[12]. كما أنها تتواجد منحلة في الفجوات على شكل إيتيروزيدات héteroside (أي الفلافونيدات التي تحل في الماء ) أما بقية الفلافونيدات التي تحل في مذيبات غير قطبية (أي الفلافونيدات عديدة الميتوكسيل ) فنجدها في سيلوبلازم الخلية [13]، بالنسبة للأجليكونات فتتوضع على سطح النبات بخاصة الأوراق، حيث تكون ملزمة لمواد هي الأخرى ليبوفيلية و تلاحظ هذه الظاهرة خصوصا عند نباتات المناطق الجافة و شبه الجافة[14].

جميع الفلافونيدات تحتوي على 15 ذرة كربون و ذلك في هيكلها الأساسي موزعة على الشكل  $C_6-C_3-C_6$  بحيث تتصل الحلقتان البنزينيتان "A" و "B" بسلسلة من 3 كربونات و التي تشكل عموما حلقة غير متاجنة "C" بعد الالتحام مع الـ OH الفينولي للحلقة A [15]



الشكل -1- يبين مختلف الهياكل الفلافونيدية

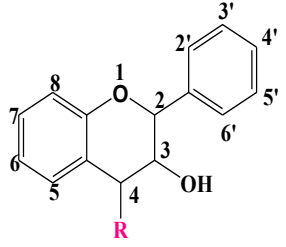
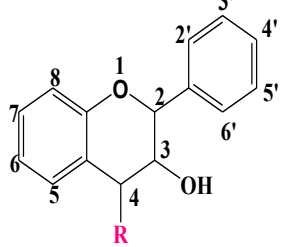
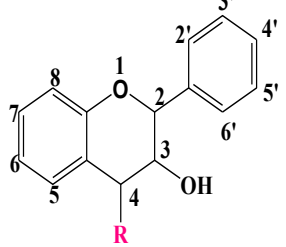
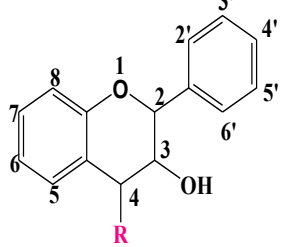
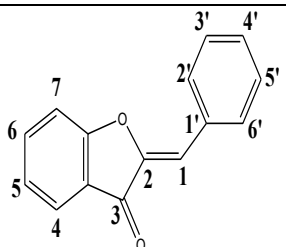
## I-1-2-أقسام الفلافونيدات :

نستطيع أن نقسم الفلافونيدات انطلاقاً من الاصطناع الحيوي لها، فبعضها يعتبر وسائط ومركبات نهائية في الاصطناع الحيوي مثل الشالكونات، الفلافانو-3-أول ، فلافان-3,4-ديول . بعضها الآخر تعرف فقط بالمركبات النهائية في الاصطناع الحيوي كأنثوسينيات، الفلافانونات، الفلافونولات

معظم الفلافونيدات ملخصة في الهياكل في جدول التالي [16]

أهم المركبات		مختلف أقسام الفلافونيدات		
التسمية	موقع OH	إسم العائلة	البنية	المشتقات
apegenidine luteolidine	5,7,4' 5,7,3',4'	R= H Flavylium (Anthocyanine)		2-phényl- benzopyriliu m s
cyanidine	5,7,3',4'	R=OH Anthocyanidine		
apeginine luteoline	5,7,4' 5,7,3',4'	R= H Flavone		2-phényl- chromones
kaempférol quercetine	5,7,4' 5,7,3',4'	R= OH Flavonol		
narengenine butine	5,7,4' 7,3',4'	R= H Flavanone (dihydroflavone)		Phenyl- 3chromone
fustine taxifoline	7,3',4' 5,7,3',4'	R=OH Flavanonol		
daidzein orobo	7,4' 5,7,3',4'	Isoflavone	 <small>* —</small>	

الجدول(1): أنواع الفلافونيدات

أهم المركبات		مختلف أقسام الفلافونيدات		
التسمية	OH موضع	إسم العائلة	البنية	المشتقات
gallocatechine catechine	5,7,3',4', 5' 5,7,3',4'	R= H Catechine (flavanol-3)		2-phényl-chromananes
leucocyanidine	5,7,3',4'	R=OH Leucoanthocyanid (flavandiol- ine 3,4)		
gallocatechine catechine	5,7,3',4', 5' 5,7,3',4'	R= H Catechine (flavanol-3)		2-phényl-chromananes
leucocyanidine	5,7,3',4'	R=OH Leucoanthocyanid (flavandiol- ine 3,4)		
sulphuretine maritimetin	6,3',4' 6,7,3',4'	Aurone		2-benzylidène-coumaranones (aurone)

## الجدول(2): أنواع الفلافونيدات(ابع )

### ١-٢ الاصطناع الحيوي :

نظراً لأهمية الفلافونيدات وإنشارها الواسع ، فقد أثارت إهتمام الباحثين [لاري هيلبين](#) [فانجي نوجين](#) وحتى علماء الوراثة وقاموا بتجيئه أبحاثهم لمعرفة أصل التطور الوراثي لهذه المركبات ، أي كيف يتم تصنيعها داخل النبات . فالاصطناع الحيوي للفلافونيدات يتبع عدة مسالك لتكوين النظام الحلقي داخل النباتات الراقية ، حيث أنه تم إجراء تجارب عديدة و ذلك باستعمال النظائر الموسومة ب  $C^{14}$  المشع ، فقد لاحظ [الباحث " Robinson " سنة 1936](#) [17] أن النواتين البنزينيتين للمركبات الفلافونيدية ليس لهما نفس الأصل الوراثي الحيوي و عليه فإن عملية الاصطناع الحيوي تتم خلال ثلاثة مراحل:

## 1- طرق الشيكيميك :

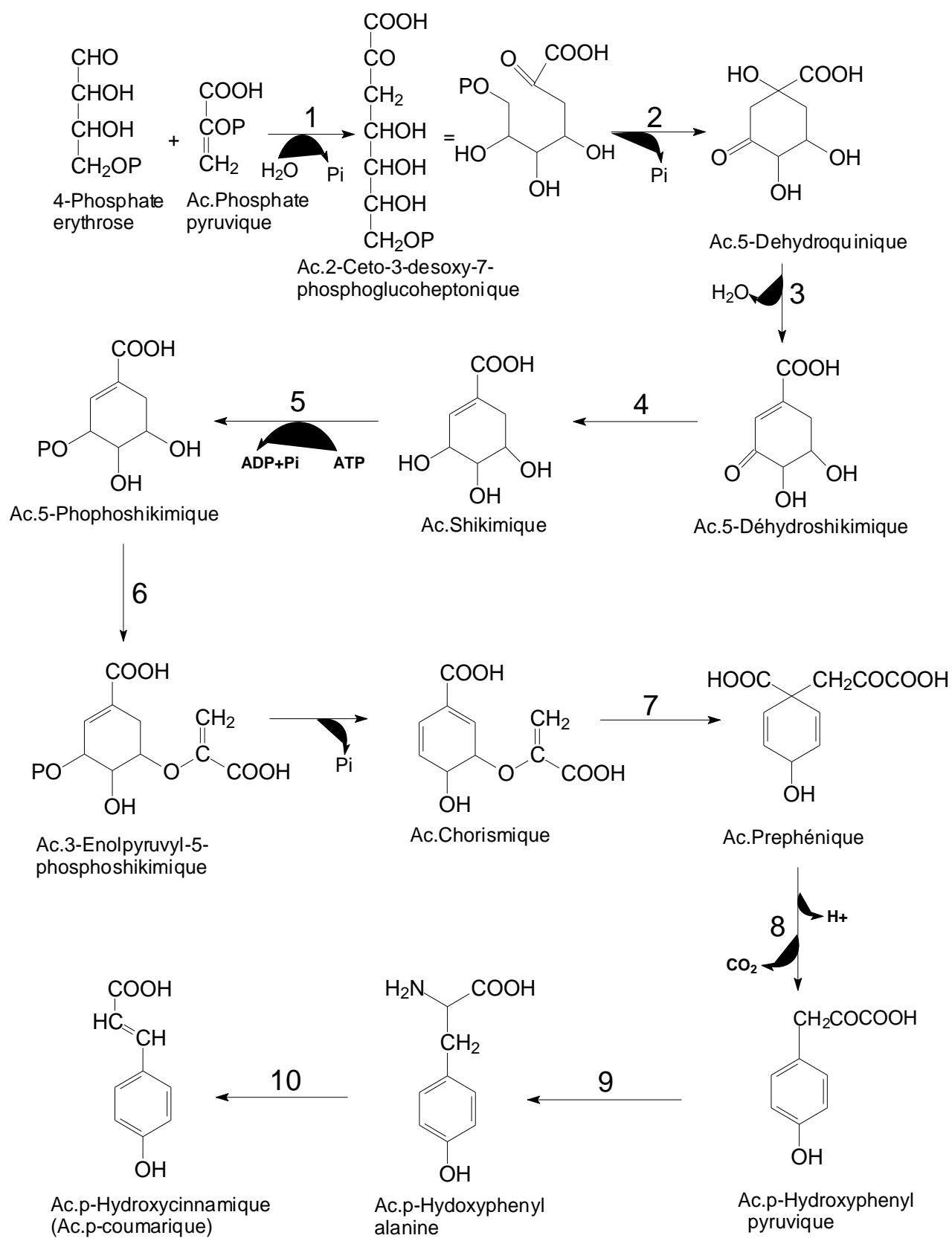
و هي المرحلة الأولى حيث أثبت الباحث " Davis " أثبت سنة 1955 [18] دور حمض الشيكيميك في تكوين الحلقة B و كذلك السلسلة الكربونية الثلاثية C<sub>3</sub> و ذلك بدءاً بالغلوكوز ، كما هو مبين في الشكل -

-2

بعينما الجدول التالي يبين الأنزيمات الداخلة في تكوين حمض Ac.p-Coumarique

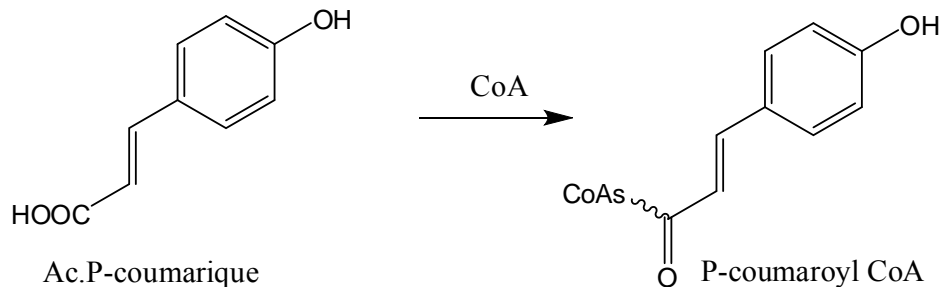
الرقم	الإنزيم
1	Aldolase, 3-désoxy-O-arabinoheptulosonate-7-phosphate synthase ou DHAP synthase
2	Déshydroquinate synthase
3	Déshydroquinate déhydratase
4	Shikimate déshydrogénase
5	Complexe shikimate kinase
6	Ac.Phosphate pyruvique
7	Chorismate mutase
8	Préphénate déshydrogénase
9	Aminitrensférases
10	Tyrosine ammonia-lyase

## الجدول-3- الأنزيمات الداخلة في تكوين حمض Ac.p-Coumarique



الشكل 2: تكوين حمض Ac.p-coumarique انطلاقا من الجلوكوز مرورا بحمض الشيكيميك

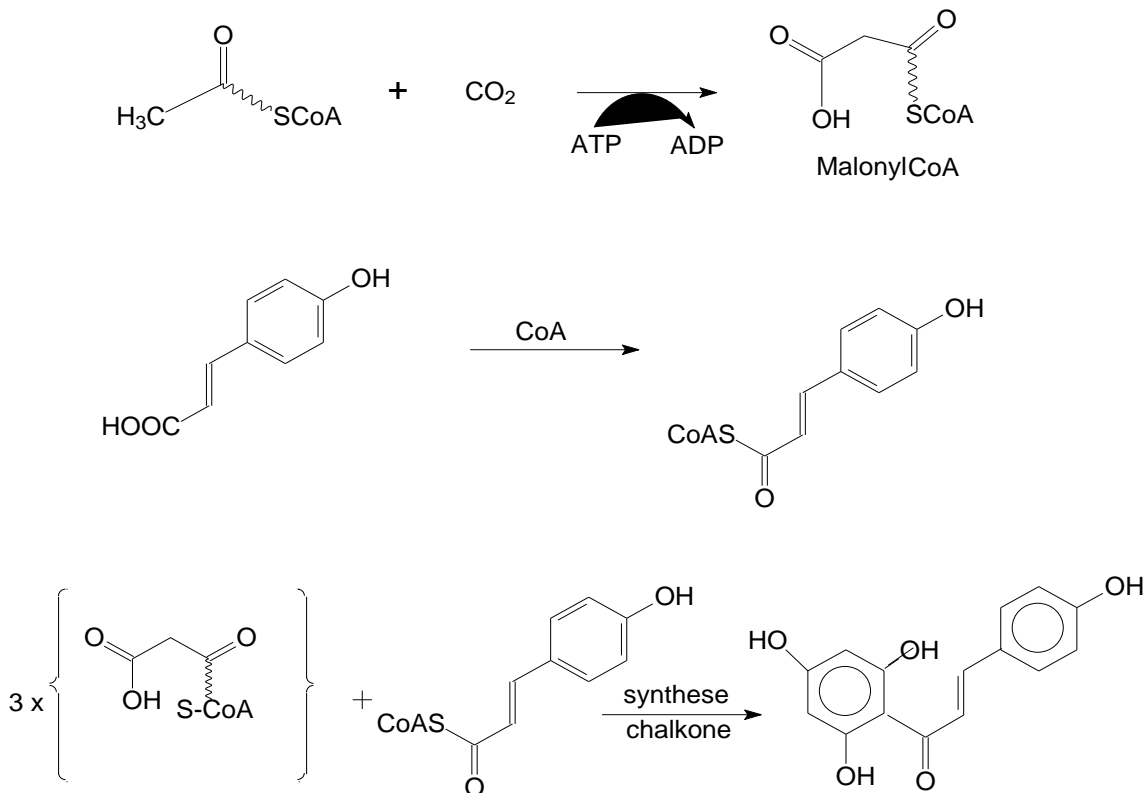
ثم يتحول *p*-coumaroyl-CoA إلى Ac.*p*-coumarique



الشكل 3 : تحول *p*-coumaroyl-CoA إلى Ac.*p*-coumarique

### ١-٢-٢ طريق الخلات :

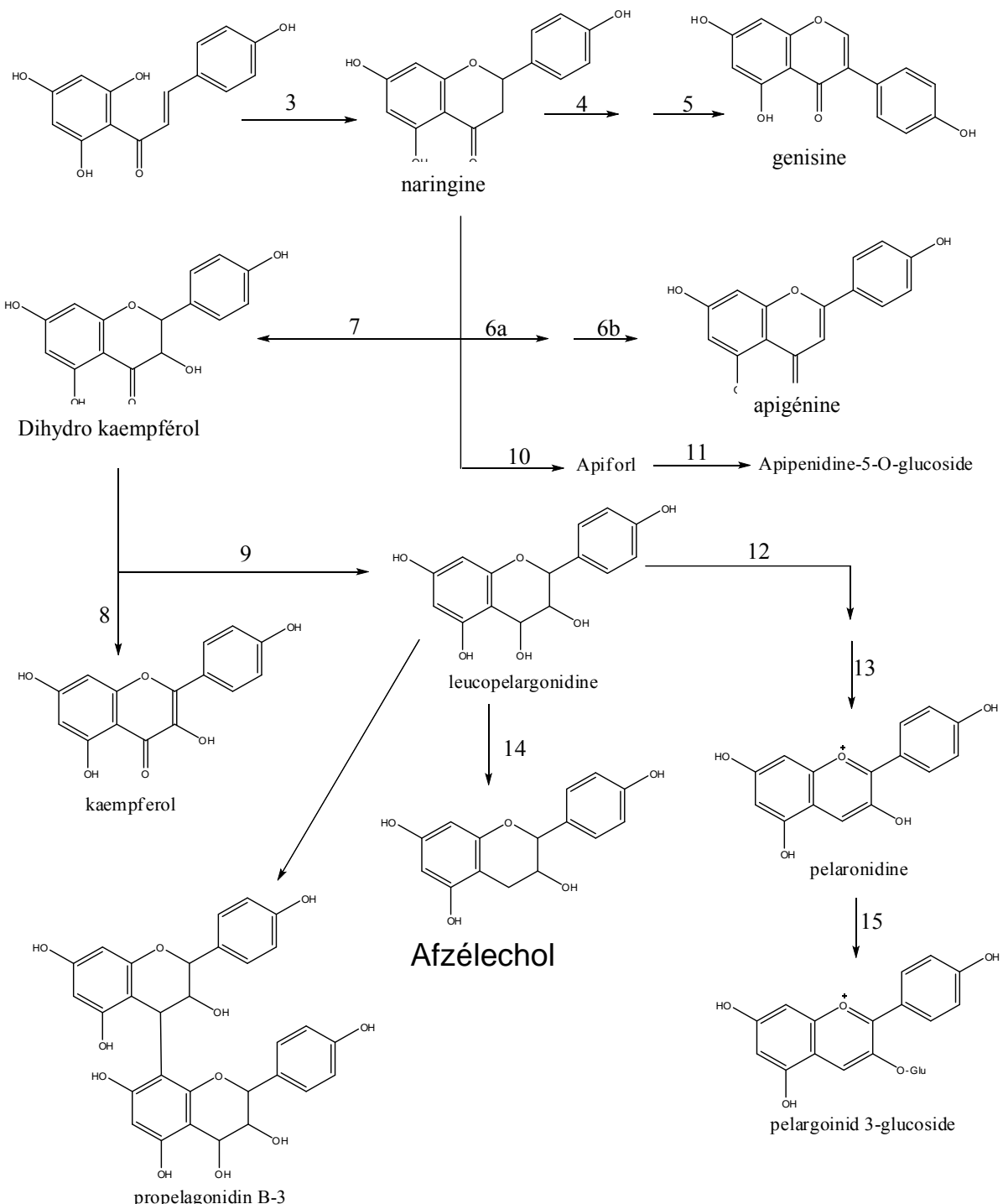
الحلقة A تتشكل من تكافث رأس - ذيل لثلاث وحدات من الخلات على شكل -20-19] -4- [Ac.P-Coumarique مع حمض Malonyl-CoA . كما هو موضح في الشكل 4-[22-21]



الشكل - 4 - تكوين الشالكون

### ١-٢-٣ الاصطناع الحيوي لمختلف الهياكل الفلافونويدية بداعا من الشالكون :

يعتبر الشالكون النواة الرئيسية التي تتحدر منها مختلف هياكل الفلافونيدات [23] و الذي يتكون من تكاثف ثلات وحدات من p-coumaroyl-CoA مع Malonyl-CoA كما هو موضح في (الشكل ٥-٤).



الشكل -٥- الإصطناع الحيوي لمختلف الهياكل الفلافونويدية انطلاقا من الشالكون

تم تلخيص قائمة الإنزيمات الدالة في التصنيع الحيوي في الجدول التالي:

العامل المساعد (CO- (FACTEUR)	الإنزيم (ACRONYME)	الرقم
Non	Acetyl-CoA	I
Non	Phenylalanine ammonia-lyase(PAL)	II
NADPH	Cinnamate 4- hydroxylase (C <sub>4</sub> H)	III
CO-Sh ATP	4-Coumarate:CoA ligase (4CL)	VI
Non	Chalcone synthase (CHS)	1
NADPH	Polyketide reductase (PKR)	2
Non	Chalcone isomerase	3
NADPH	2-Hydroxyisoflavone synthase (IFS)	4
Non	2-Hydroxyisoflavanol deshydrathase	5
NADPH	6-a Flavone synthase I (FNSI)	6
NADPH	6-b Flavone synthase II (FNSI)	6
2-Oxoglutarate Fe <sup>2+</sup> ascoparate	Flavanone 3-hydroxylase (FHT)	7
2-Oxoglutarate Fe <sup>2+</sup> ascoparate	Flavonol synthase (FLS)	8
NADPH	Dihydroflavanol 4- reductase (DFR)	9
NADPH	Flavanone 4-reductase (FNR)	10
NADPH	Leucoanthocyanidine 4-reductase	11
Inconnu	Anthocyanine synthase (ANS)	12
	Flavonoid 3-O-glucosyltransférase (FGT)	13
Non	Flava-3,4-cis-diol-reductase	14
non	Anthocyanidine / flavonol 3-O- glucosyltransférase	15

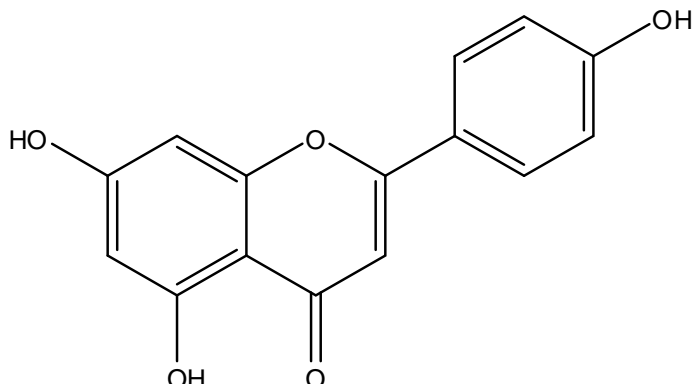
#### الجدول-4- الإنزيمات الدالة في التصنيع الحيوي

## ٤-٢-٤ تثبيت المجموعات الاستبدالية على الهيكل الفلافونوبيدي:

### I - ٤-٢-١ تثبيت مجموعات الهيدروكسيل:

يعود تثبيت مجموعات هيدروكسيل الحلقة A إلى نمط تكوين الهيكل الفلافونوبيدي، فتكون ثنائية الاستبدال في الموضعين 5 و 7 بنسبة 90 % إذ تعد كمجموعات هيدروكسيلية أصلية. ويعود وجود ثلات هيدروكسيلات أو هيدروكسيل واحد على الحلقة A في بعض الفلافونيدات إلى كون هذه الأخيرة تتبع اصطناعا حيويا مغايرا للأول. أما بالنسبة لهيدروكسيلات الحلقة B، فيعتبر هيدروكسيل الموضع '4 هو الوحيد الذي يتم تثبيته قبل تكوين الفلافونيد، في حين تكون المواقع '2، '6 نادرة الاستبدال [24].

على سبيل المثال 2 l'apigénine

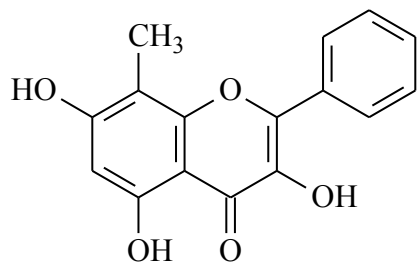


الشكل - 6 - Apigénine

### I - ٤-٢-٢ تثبيت مجموعات الميثيل :

إن تثبيت الميثيل يأتي بعد تثبيت الهيدروكسيل، و يتم هذا الأخير على هيكل الأجليلكون في حالتين :  
الحالة الأولى:

تكون الرابطة بين كربون الميثيل و كربون النواتين A و (أو) B و مثال على ذلك المركب

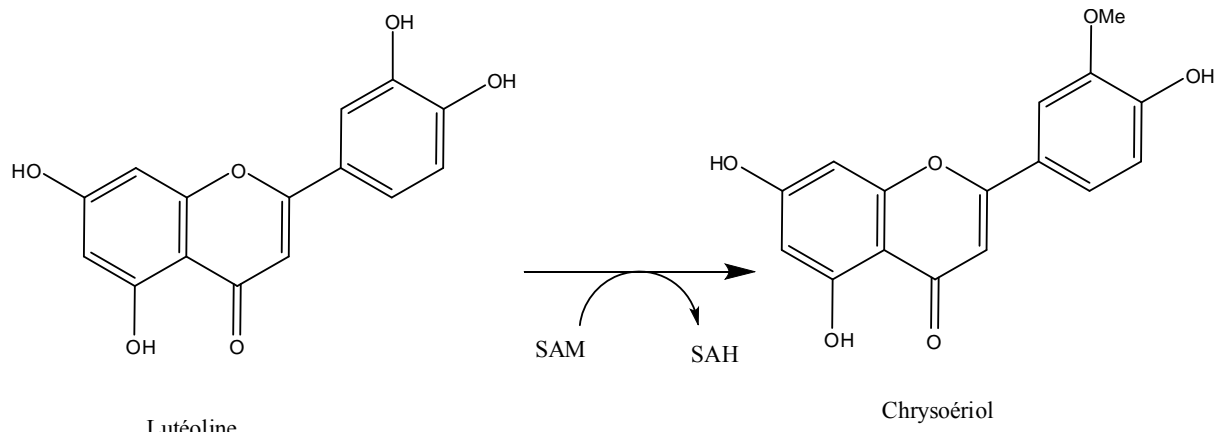


8-C-méthylgalangine

الشكل-7-

### الحالة الثانية:

هي مثيلية المجموعات الهيدروكسيلية التي تم تثبيتها من قبل (*O*-methylation) و هذا في وجود أنزيم *O*-methyltransférase كمانح للميثيل [25] والشكل التالي يبين ذلك.



SAM : S – adénosyl méthionine  
SAH : S – adénosyl homocysteine

الشكل-8- التحول الإنزيمي لـ lutéoline إلى chrysoériol

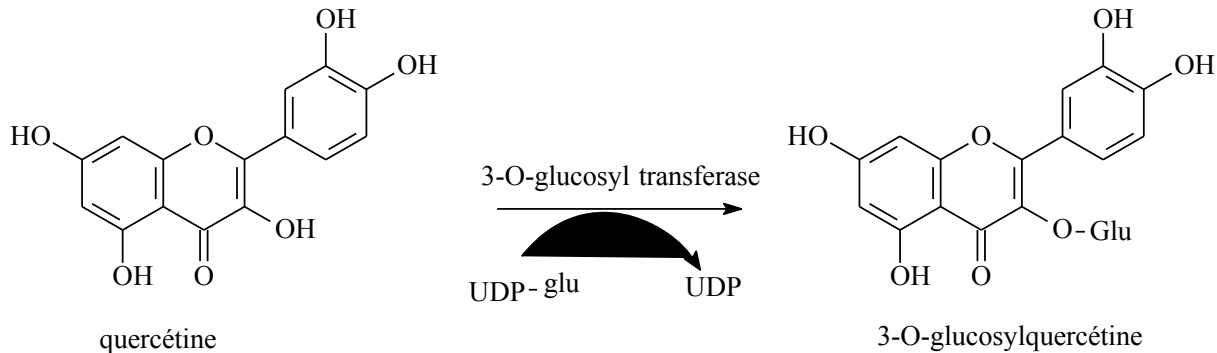
كما يمكن ظهر مجموعات ميثوكسي عن طريق المثيلية المباشرة على الحلقة البنزينية[26].

### I - 4-2 - 3 - تثبيت جزيئات السكر:

توجد المركبات الفلافونيدية على هيئة جليكوزيدات، أي أن بناءها يحتوي على وحدات سكرية قد تكون أحادية أو ثنائية كما يمكن أن يدخل في بناء المركب أكثر من مستبدل سكري.

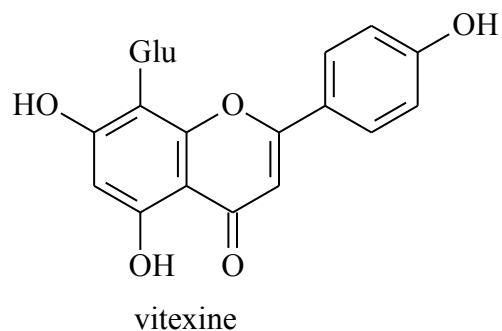
و ترتبط وحدة السكر بذرة أكسجين مجموعه الهيدروكسيل مباشرةً أي من نوع (*O*-heterosidique) و عادة يكون هيدروكسيل الموضع 7 للفلافونات و هيدروكسيل الموضع 3 للفلافونولات و يتم تثبيت السكر في وجود إنزيم "*O*-glucosyl transférase" و مانح للسكر مثل :

([27]) والشكل التالي يوضح ذلك.



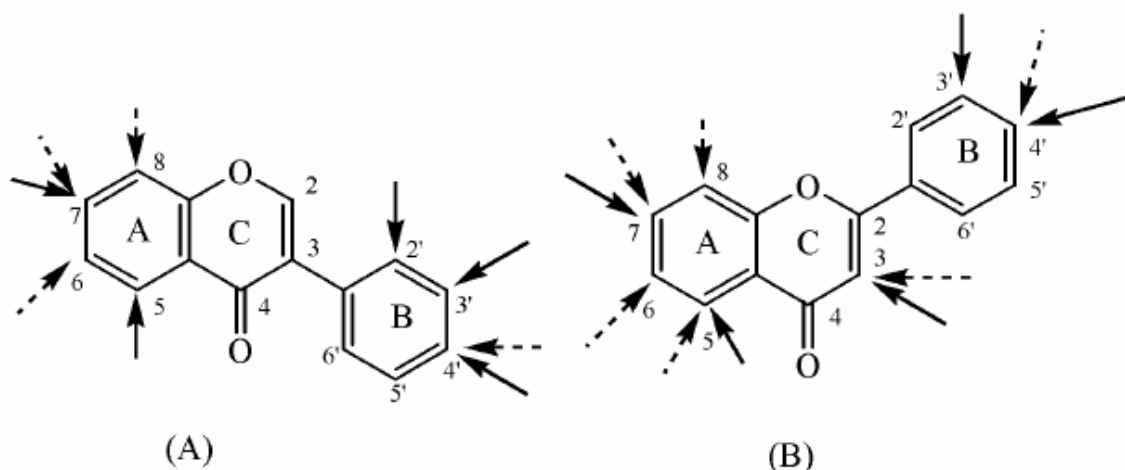
الشكل-9-

كما قد ترتبط وحدة السكر بإحدى ذرات كربون الحلقة العطرية للهيكل الفلافونيدي أي من نوع (*C*-hétérosidique) و تتشكل الرابطة في هذه الحالة بين ذرة الكربون الأنوميري  $C_1$  لجزيء السكر و أحد الموضعين  $C_6$  أو  $C_8$  للأجليكون، و تنشأ رابطة من نوع كربون - كربون ، و تتم بعد تكوين الشالكون مباشرة ([28] ، و مثال على ذلك المركب *vitexine*



الشكل-10-

و الشكل التالي يوضح الموضع الأكثر تكرارا لارتباط مجموعات الهيدروكسيل بالهيكل الفلافونيدي، وكذلك مجموعات السكر من نوع *O*- glycosylation (سهم ممتد) و/أو *C*- glycosylation (سهم مقطوع) ([29]).



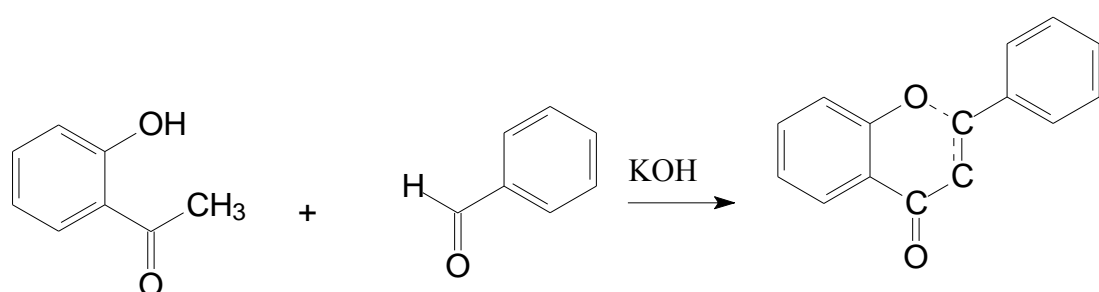
الشكل-11-

### ١-٣ الإصطناع المخبري :

من أجل تصنيع الفلافونوبيات مخبريا، فنظرريا توجد أربعة طرق تم اعتماد طريقتان و هما:

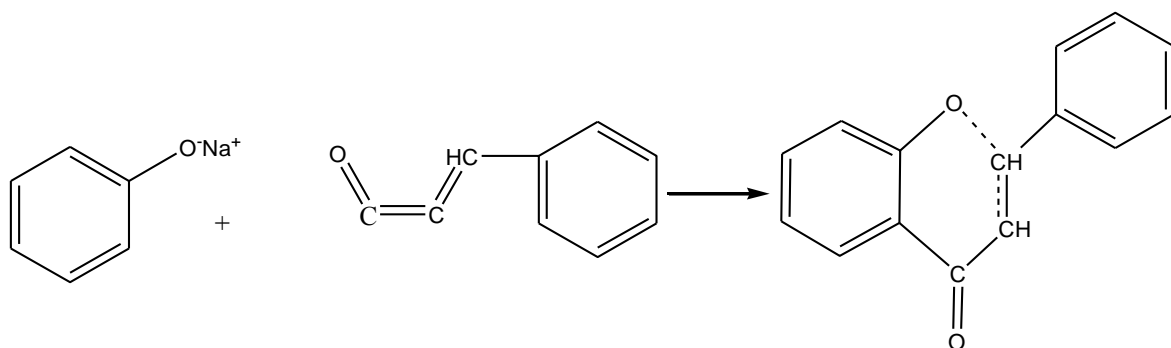
#### ١-التكاثف الألدولى:

الدراسات المجرات بيّنت أنه يمكن الحصول على الفلافونوبيات عن طريق التكاثف الألدولى بين 2-هيدروكسي أسيتوفينون مع مشتقات البانزالدهيد في وجود هيدروكسيد البوتاسيوم.



الشكل - 12 -

## بـ-أسألة الفينولات:



الشكل - 13

## I - 3 - 1 - تصنيع الشالكون:

يمكننا الحصول على الشالكونات و ذلك بالنكافث الألدولي لـ :  
مع المشتقات البنزينية الألدهيدية (benzenaldehydes) و ذلك في الوسط الحمضي أو القاعدي. [10]

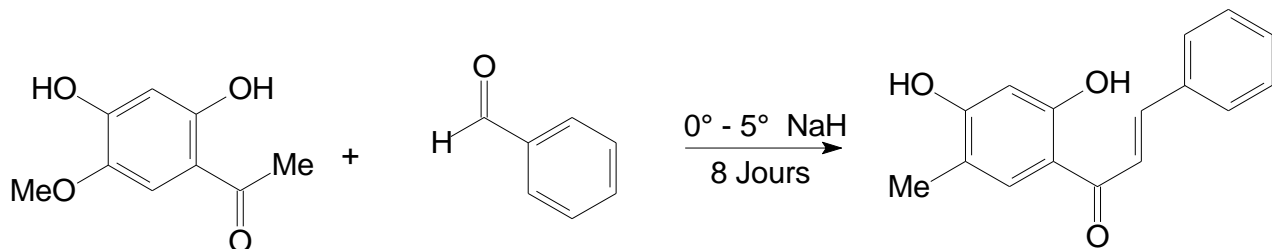
تحدث عملية تحلق للشالكون و ذلك في الوسط الحمضي الذي يؤدي إلى ظهور الفلافانون وفق تفاعل متوازن (شالكون - فلافانون)، إلا أن هذا التوازن ينزعج بشكل شبه كلي إلى جهة الشالكون و هذا في حالة وجود هيدروكسيل حر في الموقع 4 بالنسبة للشالكون.

التفاعل في الوسط القاعدي يتطلب الشروط التالية:

الزمن اللازم للتفاعل	تركيز القاعدة	درجة حرارة التفاعل
48 - 15 ساعة	%60 - %50 KOH	0 ° م - 20 ° م

## لجدول -5

و قد لوحظ أن انعدام مجموعات الميثيل يؤدي إلى مردود جيد.

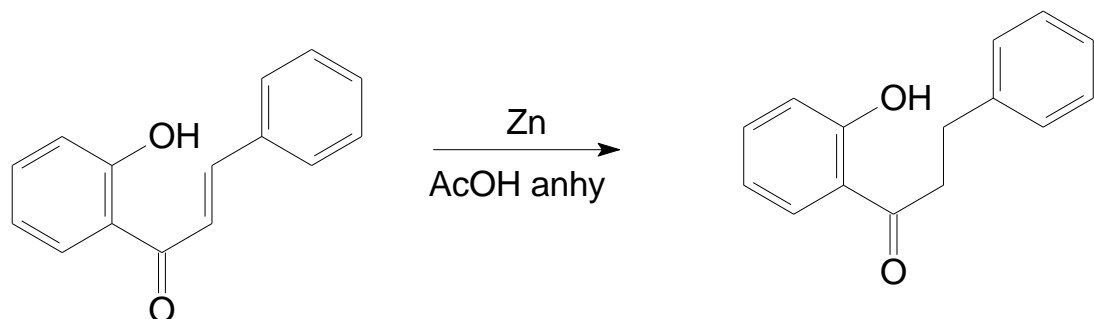


-14 - الشكل

من أجل الحصول على الشالكونات ذات مجموعات الميثيل انطلاقاً من الفلافانون و ذلك بفتح الحلقة في الوسط القاعدي الكحولي ثم الترسيب بالحمض الممدد و تحت حرارة منخفضة و للحصول على مردود جيد ينبغي عدم وجود هيدروكسيل حر في الوضع 5 بالنسبة للفلافانون.

### I-3-2- تصنيع ثائي هيدروشالكون:

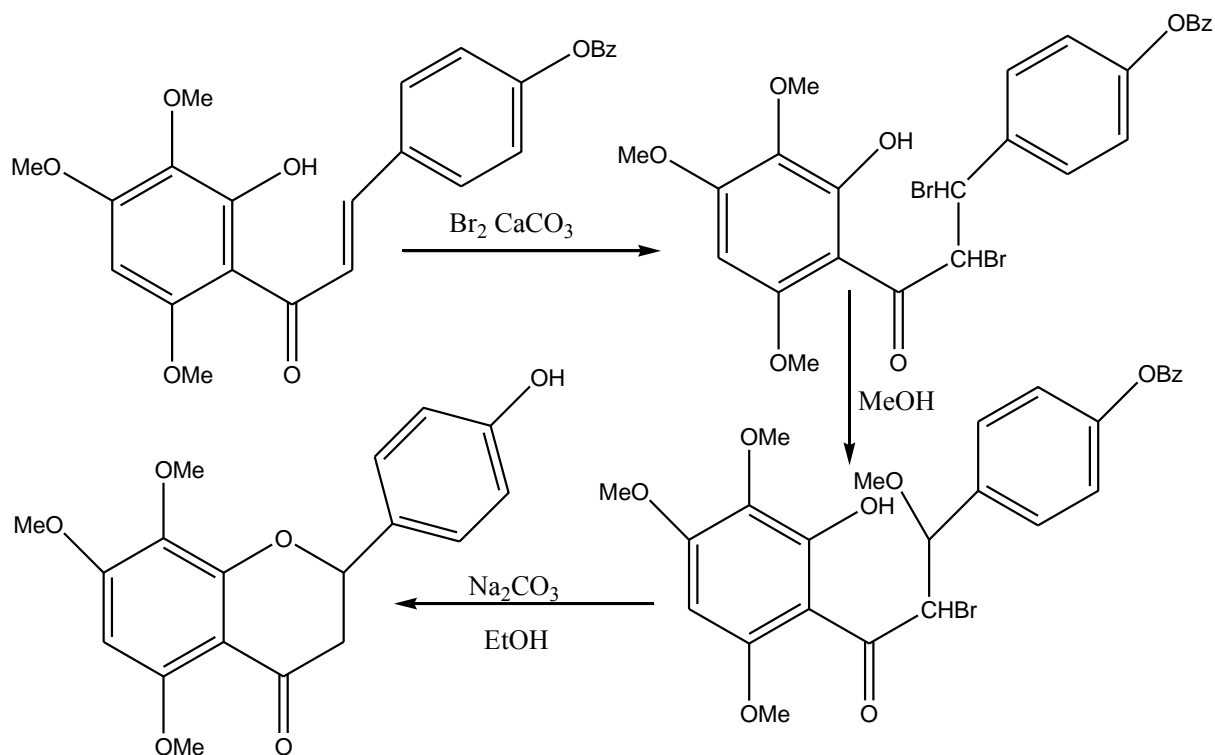
نتحصل على ثائي هيدروشالكون وذلك من تكافث الفينولات مع مشتقات حمض ثائي هيدرو سيناميك [10] أو بهدرجة الشالكون أو الفلافانون. (acide dihydrocinnamique)



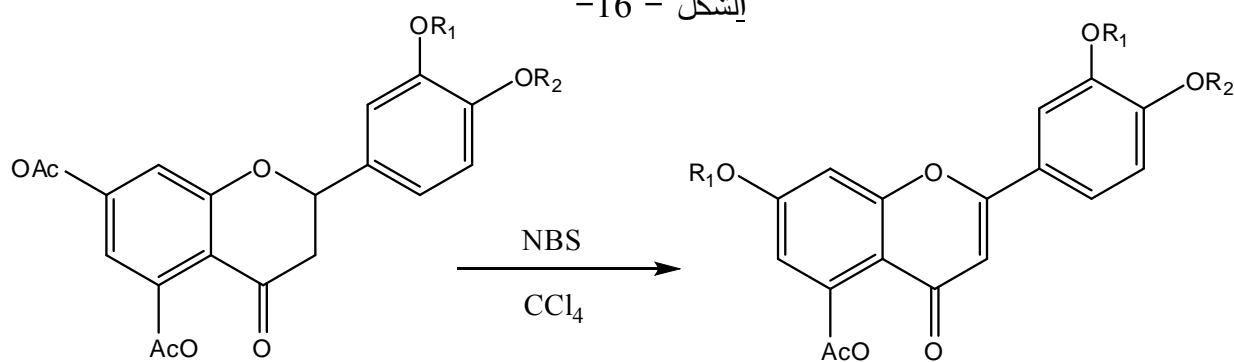
-15 - الشكل

### -I - 3-3- تصنيع الفلافون:

يمكنا الحصول على الشالكونات وفق المخطط التالي:[10]



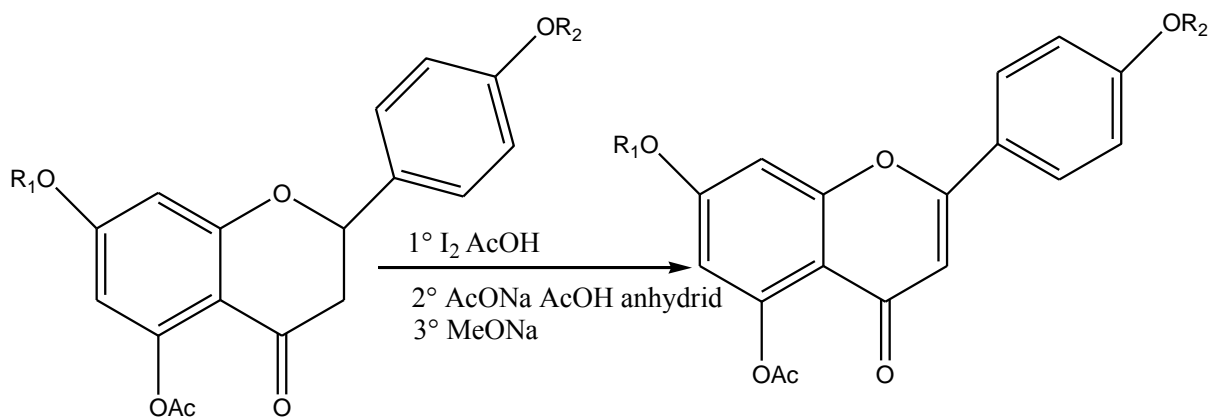
الشكل - 16 -



	R <sub>1</sub>	R <sub>2</sub>
A	Ac	H
b	Me	Ac
c	Ac	Me

	R <sub>1</sub>	R <sub>2</sub>
a	H	H
b	Me	H
c	H	Me

الشكل - 17 -



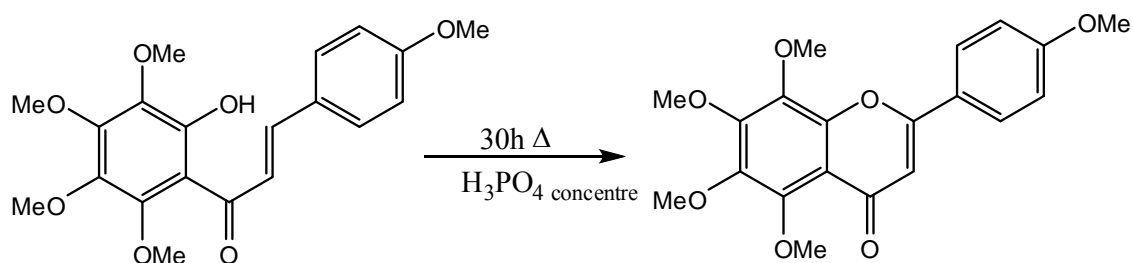
$R_1 = \text{Sucre}$   
 $R_2 = \text{Ac ou Me}$

$R_1 = \text{Sucre}$   
 $R_2 = \text{H ou Me}$

الشكل -18-

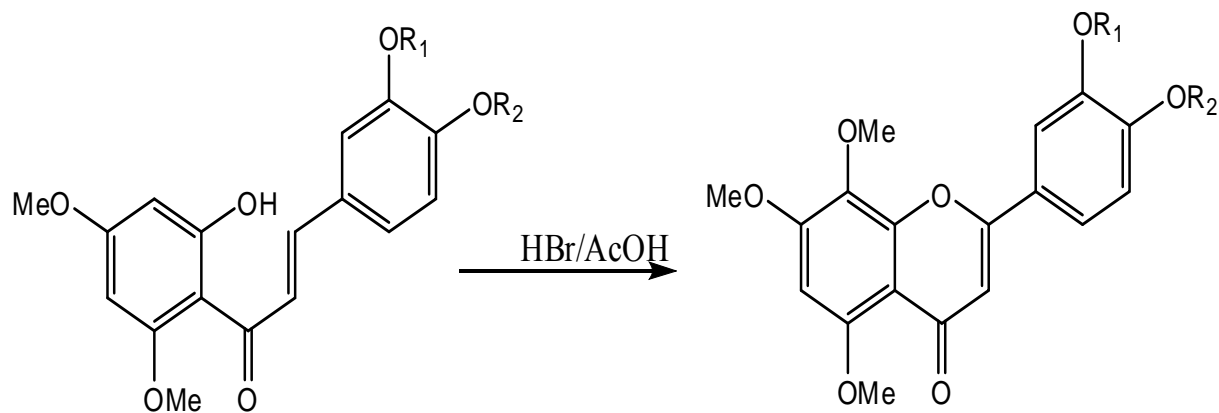
### I - 3-4- تصنیع الفلافانون:

انطلاقاً من الشالكون يتم الحصول على الفلافانون و هذا بغلق الحلقة و قد لوحظ أن وجود هيدروكسيل حر في الموضع 6' بالنسبة للشالكون يؤدي إلى مردود جيد و يمكن أن نذكر أيضاً أن الفلافانون المستبدل في الموضع 8 لا يمكن الحصول عليه إلا تحت شروط قاسية. [10]



الشكل -19 -

بعض التفاعلات الخاصة التي تمكنا من الحصول على فلافانون خاص:

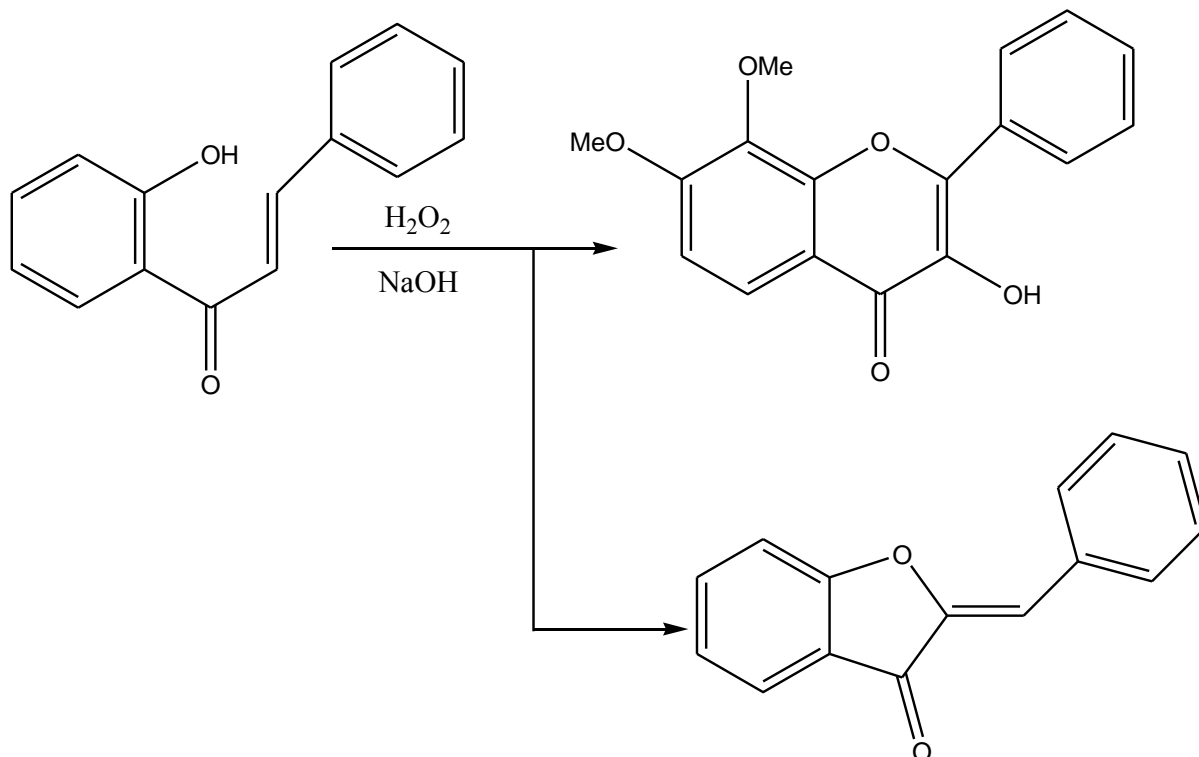


	R <sub>1</sub>	R <sub>2</sub>
A	Bz	Me
b	Me	Bz

	R <sub>1</sub>	R <sub>2</sub>
a	H	Me
b	Me	H

الشكل - 20

### I - 3-5- تصنیع الفلافونول و الأورون:

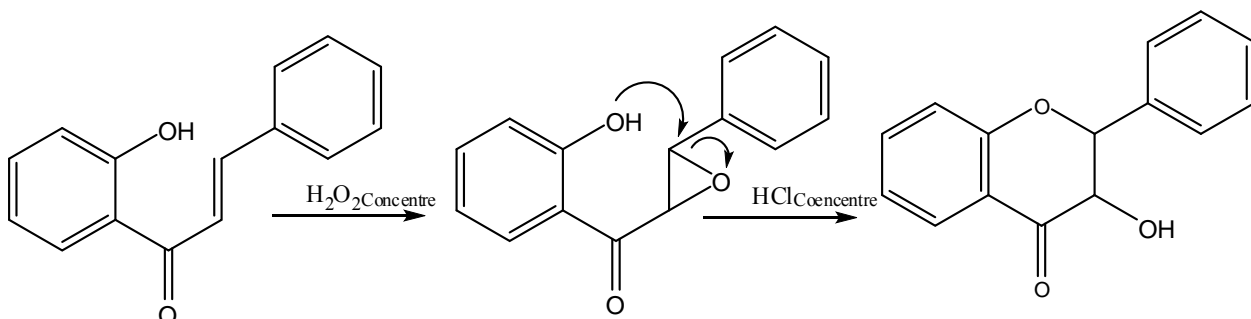


الشكل - 21 -

لُوْحَظَ أَنْ شُرُوطَ التِّفَاعُلِ وَوُجُودَ الْمُسْتَبِدَلَاتِ لَهَا تَأْثِيرٌ كَبِيرٌ عَلَى مَرْدُودِيَّةِ التِّفَاعُلِ، فَبِالنِّسْبَةِ لِلْمُسْتَبِدَلَاتِ لُوْحَظَ أَنْ وُجُودَ هِيدْرُوكَسِيلِ فِي الْمَوْقِعِ 2 وَ الْمَوْقِعِ 4 بِإِضَافَةِ إِلَى مَجْمُوعَةِ مِيُوكَسِيلِ فِي الْمَوْضِعِ 6' فَإِنْ مَرْدُودُ التِّفَاعُلِ يَزِيدُ بِاتِّجَاهِ الْحَصُولِ عَلَى الْفِلَافُونُولِ الْمُطَلُوبِ.

أَمَّا الشُّرُوطُ الْمُتَالِيَّةُ فَهِيَ: [10] .% 20  $\text{NaOH}$  ، [10] .% 30 - % 5  $\text{H}_2\text{O}_2$ .

### I - 3-6- تصنیع ثانی هیدرو الفلافونول:

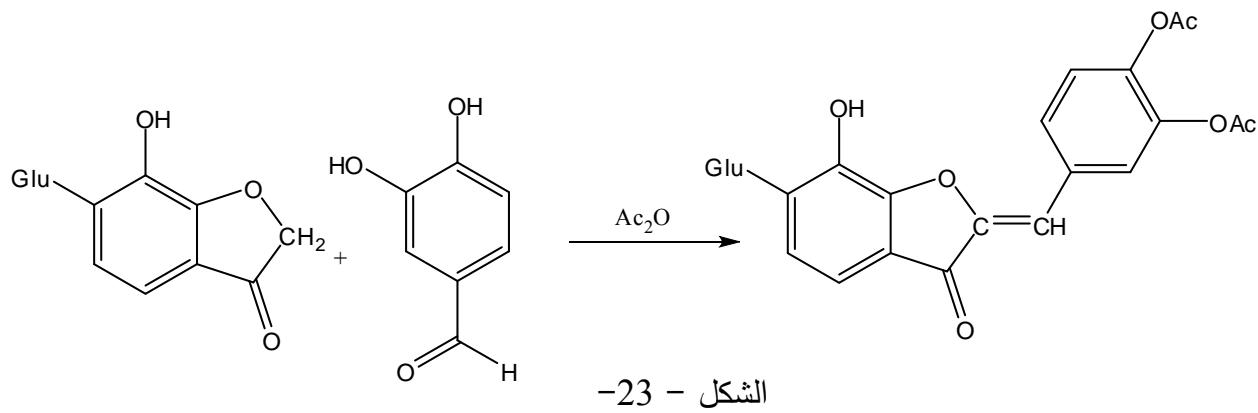


الشكل - 22 -

يمكن إجراء الخطوة الثانية من هذا التفاعل في وجود حمض HCl المركز أو يمكن استعمال HCl النقي و حمض الخل البلوري و هذا بوجود  $\text{BF}_3$  و الإيثر كمذيب. [10]

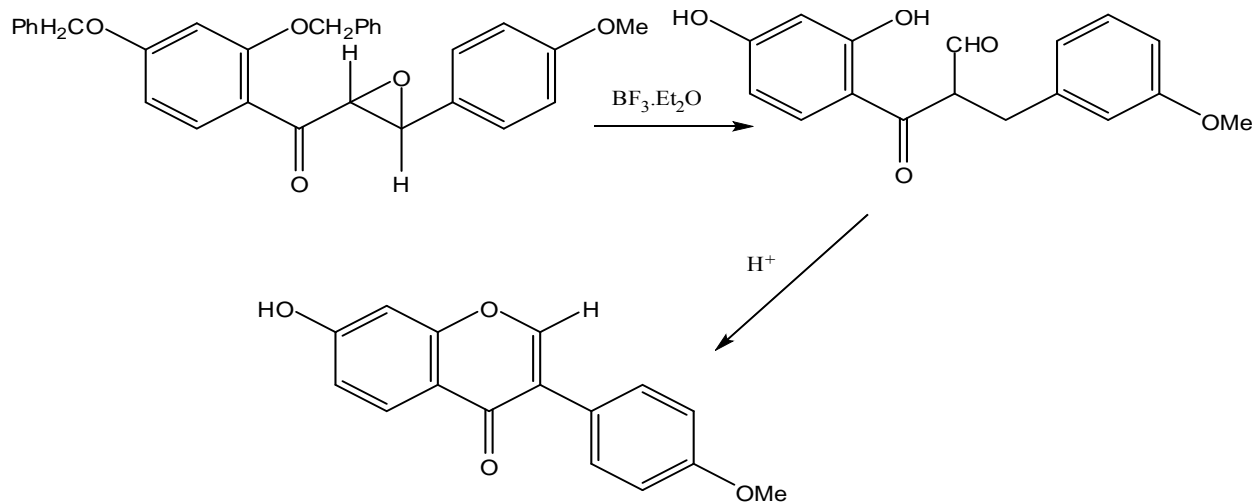
### I-3-7- تصنیع الأورون:

الطرق العملية المستعملة تقريبا كلها تعتمد أساسا على تكافل الكومارين مع الألدهيدات العطرية في وسط حمضي إلا أنه في حالة وجود سكريات كمستبدلات لا يمكن استعمال هذه الطريقة التي تتطلب وجود حمض HCl لذا فإننا نلجأ إلى تفاعلات أخرى. [10]



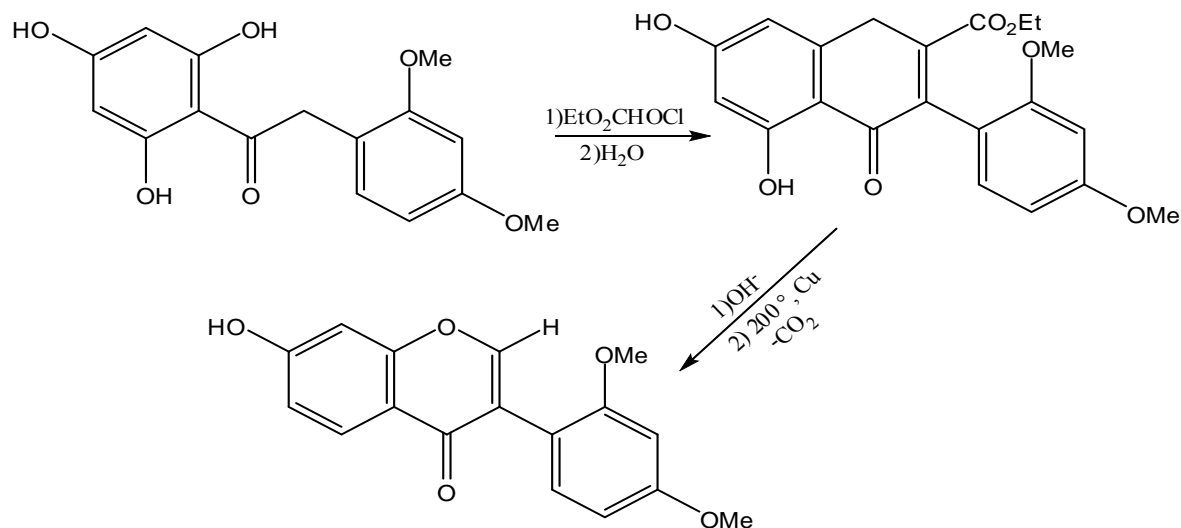
### I-3-8- تصنیع إيزوفلافون:

الطريقة الأولى: [10]



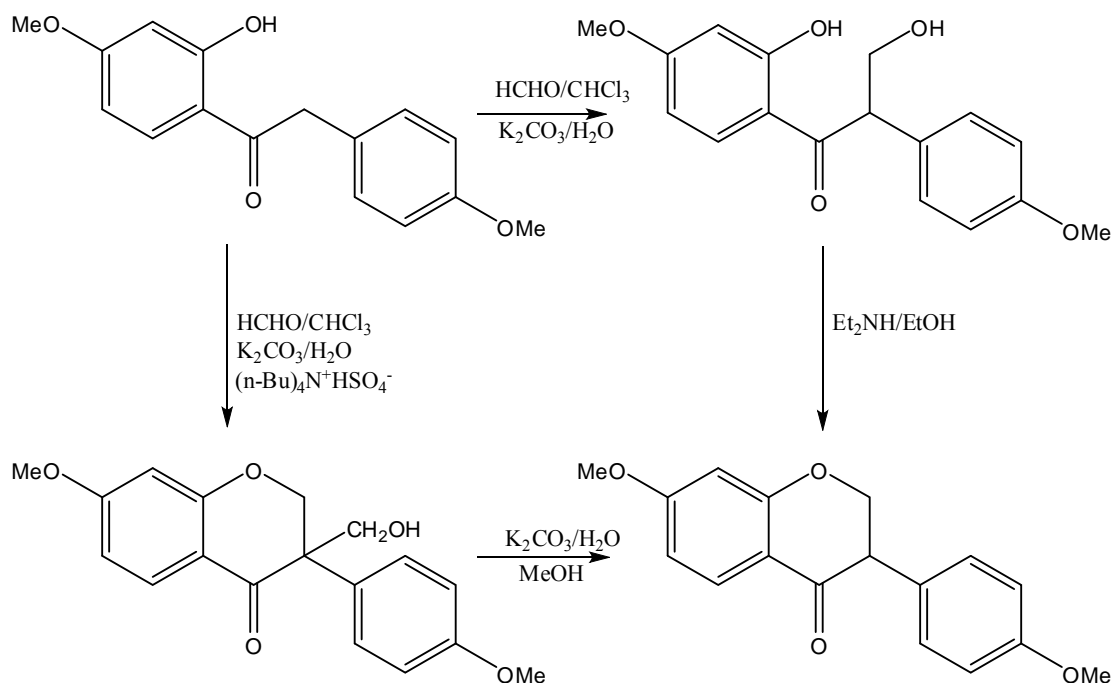
الشكل -24-

الطريقة الثانية:[10]



-25 - الشكل

الطريقة الثالثة:[30]



-26 - الشكل

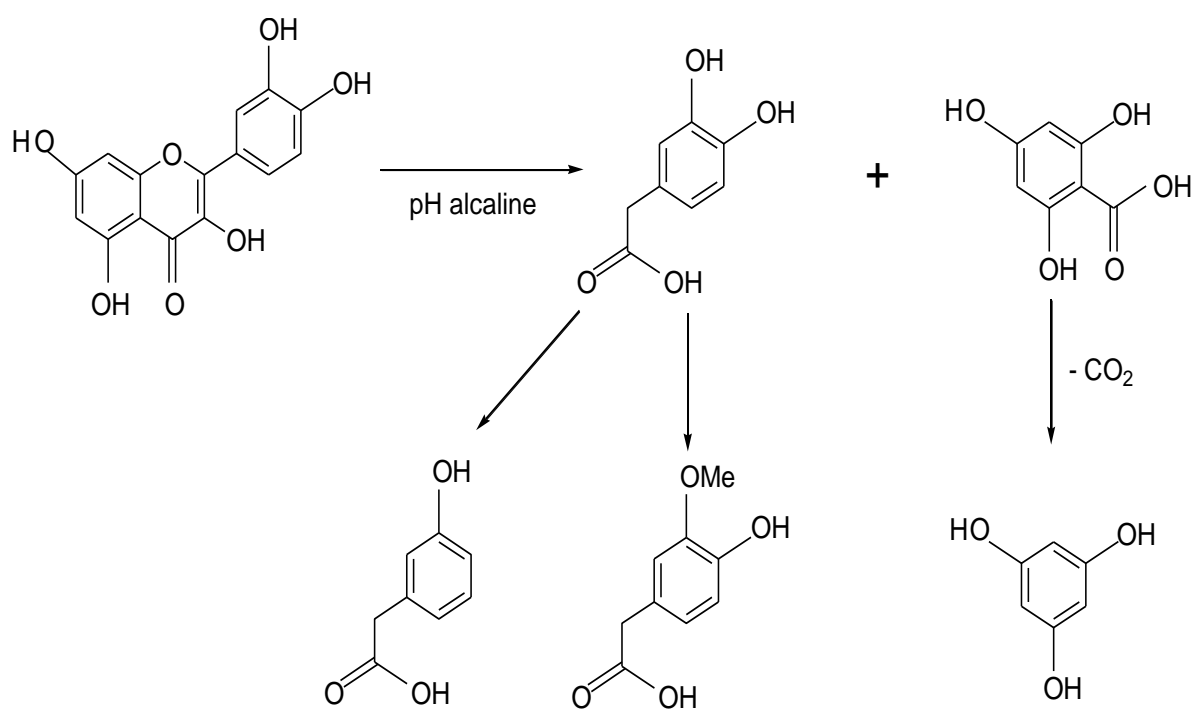
## ١-٤ خصائص و أهمية الفلافونيدات :

ترتبط خصائصها بنوع و قسم الفلافونيد و بحالة وجوده (فلافونيدات حرة ، جليكوزيدية ، كبريتية...) لكن يمكن تلخيص أهمها في النقاط التالية:

- تتغير ألوان الفلافونيدات باختلاف أنواعها فمثلا: الفلافونات ، الفلافونولات و الأورونات تتوارد بألوان تدرج من الأصفر حتى الأحمر أما الأنطوسينيدات فلها ألوان متعددة كال أحمر الغامق، البنفسجي و الأزرق.
- تتعلق ذوبانيتها بشكل تواجدها و مستبدلاتها فالفلافونيدات الجليكوزيدية ، الكبريتية و الأنطوسينيدات تذوب في الماء و الكحول ، الفلافونيدات الأجلكونية متعددة الهيدروكسيل تذوب في الكحول(إيثanol، ميثانول، بوتانول) بينما الأقل استبدالاً تذوب في الإيثر، خلات الإيثيل، الأسيتون، و بالنسبة للفلافونيدات الأجلكونية متعددة الميثوكسيل فتذوب في المحاليل الأقل قطبية كإيثر البنزول و الكلوروформ[31].

## I - ١-٤ الدور البيولوجي :

- الفلافونيدات هي العناصر المسئولة عن إعطاء اللون للنبة و بصفة خاصة للأزهار مما يمنحها الصفة الجاذبة للحشرات و الطيور التي تنقل حبات الطلع و بذلك تمنح دورة جديدة لحياة هذه النباتات، كما تلعب دور حماية لها إذ تعطي طعمًا مميزًا للنبة مما يبعد الحشرات الضارة عنها.
- لها دور في مراقبة نمو وتطور النبات و هذا بتفاعلها بطريقة معقدة مع مختلف هرمونات النمو النباتية كما تتكامل فيما بينها لتساهم فيما يسمى بـ Phytoalexines و هو إنتاج النبتة لأيضاً يعالج الإصابات التي تسببها البكتيريا و الفطريات[32].
- تحمي نسيج النبات لكونها تمتلك الأشعة فوق البنفسجية (250-270 ن.م) و عليه فهي تحمي المواد الأساسية (البروتينات و الأحماض النوويّة) من الآثار السامة لهذه الإشعاعات[33] ، كما تساعد على الإنقاص من ظاهرة النتح في المناطق الجافة[34].
- تعتبر مركبات ذات صفة حمضية ضعيفة ، ذواقة في القواعد القوية مثل: هيدروكسيل الصوديوم. و يتم هدم معظمها في ظروف قاعدية قوية و هذا بتكسر الحفلة C، من أجل هذا ثبت أنها ليست سامة للإنسان و الثدييات حيث يتم هدمها على مستوى الأمعاء. فمثلاً يتم هدم الكربستين على النحو الموضح في الشكل-27:-

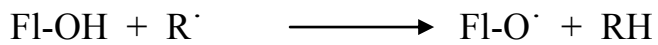


الشكل -27- هدم جزيئه الكرستين

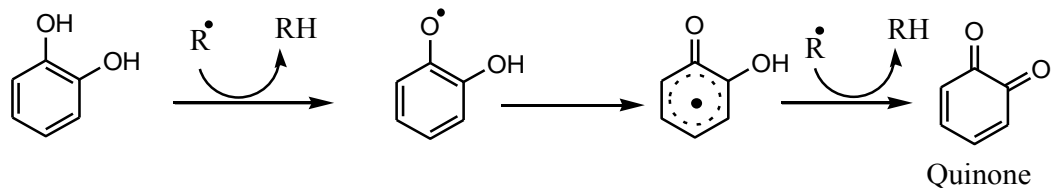
- إن من أهم ميزات الفلافونيدات كونها عناصر ضد مؤكسدة ، و يتمثل فعل ' ضد-الأكسدة ' حسب العالم Halliwell [35] في الفعاليات التالية:

- الإحاطة بـ ROS: Reactive Oxygen Species) هي عناصر أوكسجينية تتولد في الخلية عند دخول أكسجين التنفس إليها و التي تسمى بالجذور الحرة للأكسجين و هي عناصر فعالة في الجسم لكن ارتفاع نسبة إنتاجها يحدث عدم توازن بين بنائها و هدمها مما يسبب ضرراً كبيراً بسبب قدرتها على إتلاف الخلايا و الأنسجة و بالتالي الأعضاء مما يجعلها المسبب الرئيسي لعدة أمراض، لكن الدراسات أثبتت تأثير الفلافونيدات عليها كأعمال

[37] حيث يرتبط الفلافونيد مع الجذر (R<sup>·</sup>) حسب المعادلة التالية:



و الجذر الفلافونوكسي (Fl-O<sup>·</sup>) يمكن أن يتفاعل مع آخر و يعطي صيغة الكينون المستقرة، و يمكن تلخيص ذلك في الشكل -28-:

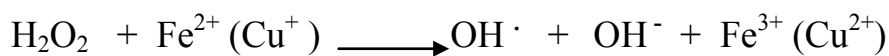


الشكل -28- تأثير الفلافونيدات على ROS (R<sup>·</sup>)

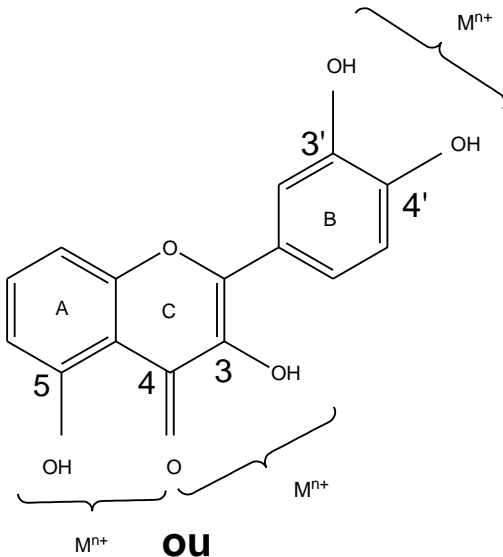
- تثبيط بعض الأنزيمات كـ XO (La xanthine oxydase) و الذي يعتبر المصدر البيولوجي الأكثر أهمية للجذر فوق المؤكسد superoxyde

#### I-4-2- الدور الفيسيولوجي:

- إنّ لبعض الشوارد المعدنية كـ Fe<sup>2+</sup> و Cu<sup>+</sup> دورا هاما في بعض الوظائف الفيزيولوجية إذ تدخل في تركيب بعض البروتينات المتجانسة Cofacteurs Hémoprotéines أو كونها لمختلف أنزيمات الدفاع الذاتي ضدّ المؤكسد ، لكنّها في نفس الوقت تساعد على إنتاج بعض الجذور الحرة كما في التفاعل التالي:



و لذلك فإنّ ارتباط بعض الفلافونيدات بهذه العناصر يحدّ من إنتاج الجذور الحرة ، و الشكل -29- يعطي أهم المواقع لتشكل معقدات complexes ( بين الأيونات المعدنية كالحديد و الألمنيوم مع الفلافونيدات [38]

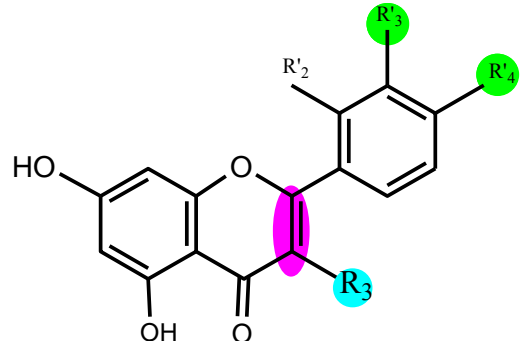


الشكل -29-أهم مواقع المخالفات للأيونات المعدنية

#### I - 4 - 3 - الدور العلاجي أو الإستشفائي:

- أثبتت الدراسات المكثفة حول الفلافونيدات متعددة الميتوكسيل أن لها فعالية ضد الخلايا السرطانية[39] وهذا من خلال تقوية الجهاز المناعي و ذلك بمساعدته على مقاومة و تدمير الخلايا السرطانية.
- البعض منها له تأثيرات مضادة للالتهاب [40].
- مضادة لارتفاع الضغط[41].
- مضادة للحساسية[42].
- تستعمل أيضا كمسكنت و مدرات للبول و مخفضات لنسبة الكوليسترول[43].
- وقد لوحظ وجود علاقة بين التركيبة الكيميائية للفلافونويد و تأثيراته العلاجية. حيث توصلت الأبحاث إلى أن الزيادة في مجاميع الهيدروكسيل على الحلقة (A) و (B) ينتج عنه زيادة في النشاط المضاد للورم، كما تعتبر الرابطة المضاعفة بين  $C_2-C_3$  ضرورية لإحداث هذا النشاط[44]. أما بعض الفلافونيدات الجليكوزيدية فلها فعالية ضد الفطريات[45]. ، وقد أثبتت دراسات العالم Hanasaki و مساعدوه [46] حول مرض La goutte (و هو مرض ناتج عن ارتفاع نسبة حمض اليوريك في الدم ) أن بعض الفلافونيدات تؤثر على XO و بالتالي تخفض تركيز حمض

البيوريك مما يساعد على السيطرة على هذا المرض. وقد تأكّدت هذه النتائج بـأعمال Cos و مساعدوه [47] الذين أثبّتوا دور الرابطة C<sub>2</sub>-C<sub>3</sub> بالنسبة للفلافونات و الفلافونولات في تثبيط أنزيم XO بالإضافة إلى العناصر الفعالة الأخرى و الموضحة في، الشكل -30-



الشكل -30-أهم الوظائف الفعالة في خاصيّة ضدّ الأكسدة

# النحوث الثانية

طرق دراسة المركبات الفلافونية



## **|| - 1 - طرق الاستخلاص، الفصل و التنقية :**

### **|| 1 - طرق الاستخلاص :**

قبل القيام بعملية الاستخلاص لا بد من تجهيز النبتة المراد إجراء عليها العملية و ذلك بـ :

1. تحفيتها في الظل و بعيدا عن الرطوبة تفاديا للتفاعلات الإنزيمية التي قد تحدث تغيرات على

المركبات المراد استخلاصها

2. تنقيتها.

3. طحنها.

قد تستعمل النبتة بجميع أجزائها، كما قد يؤخذ الجزء الهوائي لوحده أو الجذور أو الثمار فقط، و عموما تتواجد الفلافونيدات في الجزء الهوائي؛ إذ في هذا الأخير بالذات يتم الاصطناع الحيوي للفلافونيدات و ذلك لارتباطه بالعامل الضوئي.

وتتم عملية الإستخلاص بنقع الأجزاء النباتية المراد استخلاص الفلافونيدات منها في مذيب مناسب و أكثر المذيبات استعملا خليط من الكحول / الماء بنسب معينة (3/7) أو (2/8) [48، 49، 50] في حالة المادة النباتية الجافة، و يفضل الكحول لوحده في حالة المادة النباتية الغضة (الخضراء)، و أغلب الكحولات المستعملة هي الميثanol و الإيثانول.

و تتم عملية الاستخلاص على مراحل :

#### **المرحلة الأولى :**

نأخذ الأجزاء النباتية المطحونة و نسكب عليها محلول الهيدروكحولي على البارد و نتركها لمدة لا تقل عن يوم واحد مع التحريك من حين لآخر، بعدها نرشح و نركز الراشح، تكرر العملية 3 مرات أو أكثر و في كل مرة نرشح و نركز الراشح و ذلك بتبخير أكبر كمية ممكنة من محلول الهيدروكحولي ان الى تحصل على المستخلص الخام.

#### **المرحلة الثانية :**

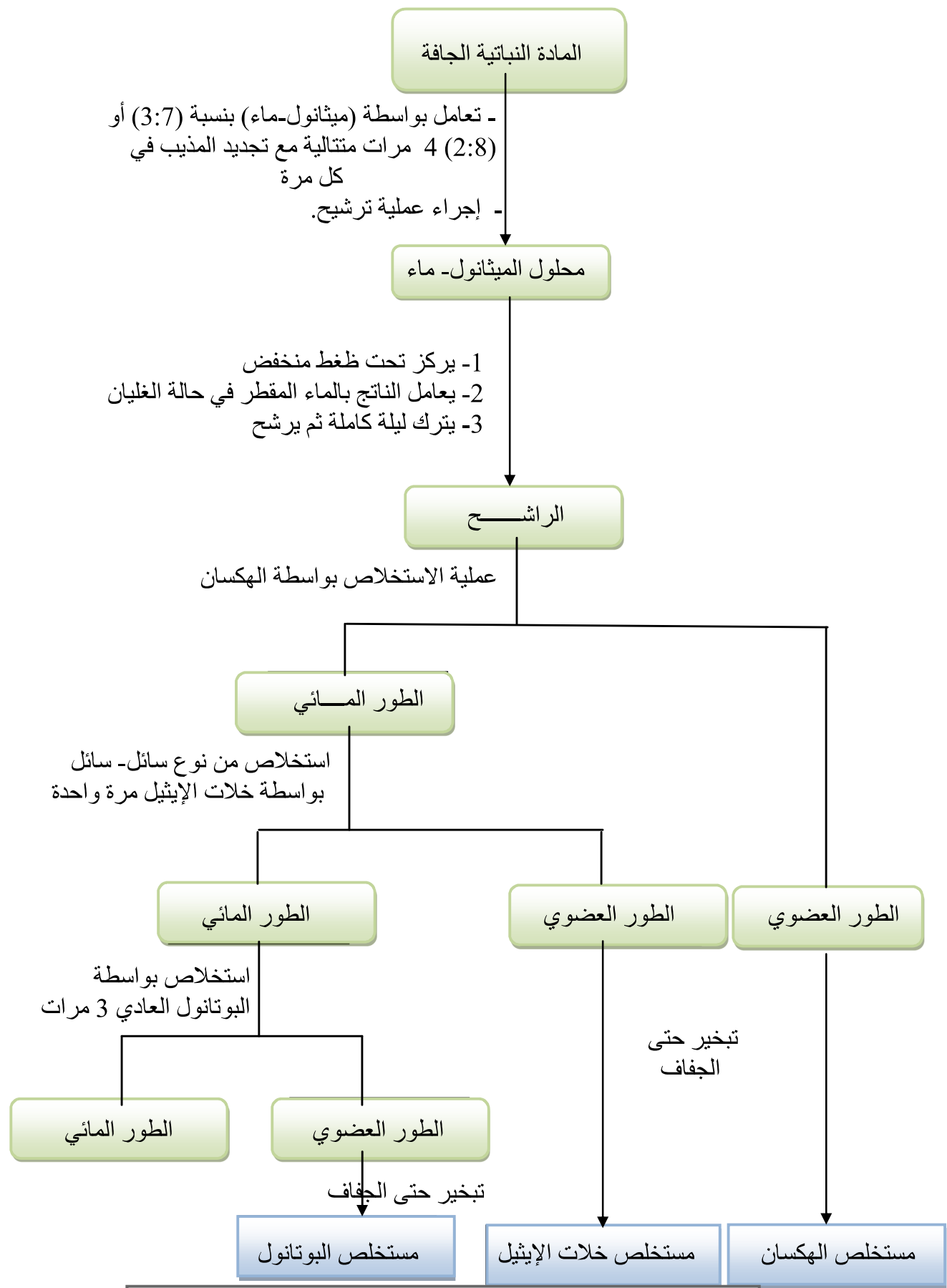
يؤخذ المستخلص الخام و يعامل بالماء المقطر المغلي ثم يترك مدة ليلة كاملة بعدها يرشح على ورق الترشيح ويحتفظ بالراشح

### المرحلة الثالثة :

بعد ترشيح المستخلص ترکز الرشاحة للتخلص من الكحول المستعمل، ثم يعمد إلى استخلاص انقائي من نوع سائل/سائل، باستعمال مجموعة من المذيبات منها:

- ✓ بالإيثرالبيترول كي يتم التخلص من المركبات الطبيعية ذات القطبية الضعيفة مثل الدهون و التربينات و الكلوروفيل [ ].
- ✓ الهكسان العادي ( $C_6H_6$ ) او ثلاثي كلور الميثان ( $CHCl_3$ ) لاستخلاص الأجليلكونات الميثوكسيلية.
- ✓ خلات الإيثيل ( $AcOEt$ ) لاستخلاص الأجليلكونات متعددة الهيدروكسيل و الإيتيروزيدات أحادية السكر .
- ✓ البوتانول النظامي ( $n\text{-ButOH}$ ) في استخلاص الإيتيروزيدات عديدة السكر .  
و هذين الأخيرين من أكثر المذيبات استعمالا.

ويمكن تلخيص هذه المراحل في المخطط التالي:



**شكل - 1- يبين المراحل الأساسية لعملية استخلاص الفلافونويدات**

## ١-٢- طرق الفصل :

التقنية الأساسية المستعملة لذلك هي الكروماتوغرافيا بمخالف أقسامها، حيث تستعمل كلمة كروماتوغرافيا للإشارة إلى تقنيات فصل مختلفة، تعتمد جميعها على توزيع المادة تحت الدراسة بين طورين أحدهما ثابت و الآخر متحرك، و الطور الثابت قد يكون جامداً أو سائلاً محظياً على الدعامة الجامدة، أما الطور المتحرك فعادة يكون سائلاً عضوياً [51].

إن هدف الفيتوكميائي هو الحصول على مركبات ندية لأجل ذلك يستعمل طرق فصل متتالية أهمها:

- ✓ كروماتوغرافيا العمود (CC).
- ✓ كروماتوغرافيا الورق (CP).
- ✓ كروماتوغرافيا الطبقة الرقيقة (CCM).
- ✓ كروماتوغرافيا السائل عالي الأداء (HPLC).

## ١-٢-١ - كروماتوغرافيا العمود (CC)

هي طريقة كلاسيكية، الهدف منها هو فصل خليط معقد من المركبات الفلافونيدية و يستعمل لهذا الغرض كدعامة ثابتة :

- ✓ السيليكاجال يستخدم لفصل الفلافونيدات الأقل قطبية.
- ✓ السيليلوز وأثبتت فعاليته في فصل الفلافونيدات الغليكوزيدية عن تلك المجردة من السكر.
- ✓ متعدد الأميد الذي لقي تطبيقاً واسعاً النطاق في فصل الفلافونيدات الغليكوزيدية بعضها عن بعض.

و يتلخص طريق إجراء هذه التقنية فيما يلي :

- يؤخذ العمود الزجاجي الذي تختلف أبعاده باختلاف كمية المستخلص و يثبت بواسطة حامل و يعبأ بالطور الثابت المشبع بالمذيب الأقل قطبية.

- بعد ترصيص الطور الثابت جيدا داخل العمود توضع طبقة من رمل خاص يدعى **Sable de fontaine bleau** بسمك 0.5 سم، بعدها تحضر العينة حيث يذاب المستخلص المراد فصله في أقل كمية ممكنة من الميثانول، و بواسطة ماصة باستور يتم وضعه على سطح الرمل مع الحرص على عدم إتلافه، أو بإتباع طريقة أخرى و التي تستعمل في حالة ما إذا تطلب إذابة المستخلص الجاف كمية كبيرة من الميثانول، ففي هذه الحالة نضيف لمحلول المستخلص كمية من الجال و نركز هذا الخليط حتى نحصل على مسحوق جاف الذي يضاف إلى العمود الكروماتوغرافي، بعد ذلك يضاف المملص الذي يكون في البداية مذيب أقل قطبية ثم ترفع قطبيته بإضافة مذيب قطبي تدريجيا إلى غاية الوصول إلى قطبية عالية، و يتم مراقبة الحزم باستعمال مصباح الأشعة فوق البنفسجية UV حيث تستقبل أسفل العمود و ترکز حتى الجفاف.

#### 11-2-2 كروماتوغرافيا الورقة التحضيرية (CP )

تعد من أفضل التقنيات المستعملة لفصل الفلاغونيدات خاصة القطبية كالفلاغونيدات السكرية [52] كما تستعمل على المستخلص مباشرة في حالة عدم غناه بالمركبات الفلاغونيدية أو لجمع و فصل الكسور المحصل عليها من العمود الكروماتوغرافي.

الداعمة المستخدمة في هذه التقنية هي ورق واتمان رقم 3 (Papier Whatman3) و تتم العملية كالتالي:

- تحضير الورقة بأبعاد تتلاءم مع الحوض (La cuve).
- وضع المستخلص بواسطة ماصة باستور على كامل عرض الورقة على بعد 2 سم عن الهامش.
- تترك الورقة لتجف ثم تغمس في المملص الذي يبدأ في إزال الحزم تسلسليا.
- تستمر العملية من 8 إلى 16 ساعة حسب نوع المملص ، نخرج بعدها الورقة لتجف.
- يتم تحديد الحزم بمصباح الأشعة فوق البنفسجية ثم تقص الحزم إلى قطع صغيرة و توضع في الميثانول المغلي، بعدها ترشح و ترکز الرشاحة.
- في حالة الحصول على مركب نقى تتوقف العملية و إلا تستمر بنفس التقنية أو بتقنيات أخرى.

و أهم المذيبات المستعملة في هذه التقنية:

- ✓ حمض الخل بتراكيز مختلفة من 5 إلى 70 % (من 6 إلى 8 ساعات)
- ✓ 4 / 1 / 5 : (الماء / حمض الخل / البوتانول العادي) B.A.W (16-18سا).

- ✓ 3 / 1 / 1 : ( الماء / حمض الخل / البوتانول الثالثي ) T.A.W .
- ✓ 30 / 10 / 3 : ( حمض الكلور / الماء / حمض الخل ) Forestal ( 15 ساعة ).
- ✓ 4 / 1 / 2 : ( الماء / الإيثانول / البوتانول العادي ) B.E.W .
- ✓ 1 / 1 : ( البوتانول العادي / حمض الكلور 2N ) ( 24 ساعة ).

كما يمكن استعمال كروماتوغرافيا الورق التحضيرية ذات البعدين إذا كان البعد الواحد غير كاف لفصل الخليط فصلاً كاملاً.

حيث يكون البعد الأول عمودي على البعد الثاني، وبعد إجراء البعد الأول تسحب الورقة و تترك لتجف ثم تدار بمقدار  $90^{\circ}$  وتغمس في مذيب آخر، حيث يكون البعد الأول عادة عضوي مثل الطبقة العضوية للنظام BAW و البعد الثاني مائيا كالنظام ACOH/H<sub>2</sub>O .

الماء المقطر : حمض الخل : البوتانول العادي. : BAW

4                    1                    5

: ACOH/H<sub>2</sub>O الماء المقطر : حمض الخل

25                    75

### 1 - 2 - 3 - كروماتوغرافيا الطبقة الرقيقة (CCM) :

نقوم بتحضير الداعمة بالرّج الجيد لمتعدد الأميد مع الإيثانول ، السيليكاجال أو السيليلوز مع الماء المقطر ثم نضعها بواسطة Etaleur على صفائح من زجاج أو بلاستيك ( 20 × 20 سم ) بسمك منتظم و نتركها تجف ثم نضعها في درجة حرارة  $100^{\circ}\text{C}$  على الأقل لمدة ساعة بالنسبة للسيليكاجال و السيليلوز . بعد أن تبرد نضع عليها العينة بطريقة عرضية على بعد 1.5 سم من خط الانطلاق ونغمسمها عموديا في حوض به الملصق المناسب و بانتشار هذا الأخير تفصل المركبات على شكل أحزمة تحددها بمصباح UV . نقوم بكشط كل منها على حدٍ و نغسلها بالميثانول جيداً في أقماع زجاجية ، ترکز بعدها الرشاحة و تفحص لمعرفة درجة نقاوتها .

و تعد هذه التقنية الأكثر استعمالاً لتعدد ميزاتها كسرعتها حيث تستغرق من 30 دقيقة إلى 3 ساعات و حساسيتها حيث يمكن الحصول على كميات برتبة 1 إلى 100 مغ كما لا تستهلك كميات كبيرة من المذيبات و الأنظمة المستعملة كمملصات هي :

بالنسبة لمتعدد الأميد ( كدعامة صلبة ) :

$\text{H}_2\text{O} / \text{MeOH} / \text{MEC} / \text{Acétylacétone}$  : ( 13 / 3 / 3 / 1 )

$\text{Toluène} / \text{MEC} / \text{MeOH}$  : ( 4 / 3 / 3 )

$\text{MeOH} / \text{H}_2\text{O} / \text{AcOH}$  : ( 18 / 1 / 1 )

أما بالنسبة له : السيليكاجال ( كدعامة صلبة ) فهي ملخصة في الجدول (1)[53]:

نوع الفلافونويد	المملص
<i>Flavonoides aglycones</i>	<p>EtOAc–i-PrOH–H<sub>2</sub>O, 100:17:13</p> <p>EtOAc–CHCl<sub>3</sub>, 60:40</p> <p>CHCl<sub>3</sub>–MeOH, 96:4</p> <p>Toluène–CHCl<sub>3</sub>–MeCOMe, 8:5:7</p> <p>Toluène–HCOOEt–HCOOH, 5:4:1</p> <p>Toluène–EtOAc–HCOOH, 10:4:1</p> <p>Toluène–EtOAc–HCOOH, 58:33:9</p> <p>Toluène–EtCOMe–HCOOH, 18:5:1</p> <p>Toluène–dioxane–HOAc, 90:25:4</p>
<i>Flavonoides glycosides</i>	<p>n-BuOH–HOAc–H<sub>2</sub>O, 65:15:25</p> <p>n-BuOH–HOAc–H<sub>2</sub>O, 3:1:1</p> <p>EtOAc–MeOH–H<sub>2</sub>O, 50:3:10</p> <p>EtOAc–MeOH–HCOOH–H<sub>2</sub>O, 50:2:3:6</p> <p>EtOAc–EtOH–HCOOH–H<sub>2</sub>O, 100:11:11:26</p> <p>EtOAc–HCOOH–H<sub>2</sub>O, 9:1:1</p> <p>EtOAc–HCOOH–H<sub>2</sub>O, 6:1:1</p> <p>EtOAc–HCOOH–H<sub>2</sub>O, 50:4:10</p> <p>EtOAc–HCOOH–HOAc–H<sub>2</sub>O, 100:11:11:26</p> <p>EtOAc–HCOOH–HOAc–H<sub>2</sub>O, 25:2:2:4</p> <p>THF–Toluène–HCOOH–H<sub>2</sub>O, 16:8:2:1</p> <p>CHCl<sub>3</sub>–MeCOMe–HCOOH, 50:33:17</p> <p>CHCl<sub>3</sub>–EtOAc–MeCOMe, 5:1:4</p> <p>CHCl<sub>3</sub>–MeOH–H<sub>2</sub>O, 65:45:12</p> <p>CHCl<sub>3</sub>–MeOH–H<sub>2</sub>O, 40:10:1</p> <p>MeCOMe–butanone–HCOOH, 10:7:1</p> <p>MeOH–butanone–H<sub>2</sub>O, 8:1:1</p>
<i>Flavonoides glucuronides</i>	<p>EtOAc–Et<sub>2</sub>O–dioxane–HCOOH–H<sub>2</sub>O, 30:50:15:3:2</p> <p>EtOAc–EtCOMe–HCOOH–H<sub>2</sub>O, 60:35:3:2</p>
<i>Flavanones aglycones</i>	CH <sub>2</sub> Cl <sub>2</sub> –HOAc–H <sub>2</sub> O, 2:1:1
<i>Flavanones glycosides</i>	<p>CHCl<sub>3</sub>–HOAc, 100:4</p> <p>CHCl<sub>3</sub>–MeOH–HOAc, 90:5:5</p> <p>n-BuOH–HOAc–H<sub>2</sub>O, 4:1:5 (la couche supérieur)</p>

#### جدول - 1 : الأنظمة المستعملة كمملصات بالنسبة للاسلكاجال

نوع الفلافونويد	المملص
<i>Chalcones</i>	EtOAc–hexane, 1:1
<i>Isoflavones</i>	CHCl <sub>3</sub> –MeOH, 92:8 CHCl <sub>3</sub> –MeOH, 3:1
<i>Isoflavones glycosides</i>	n-BuOH–HOAc–H <sub>2</sub> O, 4:1:5 (couche supérieure)
<i>Dihydroflavonoles</i>	CHCl <sub>3</sub> –MeOH–HOAc, 7:1:1
<i>Biflavonoides</i>	CHCl <sub>3</sub> –MeCOMe–HCOOH, 75:16.5:8.5 Toluène–HCOOEt–HCOOH, 5:4:1
<i>Anthocyanidines</i> et <i>anthocyanines</i>	EtOAc–HCOOH–2 M HCl, 85:6:9 n-BuOH–HOAc–H <sub>2</sub> O, 4:1:2 EtCOMe–HCOOEt–HCOOH–H <sub>2</sub> O, 4:3:1:2 EtOAc–butanone–HCOOH–H <sub>2</sub> O, 6:3:1:1
<i>Proanthocyanidines</i>	EtOAc–MeOH–H <sub>2</sub> O, 79:11:10 EtOAc–HCOOH–HOAc–H <sub>2</sub> O, 30:1.2:0.8:8

**جدول -2- الأنظمة المستعملة كمملصات بالنسبة لالسلبيات (تابع)**

#### 1-1-2-4 - كروماتوغرافية نظام السائل عالي الأداء (HPLC)

تسمح هذه التقنية بتحديد المحتوى الفينولي للعينة المراد تحليلها، و هي نوع من أنواع التحليل الكروماتوغرافي التجزيئي الذي يتطلب استخدام ضغوط عالية لدفع المذيب خلال العمود، و هي التقنية الأفضل لفصل و تحليل الخلائق المعقدة في وقت قصير [ 54 ] ، و أهم المذيبات المستعملة هي :

- ✓ المذيب 1 : الماء / الأسيتونتيل / حمض الخل : ( 40 / 100 / 900 ).

✓ المذيب 2 : الماء / الأسيتونتيل / حمض الخل : ( 40 / 800 / 200 ).

- يجر المملص معه المركبات في العمود بصفة انتقائية فتنزل المركبات ثنائية السكر قبل أحادية السكر؛ و هذه الأخيرة قبل الأجلينونات [55]

- و بالنسبة للأجليكونات التي تحتوي على الأكسجين في الحلقة B فيملص المركب الذي يحتوي على ثلاث مجموعات ( OH ) في الحلقة B قبل الذي يحتوي على مجموعتي ( OH ) و هذا الأخير قبل الذي يحتوي على ( OH ) واحدة دائماً على الحلقة B [56] .

### ١-٣-التنقية :

من أجل تنقية المركبات المفصولة بالتقنيات الكروماتografية السابقة تنقية جيدة، و الهدف منها هو التخلص من الشوائب العالقة بالمركبات المعزولة (متعدد الأميد، سيليلوز ... الخ) و للحصول على نتائج جيدة نستعمل عمود بطول 20 سم و قطر 1 سم ثم نتبع الخطوات التالية :

### ١-٣-١-التنقية على عمود من متعدد الأميد SC<sub>6</sub>:

يتم مزج متعدد الأميد SC<sub>6</sub> بالطلولين، ثم يصب في العمود الكروماتografي و بعد استقرار المزيج فيه يوضع المركب المفصول و المذاب في أقل كمية من الميثانول على سطح الدعامة. بعد توضعه يغسل بالطلولين ثم يغير المملص تدريجياً بإضافة الميثانول حتى يتم نزول المركب كلية.

### ١-٣-٢-التنقية على عمود من السيفاداكس :

تستعمل هذه التقنية في المراحل الأخيرة من عمليات الفصل و التنقية. و لتحقيق عمود من Sephadex LH20 يتم نقع جال السيفاداكس في الميثانول، ثم يصب المزيج بلطف في العمود، و بعد استقراره يتم وضع المركب المفصول و المذاب في أقل كمية ممكنة من الميثانول على السطح بعناية، يملص بعدها بدفعات متتالية من الميثانول، حيث يخرج المركب أسفل العمود نقياً و جاهزاً لمختلف الدراسات البنوية.

### ٢-الدراسة البنوية للمركبات الفلافونويدية :

التحليل البنوي للفلافونيدات لا يمكن أن يتم إلا على المركبات الندية، بحيث يتطلب ذلك تقنيات فيزيوكيميائية لتحديدها مثل مطيافية الكثافة، مطيافية الرنين النووي المغناطيسي و مطيافية الأشعة فوق البنفسجية باستخدام كواشف خاصة.

### ٢-١-اللون الاستشعاعي تحت مصباح UV :

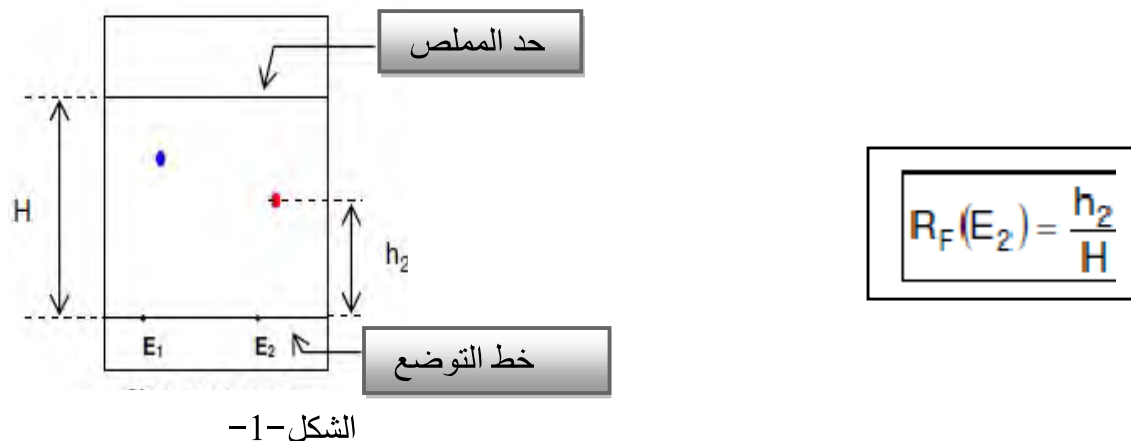
اللون الإستشعاعي للمركيبات تحت مصباح الأشعة فوق البنفسجية (lumière de Wood) يمثل المرحلة الأولية للتحليل، ويلعب دوراً مهماً في التحديد البنويي للمركبات الفلافونيدية والجدول التالي يلخص بعض منها : [57,56]

لون المركب تحت أشعة UV	نوع الفلافونيد
بنفسجي-أسود.	<ul style="list-style-type: none"> <li>. فلافون.</li> <li>. 5,6,7 أو 7,5 ثلثي هيدروكسيل فلافون.</li> <li>. فلافونول مستبدل في الموضع 3.</li> <li>. بعض الشالكونات.</li> </ul>
بنفسجي-بني.	<ul style="list-style-type: none"> <li>. فلافونول أو فلافانول يملك هيدروكسيل في الموضع 3.</li> <li>. فلافون أو فلافانون دون OH في الموضع 5.</li> <li>. فلافونول مستبدل في 3 أو دون OH في الموضع 5.</li> </ul>
أصفر أو أصفر باهت.	فلافونول مع OH حر في 3 وأو دون OH حر في 5.
برتقالي لامع.	إيزوفلافون.
أصفر مخضر.	أورون.
أخضر.	بعض الشالكونات.
أزرق مخضر.	فلافانون دون OH في الموضع 5.
أزرق فاتح (مشع)	<ul style="list-style-type: none"> <li>. فلافون دون OH حر في الموضع 5</li> <li>. فلافونول دون OH حر في الموضع 5 مع OH-3 مستبدل</li> </ul>

**الجدول (3): اللون الإستشعاعي للفالفونيدات تحت مصباح UV**

## ٢-٢-٢- معامل الانحباس: $R_f$

من خلال قيم معامل الانحباس  $R_f$  في نظام مذيب معين يمكن معرفة طبيعة الفلاغونيد الذي بحوزتنا . و يعرف هذا الأخير (أي  $R_f$ ) بأنه النسبة بين المسافة المقطوعة من طرف المركب انطلاقا من نقطة البداية والمسافة المقطوعة من طرف المذيب من نفس النقطة، و هو قيمة مميزة لكل مركب في شروط كروماتوغرافية معينة (درجة الحرارة، المذيب،...) و ترتبط قيمة  $R_f$  بطبيعة المجموعات الاستبدالية على المركب [58] ، [59] .



المسافة المقطوعة من طرف المركب انطلاقا من نقطة البداية  $[h]$

$$= R_f$$

المسافة المقطوعة من طرف الملص (المذيب) من نفس النقطة  $[H]$

و يتم قياس  $R_f$  للمركبات الندية عادة في ثلاثة أنظمة لمذيبات مختلفة :

النظام 1 : Toluène / méthanol / méthyléthylcétone : ( 4 / 3 / 3 )

النظام 2 : eau / méthanol / méthyléthylcétone / Acétylacétone : ( 13 / 3 / 3 / 1 )

النظام 3 : Acide acétique: 15 %

ومن خلال قيم  $R_f$  في مختلف الأنظمة يمكن معرفة ما إذا كان المركب أجيكونا أو إيتيروزيدا، كذلك معرفة

ما إذا كان أحادي، ثنائي أو ثلاثي السكر [58] .

فمثلاً :

قيمة  $R_f$  تزداد لأن مجموعات الهيدروكسيل الحرة قليل في نظام مذيب عضوي، و العكس في نظام مذيب مائي [59] .

إذا كان المذيب مستبدل بسكر واحد أو أكثر ، فإن قيمة  $R_f$  تزداد في نظام مائي و تنقص في نظام عضوي و الجدول التالي يبين العلاقة بين  $Rf$  و البنية الفلافونويدية:

قيمة $R_f$	البنية الفلافونوية
♦ نقصان قيمة $R_f$ في الأنظمة العضوية ♦ زيادة قيمة $R_f$ في الأنظمة المائية	الزيادة في مجاميع OH
♦ زيادة قيمة $R_f$ في الأنظمة العضوية ♦ نقصان قيمة $R_f$ في الأنظمة المائية	استبدال OMe ب OH
♦ نقصان قيمة $R_f$ في الأنظمة العضوية ♦ زيادة قيمة $R_f$ في الأنظمة المائية	إدخال مجموعة السكر

#### الجدول-4- العلاقة بين $Rf$ و البنية الفلافونويدية

### II-3-مطيافية الأشعة فوق البنفسجية:

الفلافونيدات واحدة من المركبات القادرة على امتصاص الأشعة فوق البنفسجية، و ذلك لاحتوائها على مجموعات مسؤولة عن ذلك تدعى ب chromophores (و هذه الأخيرة عبارة عن موقع غني بالإلكترونات كما قد تكون عبارة عن مجموعات كيميائية مثل مجموعة الهيدروكسيل "OH" و مجموعة الميتوكسيل "OCH<sub>3</sub>" ...).

و تعتبر مطيافية الأشعة فوق البنفسجية من أهم الوسائل المستعملة للتعرف على البنية الكيميائية للمركبات الفلافونيدية، و قد نشرت أبحاث كثيرة بهذا الصدد [63,62,29,56]

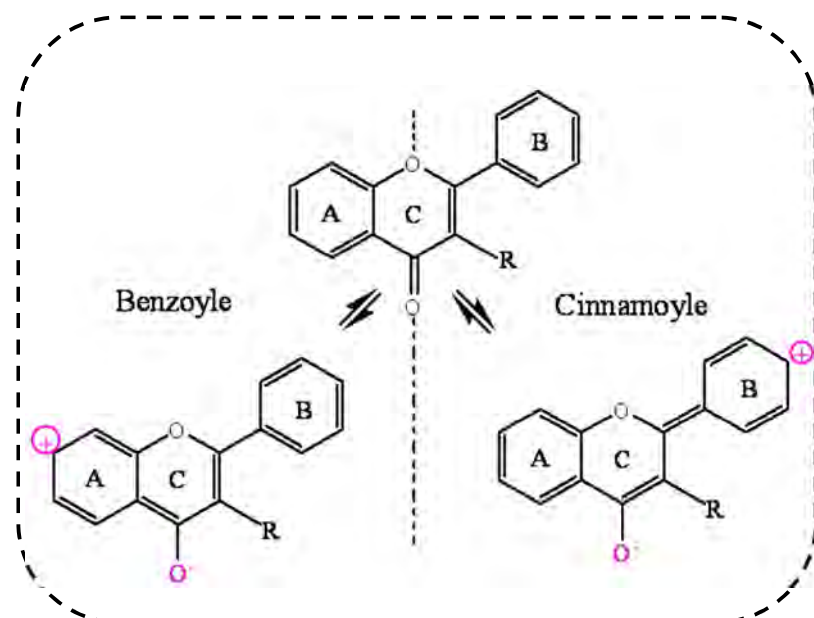
و تكمن أهميتها في انها:

- لا تحتاج إلى كمية كبيرة من المركب لإنجازها (1،0 ملخ).
- سهولة و سرعة تحقيقها.
- تعطي معلومات معتبرة عن البنية المحتملة للمركب.

ويعتمد أساس هذه التقنية في كون كل مركب فلافلونيدي له طيف امتصاص مميز و خاص في الوسط الميثانولي، و يتغير هذا الطيف بإزاحات معينة بعد إضافة كواشف معروفة إما قواعد (هيدروكسيد الصوديوم NaOH، خلات الصوديوم NaOAc) أو أحماض لويس (AlCl<sub>3</sub>) أو أملاح الالمنيوم، حمض البوريك (H<sub>3</sub>BO<sub>3</sub>) حيث أن طبيعة الكاشف و تأثيره على طيف الامتصاص يوفران معلومات حول بنية المركب في الموقع (5) [64].

### II-3-2-1- طيف إمتصاص الميثanol:

يعطي طيف الفلافونيدات الحاوية على مجموعة كربونيل في C<sub>4</sub> (فلافلون، فلافلونول)، عصابتين I و II [65] تبعاً للشكل المولالي :



الشكل -2- ترافق مجموعة الكربونيل مع الحلقتين البنزينيتين A و B

**العصابة I** : ذات قيمة امتصاص عظمى في حدود (300-400 nm)، وهي راجعة إلى امتصاص الصورة الناتج عن ترافق مجموعة الكربونيل  $C_4$  مع الرابطة الثانية والحلقة B. إذ تسمح Cinnamoyle بتمييز الفلافونول عن الفلافون وتعطى معلومات عن التغيرات البنوية للحلقتين B و C [67].

**العصابة II** : ذات قيمة امتصاص عظمى في حدود (250-280 nm)، وهي ناتجة عن الشكل Benzoyle الناجم عن ترافق مجموعة الكربونيل مع الحلقة العطرية A. وهذا ما يمكننا من الكشف عن الهياكل الفلافونيدية المختلفة.

يعتمد مكان الحزمتين على عدد وموقعمجموعات الهيدروكسيل البديلة، فمن الملاحظ أنه كلما زادت مجاميع الهيدروكسيل، فإن حزمة الامتصاص تزداد إلى طول موجي أعلى "انزياح باتوكرومي". وعند استبدالمجموعات الهيدروكسيل بمجموعات ميتوكسيل، أو وحدات سكر تزاح حزمنا الامتصاص إلى طول موجي أقل "انزياح هيبسوكرومي" [66].

و الجدول-5- يبين مجالات امتصاص الفلافونيدات من خلال UV-vis (في الميثanol).

نوع الفلافونويد	العصابة II (nm)	العصابة I (nm)
فلافون	280 – 250	350 – 310
فلافونول 3-OH مستبدل	280 – 250	360 – 330
فلافونول 3-OH حر	280 – 250	385 – 350
ايزوفلافون	275 – 245	330 – 310
dihydroflavonol و فلافانون	295 – 275	330 – 300
شالكون	270 – 230 شدة منخفضة	390 – 340
اورون	270 – 230 شدة منخفضة	430 – 380
انثوسيانيدين و انثوسيانيين	270 – 230	560 – 465

**الجدول-5:- مجالات امتصاص الفلافونيدات من خلال UV-Vis (في الميثanol).**

### II-3-2- طيف الإمتصاص في وجود الكواشف :

بإضافة كواشف معينة إلى محلول الميثanol مثل:  $\text{AlCl}_3 + \text{HCl}$  ،  $\text{NaOH}$  أو  $\text{NaOAc}$  يمكننا من التعمق أكثر في الدراسة البنوية حيث تتضح لنا مستبدلات الهيكل الفلافونويدي. فالمعلومات المستخلصة من طيف امتصاص الميثanol تكون مكملة للتي تعطيها لنا الأطيف المأخوذة بوجود هذه الكواشف، لأنها في الغالب تعطي ألواناً مميزة إذا ما أضيفت إلى محلول الميثانولي. هذه الألوان تظهر نتيجة تغير مكان امتصاص حزم طيف UV و ذلك بسبب تكوين معقدات مع تلك الكواشف.

### أ) في وجود NaOH :

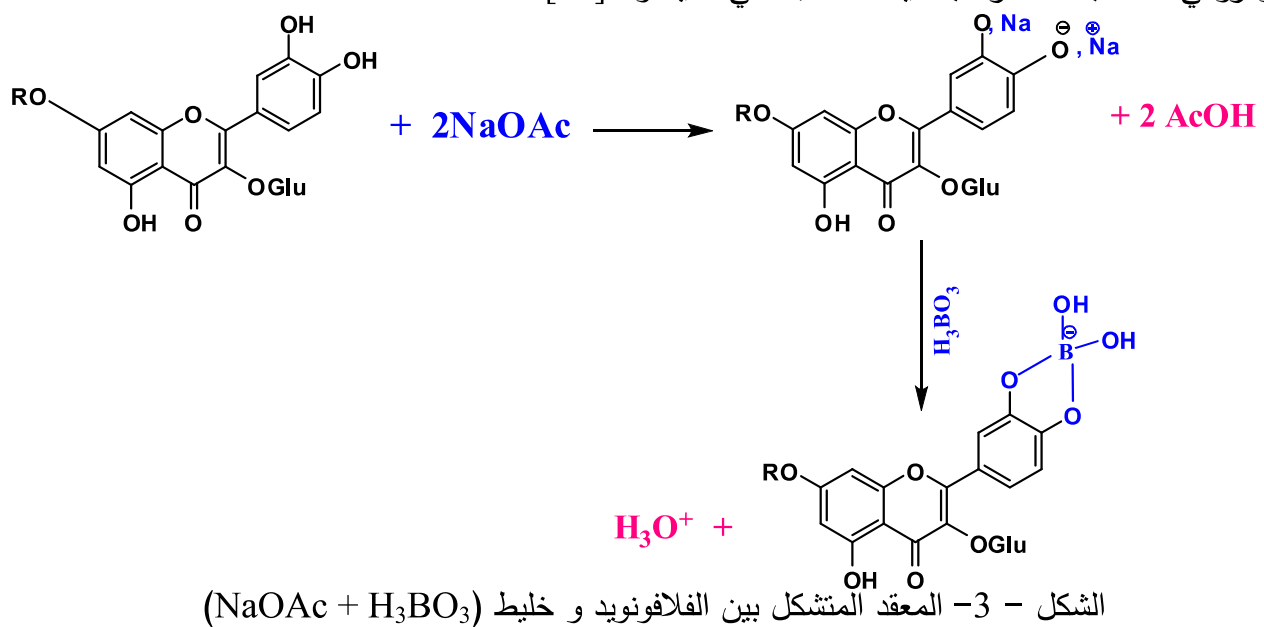
NaOH : هي عبارة عن قاعدة قوية تؤين كل هيدروكسيلات الفلافونويد، و إضافتها لـ (مركب + ميثانول) تحدث إزاحة باثوكروميه لكل الطيف، أي إنزياح في اتجاه ( $\lambda$ ) الطويلة و يظهر تأثيرها خاصة على العصابة (I) أشد منه على العصابة (II) مما يؤدي إلى انزياح بمقدار [40+ إلى 65 نم] بدون نقصان في الشدة الضوئية ما يبين وجود مجموعات OH حرة خاصة في المواقع 3'، 4' و 7.

### ب) في وجود NaOAc :

NaOAc : هي قاعدة ضعيفة لذا فهي تؤين مجموعات الهيدروكسيل الأكثر حامضية فقط  $C_3, C_4, C_{3'}, C_{4'}$  و تعتبر كاشف نوعياً لهيدروكسيل الموقع ( $C_7$ ) ، و يظهر ذلك جلياً على العصابة (II) للطيف المسجل إذ انه يحدث فعل باثوكروممي [5+ إلى 20 نم] للعصابة (II)، و يشير ذلك إلى وجود OH حر في الموضع  $C_7$  [69].

### ج) في وجود $H_3BO_3$ + NaOAc :

يضاف  $H_3BO_3$  على العينة في وجود NaOAc للكشف عن أورثو ثائي الهيدروكسيل على الحلقة B في الموضع 3'، 4' بالإنزياح الباثوكروممي للعصابة I (36-12 ن.م) [58]، و يلغى في حالة استبدال أحدهما. و على الحلقة A في الموضع 6، 7 أو 8 من خلال المعقادات التي يشكلها، و الفعل الذي يظهره هو فعل باثوكروممي للعصابة I مقارنة بالطيف المسجل في الميثانول [68].



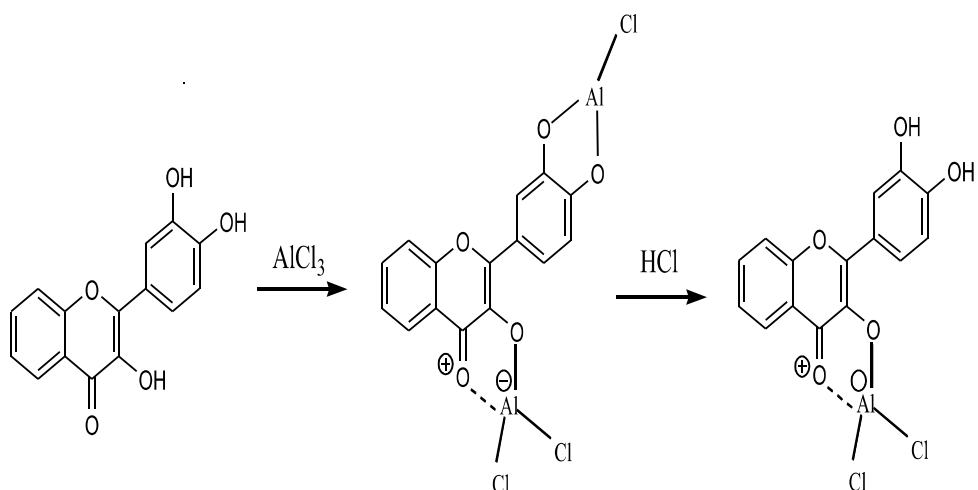
### د) في وجود $AlCl_3$ :

يشكل  $\text{AlCl}_3$  معقدات ثابتة بين كريونيل الموضع 4 و هيدروكسيل الموضع 3 أو (و) الموضع 5 في الوسط الحمضي أي بعد إضافة  $\text{HCl}$ ، و معقدات غير ثابتة في الوسط الحمضي مع المركبات المحتوية على مجموعتي هيدروكسيل حرة في (3' ، 4') (7 ، 8)؛ (6).

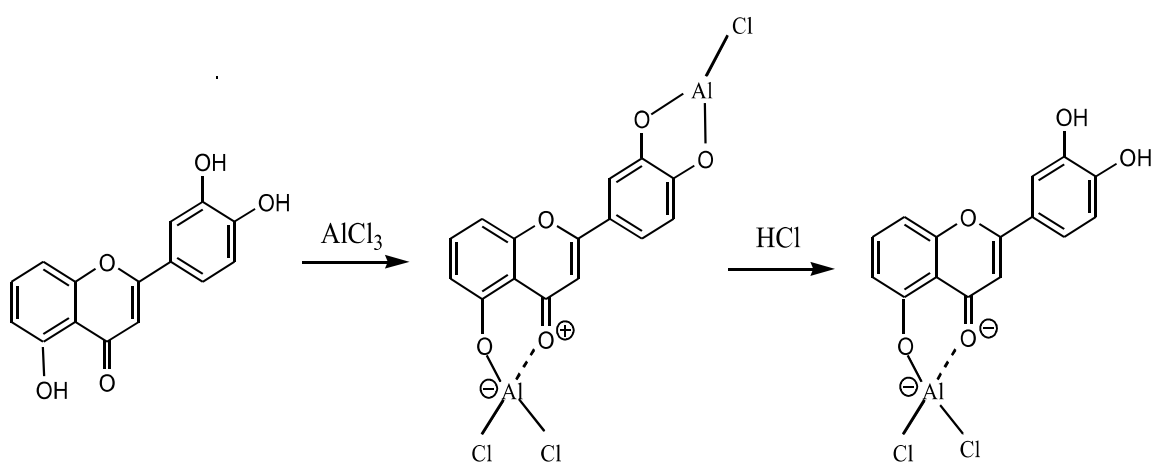
### : $\text{HCl} + \text{AlCl}_3$ في وجود

يشكل  $\text{AlCl}_3$  مع الكريونيل  $\text{C}_4$  و هيدروكسيل الموضع  $\text{C}_3$  أو الموضع  $\text{C}_5$  معقدات و كذلك مع أرثو ثائي الهيدروكسيل، إلا أن الأول معقد ثابت و الثاني غير مستقر في الوسط الحمضي.  
التحليل يبدأ أولاً بمقارنة الطيف المسجل في الميثanol  $\text{MeOH}$  مع الطيف المسجل في  $(\text{AlCl}_3 + \text{HCl})$  و في حالة وجود انزياح باتوكرومي للعصابة (I) يدل على وجود هيدروكسيل في الموضع  $\text{C}_3$  أو  $\text{C}_5$ .

في المرحلة الثانية تتم مقارنة الطيف المسجل في وجود  $(\text{AlCl}_3 + \text{HCl})$  مع الطيف المسجل في وجود  $\text{AlCl}_3$  في حالة وجود انزياح هيبسوكرومي للعصابة (I) بعد إضافة  $\text{HCl}$  إلى طيف  $\text{AlCl}_3$  دل على وجود أرثو ثائي هيدروكسيل على الحلقة A أو B ، و هذا ما سيوضحه المخطط الآتي: [56]



شكل-4- المعقدات الثابتة و الغير ثابتة بين الفلافونيد و  $\text{AlCl}_3$  قبل و بعد اضافة  $\text{HCl}$



شكل -5- المعقدات الثابتة و الغير ثابتة بين الفلافونيد و  $\text{AlCl}_3$  قبل و بعد اضافة  $\text{HCl}$  (تابع)

والجدول التالي يلخص قيم إزاحات الإمتصاص الخاصة بالفلافونيدات في وجود الكواشف المختلفة.

#### ملاحظة:

(+) : باتوكروم ؛ (-) : هبسوكروم ؛ / : بالنسبة Ep نتوء

التحليل الموجي	الإزاحة الملاحظة بـ (nm)		المفاعلات
	الحزمة II	الحزمة I	

فلافنون	280 . 250	350 . 304	MeOH
فلافنول	280 . 250	385 . 352	
في الموضع 3 OR	280 . 250	357 . 328	
إيزوفلافون	275 . 245	320 <sup>Ep</sup>	
'4 OH في 3 OR في 4'		65+ إلى 45+ 1. استقرار الشدة الصوئية/MeOH 2. نقصان الشدة الصوئية/MeOH	
Orthodi-OH في 3، 4 أو على الحلقة A مثلًا 7، 6 أو 8، 7 على الحلقة B أو Orthodi-OH		استمرار النقص في الشدة الصوئية، طيف يتحلل مع الوقت	NaOMe (NaOH)
3، '4، '3 Tri OH أو 5، '4 Tetra OH في 3، 4، '3، '5		استمرار النقص في شدة الامتصاص مع تفكك سريع للطيف	
7 OH في 7		عصابة جديدة بين 335 . 320	
7 OH في 7 مع ملاحظة أن هذا الانزياح يتراجع في وجود مستبدلات 6 أو 8	20+ إلى 5+		
7 OR في 7	عدم وجود أي انزياح أو ظهور انزياح ضعيف		NaOAc
Di OH في 7، 6 أو 8، 7 أو 4، 3 Tri OH في 7، 6، 5 أو 8، 7، 5 أو 4، '3، '4	طيف يتفكك بمرور الزمن		

B على الحلقة Orthodi OH		36+ إلى 12+	NaOAc + H <sub>3</sub> BO <sub>3</sub>
A على الحلقة Orthodi OH أو 7-8) إيزوفلافون	+10 - 15		MeOH/ NaOAc + H <sub>3</sub> BO <sub>3</sub>
B على الحلقة Orthodi OH (فلافون) مع OH في 5		قمة وحيدة عند 430 . 420	AlCl <sub>3</sub>
B على الحلقة Orthodi OH (فلافونول) مع OH في 5		قمة وحيدة عند 460 . 440	AlCl <sub>3</sub>
5-OH مع مجموعة أكسجينية في 6		20+ إلى 17+	
3 OH في 5 فلافون و OCH <sub>3</sub> في 3 فلافون		55+ إلى 35+	MeOH/ AlCl <sub>3</sub> +HCl
OH في 3 مع أو عدم وجود OH في 5		60+ إلى 50+	MeOH/ AlCl <sub>3</sub> +HCl
5 OH في 5 إيزوفلافون	+10-14		
B على الحلقة Orthodi OH		20- إلى 40 مع نتوء أو قمة من [360 . 350]	
إمكانية وجود Orthodi OH على الحلقة A أكثر من على الحلقة B أو Tri OH على الحلقة B		25- إلى 20-	AlCl <sub>3</sub> / (AlCl <sub>3</sub> + HCl)

#### الجدول - 6 - التأثيرات المختلفة للكواشف على طيف الأشعة فوق البنفسجية

#### II-4-2- مطيافية الرنين النووي المغناطيسي:

يعتبر طيف الرنين النووي المغناطيسي RMN من أهم الطرق المتاحة للحصول على التركيبة الكيميائية للمركبات و توجد عدة تقنيات هي :

- طيف RMN للبروتون H<sup>1</sup>

○ طيف RMN  $^{13}\text{C}$  للكربون

كما ظهرت للوجود تقنيات جديدة أمكن بها الجمع بين أطياف البروتون  $^1\text{H}$  والكربون  $^{13}\text{C}$  للحصول على طيف ثالثي البعد، و يمكن بهذه التقنيات معرفة:

○ درجة تأكسد الحلقات C, A, B,

○ عدد مجموعات الميتوكسيل

○ عدد السكريات و نوع الرابطة  $\alpha$  أو  $\beta$ .

### II-4-2-1 مطيافية الرنين النووي المغناطيسي للبروتون $^1\text{H}$ -RMN .:

في الرنين النووي المغناطيسي للبروتون توضع الجزيئات تحت تأثير مجال مغناطيسي خارجي ،فيحدث انتقال لمستويات الطاقة الفردية الخاص بالحركة المغزلية لأنوية ذرات الهيدروجين إلى مستويين ، ويزداد الفرق في الطاقة ( $\delta E$ ) بين هذه المستويات بزيادة شدة المجال المغناطيسي الخارجي ،كما أن هذا الفرق في الطاقة لكل نوع من أنوية الهيدروجين يتوقف على الظروف الإلكترونية المحيطة بكل نواة والتي تحدد بنوع الرابطة ونوع الذرات الأخرى المرتبطة بهذه النواة، وأنوية ذرات الهيدروجين تمتلك طاقة الأشعة الكهرومغناطيسية على ترددات مختلفة وهو ما يعبر عنه بالانتقال الكيميائي ( $\delta$ )، فتظهر عدة امتصاصات يتوقف عددها على عدد أنوية الهيدروجين المختلفة في الجزيء .

كثافة الامتصاص لكل نوع من الهيدروجين تتناسب مع عدد الذرات الموجودة في هذا النوع، و بالتالي يمكن تحديد العدد النسبي لذرات الهيدروجين في الجزيء وكذا عددها في كل مجموعة .

يلاحظ أيضا حدوث انقسامات داخلية في كل امتصاص رئيسي ويتوقف عدد هذه الانقسامات على عدد ذرات الهيدروجين المجاورة، والفرق في الطاقة بين هذه الانقسامات بوحدة التردد يسمى ثابت التزاج ( $J$ ) [69].

يتم الحصول على طيف  $^1\text{H}$ -RMN باستعمال مذيبات مختلفة مثل  $\text{CDCl}_3$  الذي يعطي نتائج جيدة مع الفلافونويدات غير القطبية و مذيب  $\text{DMSO-d}_6$  و  $\text{CD}_3\text{OD}$  الذي يعطي نتائج جيدة مع معظم الغликوزيدات و الجليكونات [43].

#### A - بروتونات الحلقة العطرية :

من أجل الحلقة A ثنائية الإستبدال في الموقعين 5 و 7، البروتونين H-6 و H-8 يظهرا في شكل ثالثتين. حيث يظهر البروتون H-6 عند (6 ppm حتى 7.1 ppm) بثابت تزاج  $J = 2.5\text{Hz}$

و حسب طبيعة مستبدلات C-5 و C-7 إشارة البروتون H-8 تظهر دائمًا في المجالات أضعف (6.30-6.5) ppm من تلك الخاصة بالبروتون H-6 [70]. والجدول التالي يبين بعض قيم الإنزياح لبروتونات الحلقة A.

H-8	H-6	H-5	الفلافونيد
$d (J=2.5\text{Hz})$ 6.3-6.5ppm	$d (J=2.5\text{Hz})$ 6.0-7.1ppm	-	5,7- OH
$d (J=2.5\text{Hz})$ 6.5-6.9ppm	$d (J=2.5\text{Hz})$ 6.2-6.4ppm	-	5-OH, 7-OR (R = sucre)
$s (6.3\text{ppm})$	-	-	5,6,7- OR (R = H, sucre)
-	$s (6.3\text{ppm})$	-	5,7,8- OR (R = H, sucre)
$d(J=2.5\text{Hz})$ 6.7-7.0ppm	$dd(J=9\text{Hz};2.5\text{Hz})$ 6.7-7.1ppm	$d(J=9\text{Hz})$ 8.0ppm	7-OR (R=H;sucre)

#### الجدول-7-إزاحة و ثابت تزاوج بروتونات A في بعض الفلافونيدات

#### ب- بروتونات الحلقة العطرية B :

- الإنزياح الكيميائي لبروتونات الحلقة B تظهر بين (6.7 - 7.9) ppm، حيث يرتكز هذا الإنزياح على مستبدلات الحلقة B ودرجة أكسدة الحلقة C.
- في حالة الحلقة B أحادية الاستبدال في الموضع 4'، البروتونات  $\text{H}_1$ ,  $\text{H}_2$ ,  $\text{H}_3$ ,  $\text{H}_5$  و  $\text{H}_6$  تظهر في شكل ثنائيتين على شكل نظام AB بثابت تزاوج متماثل (8.5Hz).
- دائما يظهر البروتونين  $\text{H}-2'$  و  $\text{H}-6'$  في المجالات الأدنى من تلك الخاصة بالبروتونات  $\text{H}_3$ ,  $\text{H}_5$ ، قيم انزياحها على الترتيب (6.5- 7.1 ppm) و (7.7-8.1 ppm) في حالة apigénine و kaempférol على سبيل المثال. والجدول المولاي يبين بعض الإنزياحات الكيميائية لبروتونات الحلقة B.

H-5' – H-3'	H-6' – H-2'	الفلافونيد
6.5-7.1 ppm $d (J=8.5\text{Hz})$	7.7-7.9 ppm $d (J=8.5\text{Hz})$	Flavones (4'-OH)
6.5-7.1 ppm $d (J=8.5\text{Hz})$	7.9-8.1 ppm $d (J=8.5 \text{ Hz})$	Flavonols(4'-OH)

6.7-7.1 ppm d ( $J=8.5\text{Hz}$ )	-	7.3-7.9 ppm $d(J=2.5 ; 8.5\text{Hz})$	7.2-7.3 ppm $d (J=2.5\text{Hz})$	3',4'-di-OH
-		6.5-7.5 ppm (s)		3',4',5'-tri-OH

### الجدول - 8- الانزياح الكيميائي لبروتونات الحلقة B

#### ج- بروتونات الوحدة غير المتجانسة C:

يظهر البروتون H-3 في بنية الفلافون على شكل إشارة أحادية بين (6-7 ppm) [71] حيث لا يمكن تمييزه من بين البروتونات H-6 و H-8 هذا في حالة (7,6,5)، (8,7,5) أو 5,7-OH [72]، وينزاح هذا البروتون نحو 4.2 ppm في حالة dihydroflavonol ، في حين يظهر في شكل إشارة متعددة في حالة . flavane

البروتون H-2 في هيكل dihydroflavonol يظهر في شكل ثنائية عند (5.2ppm) ، أما في حالة هيكل flavanone فـ يـ ظـهـرـ ثـنـائـيـ بـيـنـ 5ـ وـ 5.5ـ ppmـ .

نميز أنواعا أخرى من البروتونات تظهر في أطيااف الفلافونيدات منها:

✓ بروتونات هيدروكسيلية: تظهر بروتونات OH للموضع 3،5،7 عند: 12.4،9.7 و 10.93 ( على الترتيب).

✓ بروتونات ميثوكسيليـة: تـ ظـهـرـ فـيـ شـكـلـ إـشـارـاتـ أحـادـيـةـ ماـ بـيـنـ (3.8-4.5ppm) [71] .

✓ بروتونات أوزيدية: والتي تظهر في مجال (3.5-4 ppm) حيث يـ ظـهـرـ البرـوتـونـ الأـنـوـمـيـريـ "H-1"ـ عندـ المجالـاتـ الأـدـنـىـ منـ تـلـكـ الخـاصـةـ بالـشقـ السـكـريـ (4.2-6 ppm) ، عددـ هـذـهـ البرـوتـونـاتـ يـبـيـنـ عـدـدـ السـكـريـاتـ المتـواـجـدـةـ فيـ الـفـلـافـونـيـدـ كـمـاـ تـبـيـنـ مـنـ خـلـالـ ثـابـتـ التـزاـوجـ نوعـ الأـنـوـمـيـرـ αـ أوـ βـ والـجـوـلـ المـوـالـيـ يـبـيـنـ بـعـضـ قـيمـ الـانـزـياـحـ الـكـيـمـيـائـيـ لـبرـوتـونـاتـ أـنـوـمـيـرـيـةـ خـاصـةـ بـسـكـريـاتـ أحـادـيـةـ.

الفلافونيد	قيـمـ δـ لـاـنـهـ بـهـ	(ppm)
3-O glucoside flavonol	6.0 - 5.7	
7-O glucoside flavonol	5.2 - 4.8	
3-O rhamnosyl flavonol	5.3 - 5.1	
7-O rhamnosyl flavonol	5.1 - 5.0	

## الجدول-9: الانزياح الكيميائي لبعض البروتونات الأنوميرية.

### II-4-2 مطيافية الرنين النووي المغناطيسي للكربون : RMN<sup>13</sup>C

نظراً لانخفاض طاقة الامتصاص للكربون 13 بالإضافة إلى نسبة وجوده في الطبيعة 1.1% فإن كثافة الإمتصاص الناتج عن C<sup>13</sup> تكون حولي 0.01% بالنسبة لامتصاص البروتون، لذلك فإن معظم التقديرات الخاصة بـ C<sup>13</sup> تجري باستخدام FTNMR(Fourier Transformation NMR) للتغلب على الحساسية المنخفضة للكربون، ومن ناحية أخرى فإنه لا يحدث تزاوج بين ذرة الكربون C<sup>13</sup> و C<sup>12</sup> أخرى لأن احتمال وجود ذرتين كربون 13 متجاورتين ضعيف جداً حوالي 1 لكل 10<sup>4</sup> ذرة، لكن في نفس الوقت يحدث تزاوج بين C<sup>13</sup> و ذرات الهيدروجين المجاورة، وقد يصل مدى التزاوج ليشمل أربع روابط كيميائية، فيكون الطيف المتحصل عليه معقداً للغاية. وللتغلب على هذا التزاوج تستخدم طريقة إزالة التزاوج Sping decoupling و ذلك بإشعاع العينة بحزم من أشعة الراديو، تحتوي على جميع الترددات الخاصة بأنوية البروتونات في العينة .

وتحت هذه الظروف فإن طيف الرنين النووي المغناطيسي لـ C<sup>13</sup> يظهر في صورة إمتصاصات فردية ، ويعبر كل امتصاص عن ذرة كربون واحدة في ظروف إلكترونية معينة.

وباستخدام هذه التقنية يمكن الحصول على صورة واضحة عن الهيكل الكربوني العام للجزيء، كما يمكن الكشف عن بعض المجموعات الكيميائية مثل C=O , OCH<sub>3</sub>, C=NR و غيرها [69].

يوضح الجدول التالي الإزاحات الكيميائية لذرات الكربون 2، 3، 4 للفلافونات والفالفونولات من خلال تقنية الرنين النووي المغناطيسي C<sup>13</sup> [73] .

TMS ppm بالنسبة لـ	طبيعة الكربون
7 - 22	Aromatique C-CH <sub>3</sub>
59 - 63	Aromatique O-CH <sub>3</sub>
58 - 59	3-Methoxyflavone (3-OCH <sub>3</sub> )
56 - 78	Sucre CH <sub>2</sub> OH, CH-OH, C-glycoside

90 - 110	5,7-Dihydroxyflavonoide (C <sub>6</sub> -C <sub>8</sub> )
90 - 135	Flavone (C-3)
135 - 144	Flavonol (C-3) 3-Methoxyflavone (C-3)
136 - 158	Flavonol (C-2) 3-Methoxyflavone (C-2)
155 - 168	Flavone (C-2)
172 - 186	Flavone (C-4) Flavanol (C-4) 3-Methoxyflavone (C-4)

#### - الحدول 10- يبين أهم الانزياحات المختلفة لذرات الكربون للفلافونات و الفلافونولات

#### في أطياف RMN-<sup>13</sup>C

#### II-4-2-3- مطيافية الرنين النووي المغناطيسي ثنائية البعد:

قد تعجز كل من مطيافية الرنين النووي المغناطيسي للبروتون  $^1\text{H}$  R.M.N  $^{13}\text{C}$  على تحديد موضع الإستبدال بالدقة اللازمة فنلجأ إلى مطيافية الرنين النووي المغناطيسي ثنائية البعد، التي تعطي تعلقات بين:

- أنوية متجانسة مثل  $^1\text{H}-^1\text{H}$  Cosy والتي تظهر نقاط تعلق بين البروتونات المتزاوجة فيما بينها أي المفصولة برابطتين أو ثلاث  $J^2$ .
- أنوية غير متجانسة مثل HSQC والتي تعطي نقاط تعلق بين كل بروتون و الكربون الحامل له، ولكن هذه الأخيرة لا تسمح بمعرفة الكربونات الرباعية. فتستعمل تقنية HMBC التي تعطي تعلقات بعيدة المدى تصل إلى الكربونات الرباعية، فيتم تحديدها [72].

#### II-2-5- التحليل البنوي للفلافونيدات عن طريق مطيافية الكتلة:

تقدم مطيافية الكتلة خدمة واسعة للتعرف على البنى الفلافونيدية ، خاصة كونها لا تتطلب كمية كبيرة من المركب إذ يكفي جزء من ملء، فمن خلالها يمكن معرفة الوزن الجزيئي وبالتالي معرفة الصيغة المجملة للمركب الذي يبين نوعية المستبدلات ميتوكسيلية كانت أو هيدروكسيلية، كما تمكن قيم الشظايا من معرفة توزع هذه

المستبدلات على الحلقتين A و B . وتعتمد هذه التقنية على عدة طرق أهمها: طريقة القذف الإلكتروني (IE) [74] التي تكون صالحة خاصة مع الأجلينونات.

### II-5-2-1 عناصر التحديد البنوي للفلافلونيدات عن طريق مطيافية الكتلة:

يعتمد أساساً لدراسة الفلافلونيدات تقنيتين أساسيتين لمطيافية الكتلة هما: تقنية القذف الإلكتروني (I.E) و تقنية القذف السريع بالذرات (F.A.B) و بتفسير الإشارات الجزئية للفلافلونيدات الناتجة يمكن الاقتراب من البنية الكلية للفلافلونيد وتوزيع المستبدلات على الهيكل الأساسي له.

زيادة على الإشارات المميزة لأنواع الفلافلونيدات تظهر قمم مميزة ناتجة عن فقد جزيئات متعادلة أو جذور مثل: CO<sub>2</sub> (-28 u)، CO (-46u)، H<sub>2</sub>O (-44 u)، C<sub>2</sub>H<sub>2</sub>O (-42 u) أو الفقد المترافق لها مثل: CO -H<sub>2</sub>O (-46u)، حيث وجودها ينبي عن وجود مستبدلات خاصة على الهيكل الفلافونيدي [75].

### II-5-2-2 تقنية القذف الإلكتروني (I.E) :

تعتمد هذه التقنية على تطوير المركب في غرفة التأين في درجة حرارة 100-300 °م، ليقذف بعدها بسيل من الإلكترونات لتأييده و بالتالي نحصل على أيونات موجبة حسب المعادلة التالية :



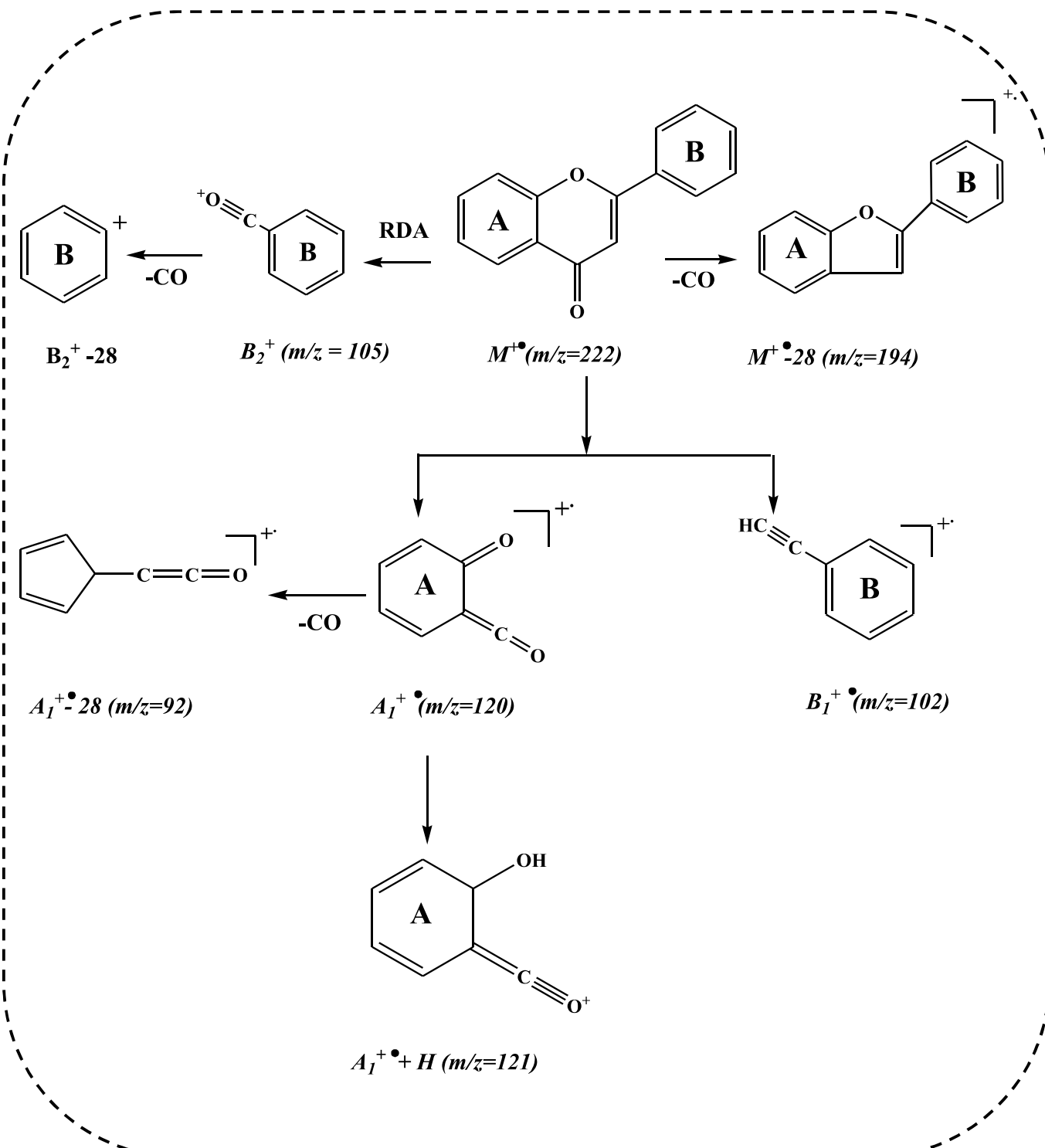
و كنتيجة للطاقة التي يكسبها الأيون الجزيئي (M<sup>+</sup>) برتبة (70 eV) تحدث له تشظيات من خلالها نحصل على الأيونات المميزة للمركب تحت الدراسة، و تعتبر هذه التقنية صالحة مع الأجلينون فقط لأن الإيتيروزيدات تفتقر إلى خاصية التطوير و كذلك لاحتواها على المستبدلات السكرية التي لا تحمل الطاقة القوية التي تتطلبها هذه التقنية.

#### أ- في حالة أجيكون الفلافلون:

حسب دراسة Audier [74] فإن الانشطار يكون من نوع (RDA) Retro-Diels-Alder على مستوى الحلقة C ينتج عنه قمة A<sub>1</sub><sup>+</sup> مميزة للحلقة A و قمتين B<sub>1</sub><sup>+</sup>, B<sub>2</sub><sup>+</sup> مميزتين للحلقة B. و يظهر الجدول و الشكل التاليين أهم الإنشارارات لأجيكونات الفلافلون و آلياتها على التوالي عن طريق تقنية القذف الإلكتروني (I.E)

الشطر	القمة (m/z)	التحليل
$A^+$ •	120	الحلقة A غير مستبدلة.
$/A+H]^+$ •	121	الحلقة A أحادية أو متعددة الهيدروكسيل.
	153-152	الحلقة A ثنائية أو متعددة الهيدروكسيل.
	167-166	الحلقة A أحادية الهيدروكسيل ، أحادية الميثوكسيل .
	183-182	الحلقة A ثنائية الهيدروكسيل ، أحادية الميثوكسيل .
	102	الحلقة B غير مستبدلة.
$B^+$ •	118	الحلقة B أحادية الهيدروكسيل.
	134	الحلقة B ثنائية الهيدروكسيل.
	148	الحلقة B أحادية الهيدروكسيل ، أحادية الميثوكسيل .
	150	الحلقة B ثلاثة الهيدروكسيل.
	162	الحلقة B ثنائية الميثوكسيل.
	(15-B)87	الحلقة B تكون O-méroxylée.
	القمة A أكبر من B	مشتق غير مؤكسج على B.
	القمة B أكبر من A	الحلقة B لها ميثوكسيل.

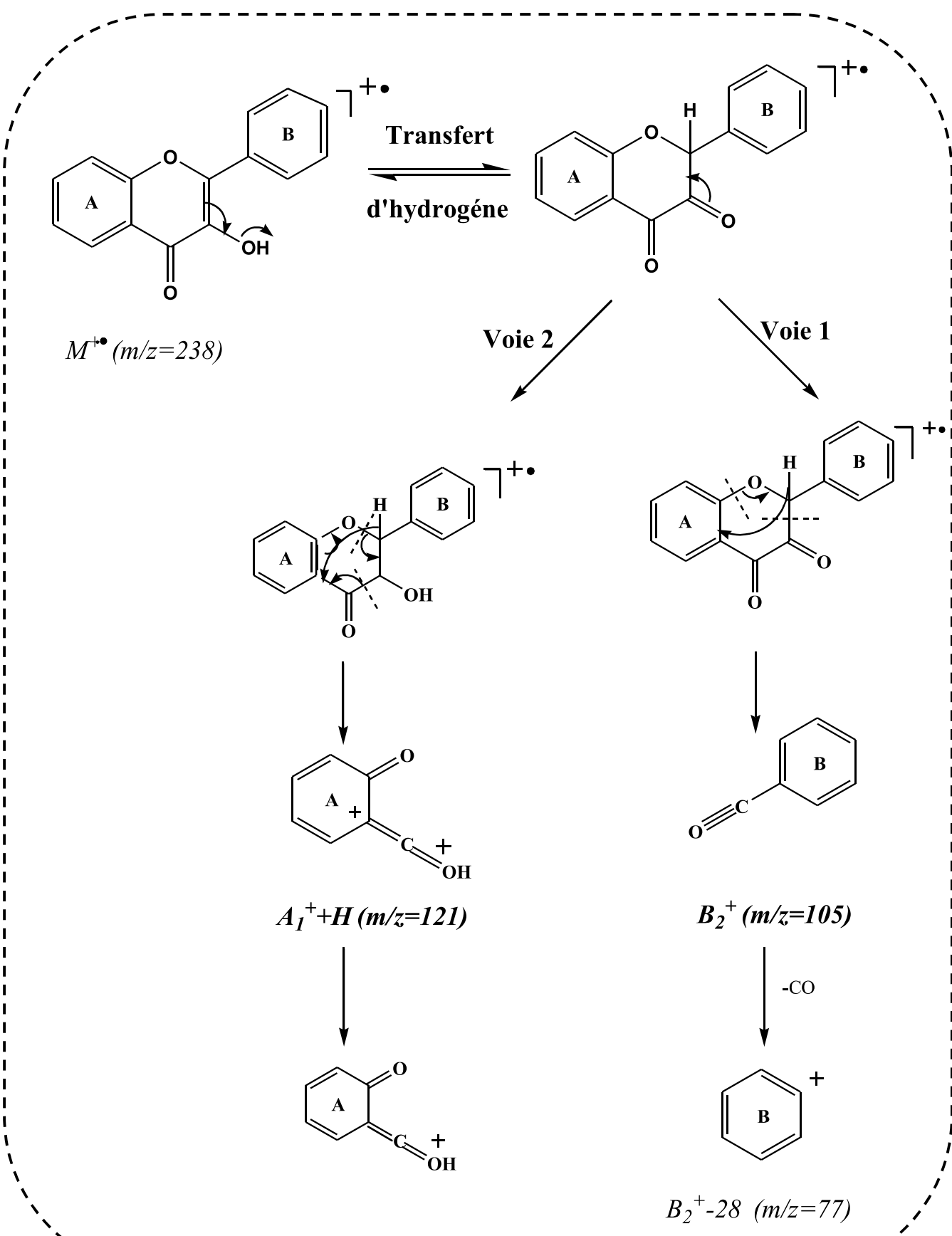
**الجدول-11 : أهم انشطارات أحليكون الفلافون**



الشكل-6: آلية إنشطار أجيكونات الفلافون

### ب- في حالة أجيكون الفلافونول :

يحدث انشطار Diels-Alder و يتبعه ظهور أيونين مهمين هما : (D)  $[A_1+H]^{+}$  ، (C)  $B_2^{+}$  ، (B)  $M^{+}$  . حيث الأول يعبر عن الحلقة B و الثاني عن A بالإضافة إلى القمة الأساسية و هي للأيون الجزيئي  $M^{+}$  .



الشكل -7- أهم الإنشارات الملاحظة على الفلافونول.

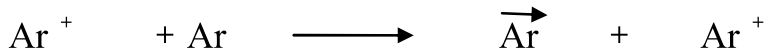
### II-3-5-2- تقنية الـ FAB:

تعد من التقنيات الحديثة، تستعمل لتأيين المركبات الطيارة و الجزيئات التي تتكسر بالحرارة دون تسخين كالجليكوزيدات (O-glycosides) و التي تتحصل منها على طيف به معلومات تخص الجزء السكري إضافة إلى الأيونات المميزة للفلافونيدات.

و تعتمد هذه التقنية على وجود منبع تفريغ (كاژود) و الذي يؤین ذرات الأرغون فتحصل على  $(Ar^+)$ :



و التي تدخل إلى غرفة الصدم المحتوية هي الأخرى على غاز الأرغون و تحت ضغط معين يحدث إنتقال الشحنة بين  $Ar$  و  $Ar^+$  كما يلي:



تبقى الذرات الناتجة (Ar) محافظة على طاقتها و عند خروجها من غرفة الصدم تحصل على الخليط  $:Ar^+ :Ar$  ، نعزل منه  $Ar^+$  بلوحي مكثفة و بذلك تحصل على سيل من ذرات Ar تدخل إلى غرفة التأيin لتصدم ذرات المركب المدروس الموضوعة على لوح معدني فتحصل على أيونات المركب التي يتم قلعها ، تسريعها و تحليلها بعد ذلك [76].

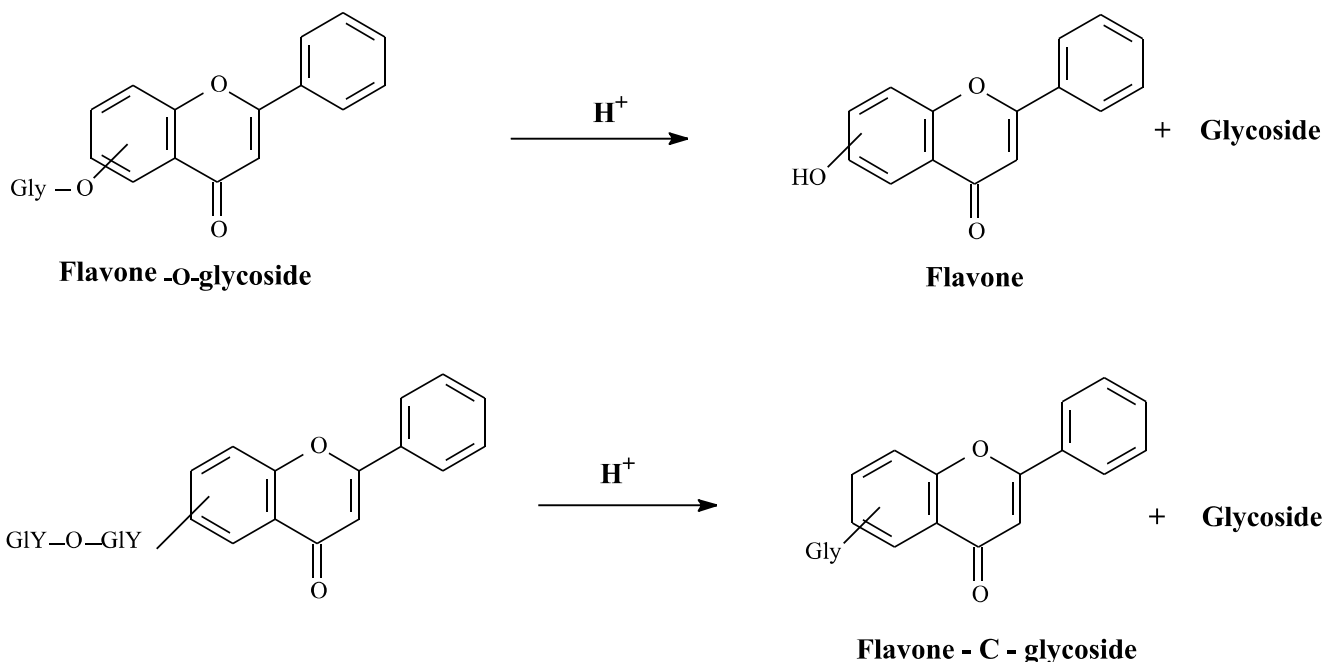
### II-4-5-2- تقنية الإلكتروسبراي : électrospray

تعتبر هذه التقنية أحدث من (F.A.B) و تختلف عنها في الطريقة العملية، حيث تسمح بدراسة الجزيئات ذات الأوزان الجزيئية الكبيرة كالبروتينات و الجزيئات الصغيرة سهلة التكسير مثل المضادات الحيوية و المبيدات [77].

أما بالنسبة للفلافونيدات فتستعمل تقنية الإلكتروسبراي (ES) لدراسة المركبات سهلة التكسير مثل : O-glycosides و يتميز طيف الكتلة المحصل عليه بوجود قمة الأيون الجزيئي  $[MH]^+$  و قمم موافقة للأيونات شبه الجزيئية من الشكل [78] ...  $[M+Na]^+$  ،  $[M+Li]^+$  ، ...

### II-6-2- الإماهة الحمضية :

بالإضافة إلى التقنيات السابقة يمكن الاستعانة بالتميّه الحمضي للتعرف على عدد ونوع السكريات الموجودة في المركبات الجليكوزيدية إذ تعمل هذه التقنية على تحطيم الرابطة (كريون . أكسجين) الجامعة بين السكر والأجلكون. والشكل (8) يبيّن الإماهة الحمضية للفلافونيدات الجليكوزيدية في حالة O- جليكوزيل و C- جليكوزيل [71].



الشكل - 8 : الإماهة الحمضية للفلافونيدات الجليكوزيدية

تم عملية التمييـه الحمـضـيـه في أـنـبـوبـ اـخـتـبارـ بـأـخـذـ كـمـيـهـ قـلـيلـهـ منـ الجـليـكـوزـيدـ مـذـابـ فيـ حـوـالـيـ (1ـ مـلـ)ـ منـ المـيـثـانـولـ وـيـضـافـ لـهـ (1ـ مـلـ)ـ منـ حـمـضـ كـلـورـ المـاءـ (4Nـ HCl)ـ ثـمـ يـسـخـنـ فيـ حـامـ مـائـيـ 100ـ مـ°ـ لـمـدةـ 15ـ إـلـىـ 120ـ دـقـيقـةـ.

بعد تبريد الأنـبـوبـ يـعـدـ إـلـىـ اـسـخـلاـصـ منـ نـوـعـ سـائـلـ/ـسـائـلـ بـدـءـاـ بـإـيـثـيلـ (éthylic ether)ـ بـعـدـ الـرـجـ الجـيدـ يـتـرـكـ الأـنـبـوبـ لـلـراـحةـ لـنـفـصـلـ بـعـدـهاـ الطـبـقـةـ العـضـوـيـهـ عـنـ المـائـيـهـ،ـ تـكـرـرـ الـعـمـلـيـهـ مـرـهـ أـخـرىـ مـعـ خـلـاتـ الإـيـثـيلـ (n-butanol)ـ ثـمـ الـبـيـوتـانـولـ العـادـيـ (éthyl acétate)ـ.

ترـكـ الطـبـقـةـ العـضـوـيـهـ عـلـىـ الأـجـليـكـونـ الـذـيـ يـمـكـنـ التـعـرـفـ عـلـيـهـ بـتـسـجـيلـ طـيفـ (UV)ـ وـكـذـاـ بـإـجـراءـ كـرـومـاتـوـغـرـافـيـ (CCM)ـ معـ شـواـهـدـ أـجـليـكـونـيـهـ،ـ أـمـاـ جـزـءـ السـكـريـهـ مـنـ الجـليـكـوزـيدـ فـيـقـيـ مـذـابـاـ فـيـ الطـبـقـةـ المـائـيـهـ الـتـيـ يـتـمـ تـجـفـيفـهاـ ثـمـ يـعـادـ غـسـلـهاـ بـالـمـاءـ لـتـجـفـفـ مـنـ HClـ عـدـهـ مـرـاتـ لـتـخـلـصـ مـنـ أـخـيرـاـ تـغـسـلـ بـالـمـيـثـانـولـ لـتـخـلـصـ مـنـ أـثـارـ الطـبـقـةـ العـضـوـيـهـ ثـمـ يـعـادـ إـذـابـتهاـ فـيـ المـاءـ لـتـكـونـ جـاهـزةـ لـلـتـحلـلـ،ـ وـأـخـيرـاـ تـغـسـلـ بـالـمـيـثـانـولـ لـتـخـلـصـ مـنـ أـثـارـ الطـبـقـةـ العـضـوـيـهـ ثـمـ يـعـادـ إـذـابـتهاـ فـيـ المـاءـ لـتـكـونـ جـاهـزةـ لـلـتـحلـلـ،ـ وـلـتـعـرـفـ عـلـىـ نـوـعـ السـكـرـ الـمـنـفـصـلـ يـعـدـ إـلـىـ تـحـضـيرـ أـلـواـحـ كـرـومـاتـوـغـرـافـيـهـ مـنـ Gel de silice 60F<sub>254</sub>ـ تـرـشـ.

بمحول  $NaH_2PO_4$  (0,2M) تترك لتجف في الهواء ثم توضع في فرن تحت درجة حرارة 100 م° لمدة ساعة كاملة.

بعدها توضع نقطة من الطبقة المائية الحاوية على الجزء السكري بالموازاة مع بعض الشواهد السكرية المعروفة، يغمس اللوح الكروماتوغرافي في المصل : ماء (90 : 10)، بعد هجرة البقع السكرية يستخرج اللوح الكروماتوغرافي ليجف في الهواء لمدة ساعة بعدها يرش بكاشف مالونات الأنيلين ويسخن عند 100° لمدة 5 دقائق حيث تبدأ بقع السكريات بالظهور بلون داكن وتأخذ اللون الأصفر تحت (UV). والجدول (11) يبيّن قيم  $Rf$  لبعض السكريات الشائعة [58].

السكريات الشواهد	$Rf$
$\alpha(L)$ rhamnose	0,88
L(+) arabinose	0,66
D(+) -xylose	0,79
b-D(+) glucose	0,53
D(+) galactose	0,33

الجدول-11- : قيم  $Rf$  لبعض السكريات الشائعة

# نعمل الثالث

الدراسة الكيميائية لنبتة

*sisnevra ahtneM*

## ١-٣- الدراسة الكيميائية النباتية لنبتة :*Mentha Arvensis*

### ١-١- مقدمة :

تعتبر العائلة الشفوية (**Lamiaceae**) من النباتات التي تستعمل لعدة أغراض في حياتنا اليومية، وميزتها الزيوت الطيارة التي تفرزها الغدد المنتشرة على كافة الأجزاء النباتية، والتي تستعمل في عدة مجالات صناعية من بينها صناعة العطور.

ومن بين هذه الأنواع الخزامة : *Menthe* ; الجعدة : *Phlomis* ; العناءع : *Romarin*؛ الإكليل :

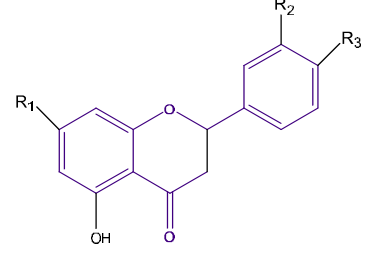
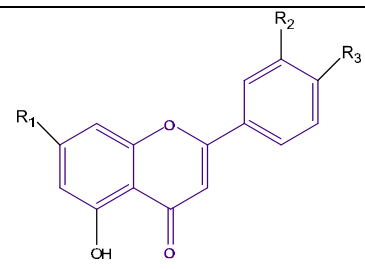
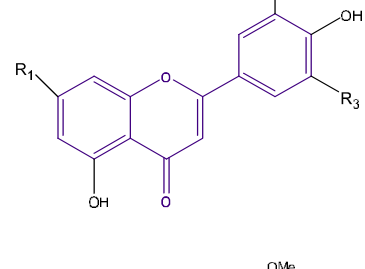
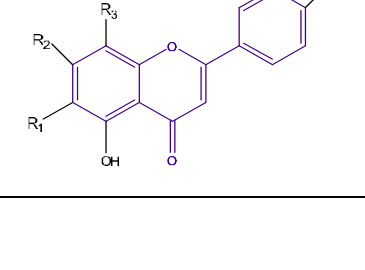
ويعود أصل تسميتها إلى الكلمة اللاتينية **Labium**, والتي تعني الشفتين. معظم هذه النباتات أعشاب حولية أو معمرة، أو شجيرات سيقانها قائمة. أما أوراقها فتكون مترادفة متقابلة متعددة بسيطة بلا أذنيات، نوارتها غير محدودة، وقد تكون النوارة لولبية، أو بسيطة ذات شعبتين أو عقربيه وهي عند كل عقدة تكون ما يشبه السوار. ويكون شكل النوارة إما سنابي أو عنقودي أو هامي. زهراتها خنثى وحيدة التناظر سفلية، ويتتألف الكأس من خمسة سبلات ملتحمة ومستديمة وهو أنبوب الشكل أو شفوي أو مسنن. يتتألف التوهج من خمسة بتلات ملتحمة على شكل شفتين، أما الطلع فيتألف من أربعة أسدية، ويكون المتأع من كربلتان ملتحمتان وقلم واحد ينتهي بمبسمين . أما القرص الغدي فيقع في أسفل المبيض وأحيانا يكون بشكل غدة كبيرة على الجانب الأمامي ، يوجد في المبيض حجرتان لكل واحدة منها بويضتان . أما الثمرة فتكون من أربع ثميرات تقع بداخل الكأس، وتكون البذرة أندوسبيرمية وكثيراً ما يمتصها الجنين .

تشمل هذه الفصيلة حوالي 200 جنس و 6000 نوع تنتشر في جميع أنحاء العالم خصوصاً حوض البحر الأبيض المتوسط . تحتوي هذه العائلة على جنس **MENTHA** حيث يشمل هذا الجنس على 69 نوع منتشرة في حوض البحر الأبيض وجنوب القارة الآسيوية و أمريكا اللاتينية .

يتميز جنس **Mentha** بغناه بالمركبات الطبيعية التالية : التريبنات **terpen** الفلافونيدات **flavonoides** كرانتونات **xentons** الثانيين **tanins** الستيروولات **steroides** و الاحماظ **فينولية** كما ان هذا الجنس معروف بزيوته الأساسية حيث يحتوي على 70 % من **Acide phénolique** الذي يستخدم في صناعة العطور، السجائر في الصناعة الصيدلانية **menthol**

### III-1-2-بعض المركبات المفصولة من الجنس : *Mentha*

تم عزل العديد من الفلافونيدات مختلفة البنية الكيميائية من الجنس *Mentha* منها الأجلكونية والإيتيروزيدية من خلال مجموعة من الأعمال أنجزت ،يمكن ان تلخص بعضها في الجدول التالي:

المرجع	التسمية	المستبدلات			صيغة الفلافونيد
		R <sub>3</sub>	R <sub>2</sub>	R <sub>1</sub>	
80	eriocitrine	OH	OH	rut	
80	narirutine	OH	H	rut	
80	hesperidin	OMe	OH	rut	
81	naringenin	OH	H	OH	
80	luteolin-7-O-rutinoside	OH	OH	rut	
80	Isorhoifoline	OH	H	rut	
80	diosmine	OMe	OH	rut	
82	Tricetin 7-O-methoxy-3-O- $\beta$ -D-glucosyl-5'-O- $\alpha$ -L-rhamnosyl	rha-O	glu-O	OMe	
82	tricetin 3'-O- $\beta$ -D glycosyl - 5'-O- $\alpha$ -L-rhamnosyl	rha-O	glu-O	OH	
82	Tricetin 3'-di-O-rhamnosyl	H	dirha	OH	
83	5,6-dihydroxy-7,8,3',4'-tetramethoxyflavone	OMe	OMe	OH	
83	5-hydroxy-6,7,8,3',4'-pentamethoxyflavone	OMe	OMe	OMe	

الجدول (1): الفلافونيدات المفصولة من الجنس *Mentha*

المرجع	النسمية	المستبدلات			صيغة الفلافونيد
		R <sub>3</sub>	R <sub>2</sub>	R <sub>1</sub>	
83	5,4'-di hydroxy-6,7,8-trimethoxyflavone	OH	OMe	OH	
83	5,6-di hydroxy-7,8,4'-trimethoxyflavone	OMe	OMe	OH	
83	5-hydroxy-6,7,4'-trimethoxyflavone	OMe	H	OMe	
83	5-hydroxy-6,7,8,4'-tetramethoxyflavone	OMe	OMe	OMe	
83	5,6,4'-trihydroxy-7,8-dimethoxyflavone	OH	OMe	OH	
83	apiginine	OH	OH	OH	
83	acacetine	OMe	OH	OH	
84	acacetin-7-O-rutinosyl	OMe	-O rut	OH	
83	sorbiboline	H	OMe	OH	
83	luteoline	OH	OH	H	

الجدول ( 2 ) الفلافونيدات المفصولة من الجنس *Mentha* (تابع)

المرجع	النسمية	المستبدلات			صيغة الفلافونيد
		R <sub>3</sub>	R <sub>2</sub>	R <sub>1</sub>	
83	thymonine	OMe	OMe	OH	
83	sideritoflavone	OH	OMe	OMe	
83	5,6,4'-trihydroxy-7,3'-dimethoxyflavone	OMe	H	OH	
83	cirsilinol	OMe	H	OMe	
83	5, 4'-dihydroxy-6,7,8, 3'-tetramethoxyflavone	OMe	OMe	OMe	
83	5, 6-dihydroxy-7,3', 4'-trimethoxyflavone	OMe	H	OH	
83	5, hydroxy-6,7,3', 4'-tetramethoxyflavone	OMe	H	OMe	
83	ladaneine	H	H	OH	
83	Gardenine D	OH	OMe	OMe	
85	Keampféról -3-O-glucosyl (1→2) rhamnosyde-7-O-glycoside		H	H	
85	Keamférol -3-O-(6''-p-coumaroylglucosyl) (1→2) rhamnosyde-7-O-glycoside		H	p-coumaroyl	
85	Keampféról -3-O-(4''-p-coumaroylglucosyl) (1→2) rhamnosyde-7-O-glycoside		p-coumaroyl	H	

الجدول ( 3 ) الفلافونيدات المفصولة من الجنس *Mentha* (تابع)

المرجع	التسمية	المستبدلات			صيغة الفلافونيد
		R <sub>3</sub>	R <sub>2</sub>	R <sub>1</sub>	
86	kaempferol-3-O-glucosyl	H	OH	O-glu	
86	Luteolin-7,3'-diglucosyle	O-glu	O-glu	H	
86	Luteolin-3-O-glucosyle	OH	OH	O-glu	
86	Luteolin-7-O-glucopyranosy	OH	O-glu	H	
83	Lutiolin-7-O-rutinosyl	OH	rut-O	H	
83	Apigenin-7-O-rutinosyl	H	rut-O	H	
83	Apigenin-7-β-O-glycopyranosyl	H	glu-O	H	
83	jaceidine				
83	6-hydroxykaempferol-3,5,7-trimethoxy				
83	artemetine				

الجدول ( 4 ) الفلافونيدات المفصولة من الجنس *Mentha* (تابع)

### III-1-3- التصنيف النباتي للنبة:



الصورة-1- صورة فوتوغرافية لنبة *Mentha arvensis*

Royaume	Plantes	المملكة
Sous royaume	Tracheobiontes	تحت المملكة
Embranchement	Spermatophytes	الفرع
Division	Magnoliophytes	القسم
Classe	Magnoliopsides	الصنف
Sous classe	Asteridae	تحت الصنف
Ordre	Lamiales	الرتبة
Famille	Lamiaceae	العائلة
Genre	<i>Mentha</i>	الجنس
Espèce	<i>Mentha arvensis</i>	النوع

الجدول-5-التصنيف النظمي لنبات *M.arvensis*.

#### 4-1-III- وصف النبتة:

اشتق اسم arvensis من الاسم اللاتيني arvum والذى يعني الحقل ويمكن وصف النبتة كالتالى :

هي نبتة يتراوح طولها ما بين 10 سم الى 60 سم ذات أوراق بيضاوية الشكل ذات رائحة عطرة متقابلة تتوضع على الجذع رباعي الشكل لونه أخضر و في بعض الأحيان بنفسجي قادرة على بث شعيرات ماصة في حالة ملامستها للأرض، أزهارها ذات ألوان بنفسجية أو زهرية تجتمع في كؤوس في نقطة التقاء الورقة مع الساق نزهر ما بين شهري جويلية و أكتوبر.

#### 5-1-III- خصائصها:

تشتهر نبتة *Mentha arvensis* كباقي انواع النعناع بزيوتها الأساسية و التي تمتاز بفعالية بيولوجية عالية حيث يتكون زيتها الأساسي من -7- المركبات الملخصة في الجدول

	المركب	نسبة وفرتها
Monoterpènes	béta-pinène	1.09%
	alpha-pinène	0.97%
	myrcène	0.39%
	sabinène	0.39%
	limonène	3.87%
Monoterpénols	: menthol	42.43%
	néo-menthol	4.74%
	linalol	0.19%
Monoterpénone	menthone	21.76%
	iso-menthone	9.25%
	pipéritone	0.94%
Esters terpéniques	pulégone	0.96%
	acétate de menthyle	4.38%
Sesquiterpènes	béta-caryophyllène	0.84%

جدول 6- يبين مكونات الزيوت الأساسية لنبتة *Mentha arvensis*

### III - 1 - 6 - الدور العلاجي:

لنبات *Mentha arvensis* خصائص علاجية هامة مرتبطة أساساً بزيوتها الأساسية التي تحتوي على الماننول الذي يعطيها قيمة علاجية كبيرة لمكافحة عدة أمراض منها:

- صداع الرأس
- يسكن الام الأسنان
- يسكن الألام العصبية
- مضاد للجراثيم
- مضاد للعدوى
- يستخدم لعلاج الاكزيما والقوباء
- يعالج القيء في حالة الحمل وعسر الهضم
- توفر شعور كبيرا بالنضارة
- يحقق نشاط القلب
- يعالج الجيوب الأنفية
- يعالج البرد و التعب
- يخفف من مشاكل الجهاز الهضمي
- يعالج المucus الكلوي والمucus الكبدي

### III - 2 المادة النباتية:

جمعت النبتة من ضواحي ولاية جيجل بالشرق الجزائري في ماي 2009 وخلال تجميع النبتة تم تخلیصها من كل الشوائب العالقة بها، بعدها تمت عملية التجفيف في الظل بعيداً عن الرطوبة فتحصلنا على 437 غ من المادة النباتية



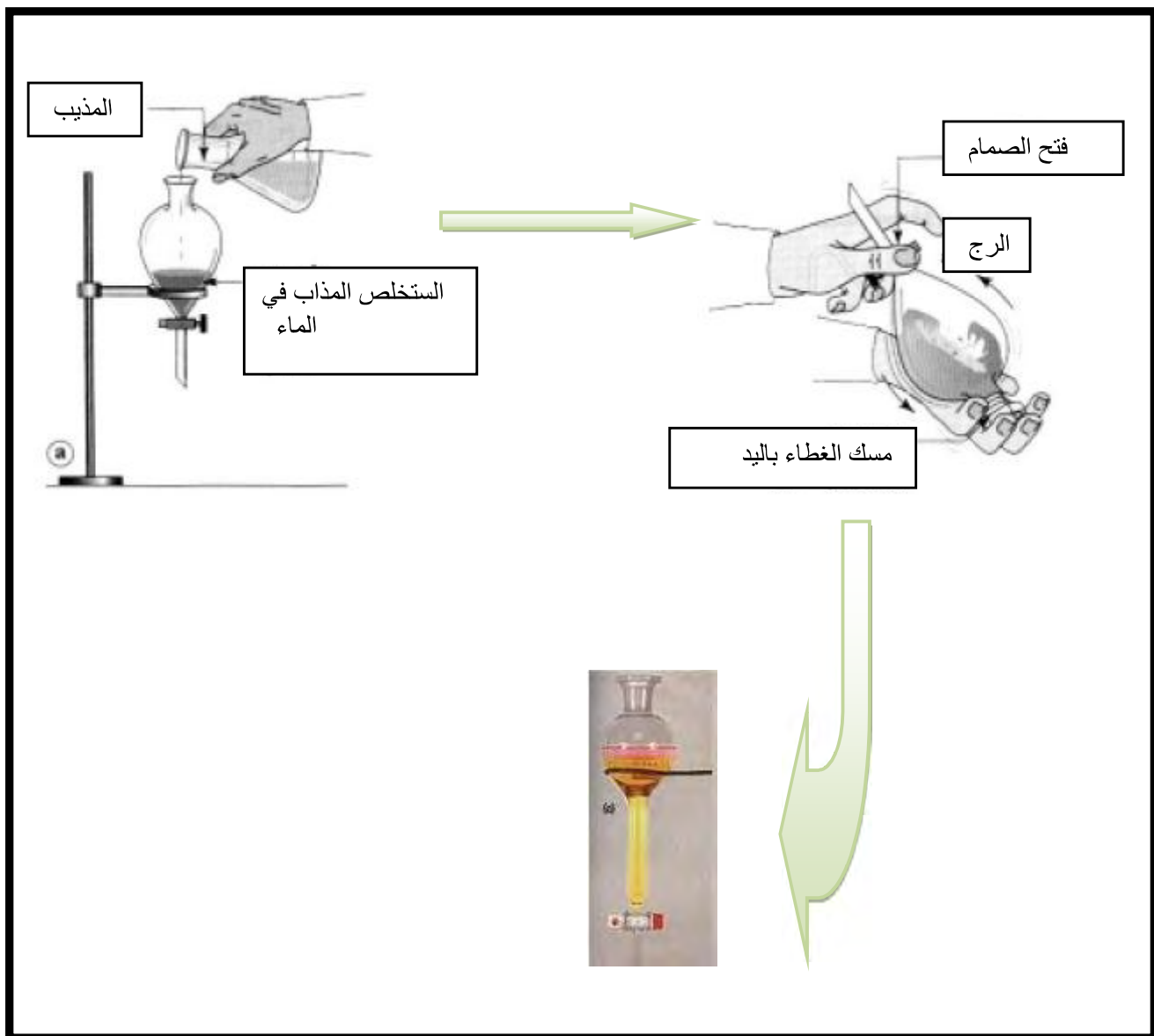
## ١-٢-٣- استخلاص النبتة :

وضعنا المادة النباتية في أوانٍ مجهزة لهذه العملية و غمرناها بمحلول به : ماء / ميثانول (3/7) و تركت لمدة 24 ساعة، ليرشح بعدها و يركز الراشح أما المحلول المسترجع بعد التركيز فيُجدد بالكمية الكافية لغمر المادة النباتية و هذا لإعادة العملية حتى يضعف تركيز لون الراشح أي استخلاص أكبر كمية ممكنة و لذلك فقد كررنا العملية 4 مرات على أن يستبدل المحلول كل 36 ساعة.

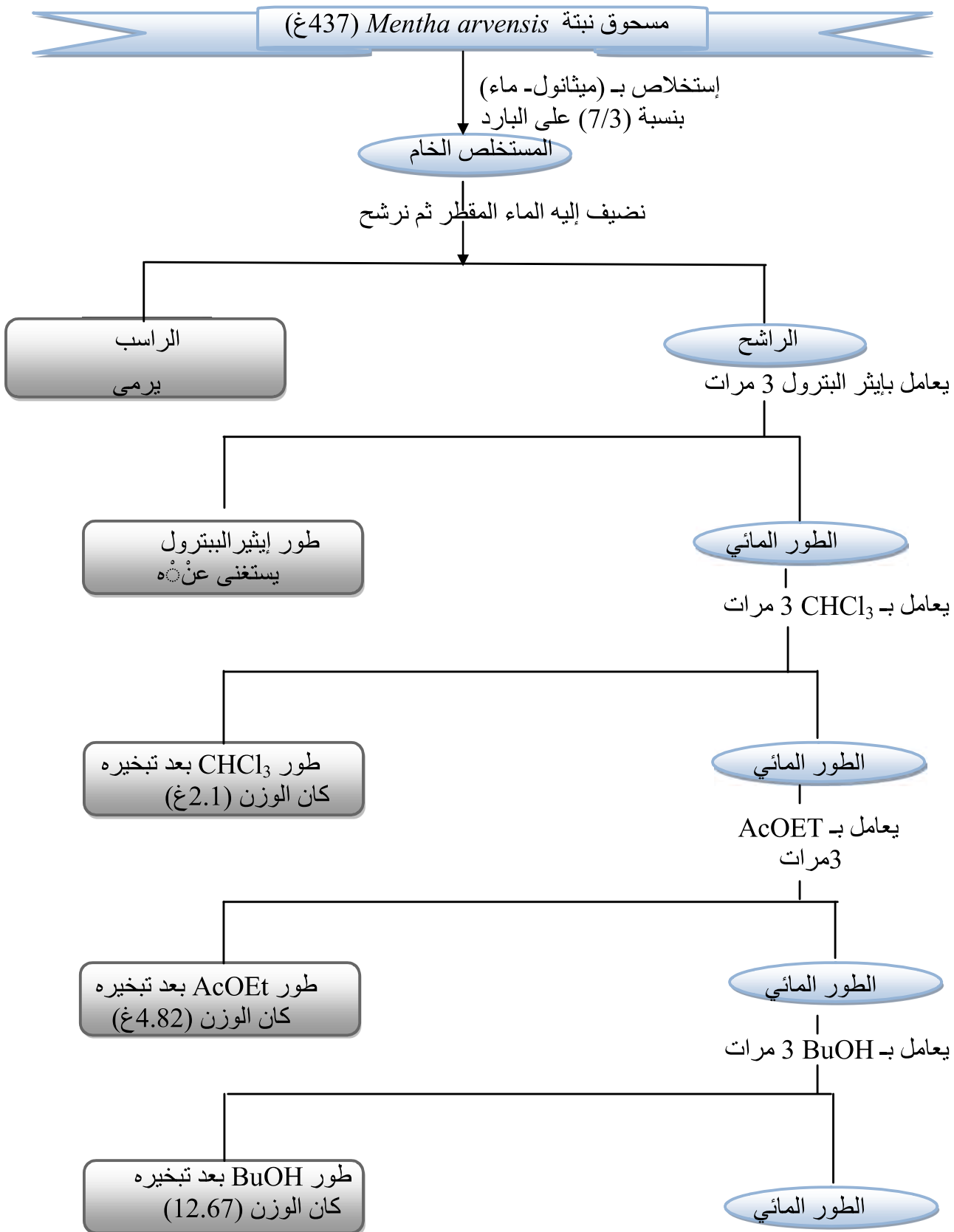
أذبنا المستخلص الخام المركز المتحصل عليه في حوالي 250 مل من الماء المقطر الدافئ (400-500 مل ماء مقطر لكل 1 كغ من المادة النباتية الجافة) ثم تركناه ليلة كاملة للراحة و أخذنا فقط الجزء السائل و تخلصنا من الراسب الذي بقي في أسفل الإناء لنبدأ بعدها بفصل الأطوار حيث أضفنا أولاً الكلوروفورم بنسبة 1/3 من حجم المستخلص المذاب في الماء المقطر و ننتبه أن لا نرج جيداً مخافة تشكيل مستحلب وتركناه مدة زمنية كافية حتى انفصل الطوران حيث يكون الطور الكلوروفوري هو الأقل أي الأسفل و هو الذي قمنا بتركيزه و كررنا العملية حتى غاب اللون المميز لهذا الطور، و في الأخير نقلنا المستخلص المركز بإذابته في القليل من الكلوروفورم و وضعناه في قارورة صغيرة معلومة الوزن و هذا لمعرفة وزن هذا الطور. بنفس الطريقة عاملنا الطور المائي بخلافات الإيثيل ثم بالبوتانول النظامي و اللذان يكون فيهما الطور العضوي هو الأخف أي إلى الأعلى قمنا بتكرير العملية ثلاثة مرات لكل طور و في كل مرة ننقل المستخلص المركز بقليل من الميثانول ثم نزن فحصلنا بذلك على:

- ✓ وزن طور الكلوروفورم يساوي 2.1 غ.
- ✓ وزن طور خلات الإيثيل يساوي 4.82 غ.
- ✓ وزن طور البوتانول العادي يساوي 12.67 غ.

و قد قمنا بتلخيص العمليات السابقة في المخطط المبين في الشكل - 2



الشكل -1-.عملية الاستخلاص من النوع سائل/سائل .



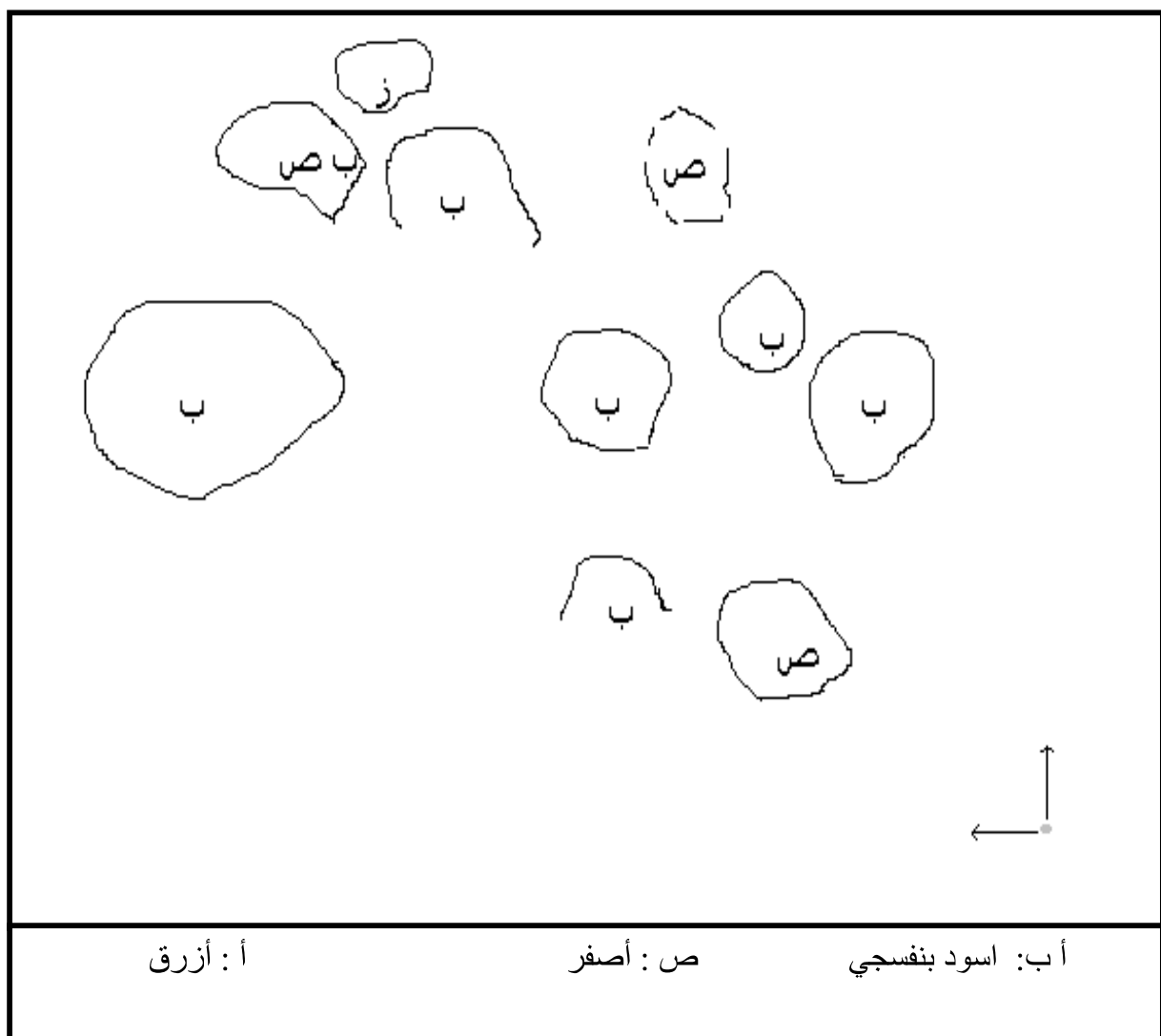
شكل - 2- خطوات عملية استخلاص المادة النباتية النبتة *Mentha arvensis*

### III-2-2- طريقة الفصل والتنقية:

بما أن الهدف الأساسي من بحثنا هو فصل المركبات الفلافونيدية، قمنا باختيار المستخلص الأسيتاتي.  
وأجرينا له فحص كروماتوغرافي على الورق حيث في البعد الأول  $D_1$  كان المخلص هو المذيب العضوي

B.A.W (n-BuOH, Acétic acid, Water) 4/1/5 :

في البعد الثاني المخلص  $D_2$  كان المذيب المائي 30% acide acétique فتحصلنا على الكروماتوغرام التالي



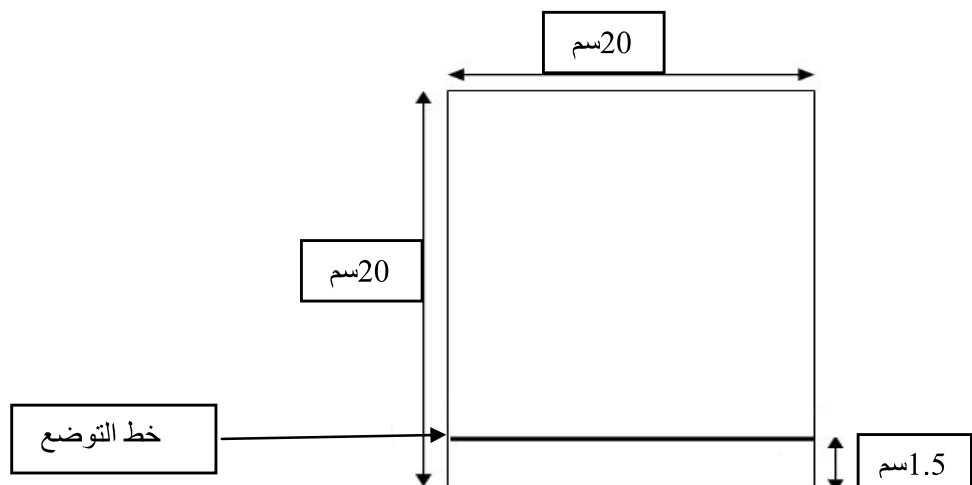
الشكل -3- كروماتوغرام ثانوي البعد على ورق واطمان لطور خلات الايثيل *M.arvensis*

نظراً لنتائج الفحص الكروماتوغرافي قررنا استخدام كروماتوغرافيا الطبقة الرقيقة التحضيرية (CCM) وذلك للاستفادة من مزايا هذه الطريقة

### III-3- الطريقة العملية للنتائج الكيميائية :

في خطوة أولية قمنا بتحضير 50 شريحة تحضيرية على ثلاث مراحل حيث قمنا بتحضير الدعامة بالرج الجيد للسيликاجال مع الماء المقطر ثم وضعناه بواسطة Etaleur على صفائح من زجاج ذات ابعاد  $(20 \times 20)$  سم بسمك منتظم و نتركها تجف بعدها نضعها في درجة حرارة  $100^{\circ}\text{C}$  على الأقل لمدة ساعة. بعد أن تبرد نضع عليها العينة بطريقة عرضية على بعد 1.5 سم من الحافة وننقعها عموديا في حوض به الملص المناسب كما هو موضح في الصورة 2- و بانتشار هذا الأخير الذي دام ثلاثة ساعات تفصل المركبات على شكل أحزمة حددناها بمصباح UV. نقوم بكشط كل منها على حد و نغسلها بالميثanol جيداً في أقماع زجاجية ، تركز بعدها الرشاحة حيث كانت الدعامة عبارة عن السيликاجال .HF<sub>254</sub>

استهلكنا من خلال هذه العملية 2 غ من المستخلص الاسيتاتي بينما كان الملص النظام التالي:  
كلوروفورم / الاسيتون / ميثanol بنسبة 0.5/4.5/5 على الترتيب



الشكل -4-



تحضير المملص



نقع الطبقة التحضيرية

## الصورة-2

فتحققنا على حزم تظهر بواسطة مصباح UV كما هو موضح في الصورة-3-استطعنا فصل المركبين  $B_2$  ،  $B_3$  حيث تمت تنقية المركب  $B_2$  بواسطة عمود السيفاداكس Sephadex LH20.

أما المركب  $B_3$  تمت تنقيةه باستعمال كروماتوغرافيا العمود مع السيليكاجال كدعامة

بينما المملص كان الكلوروفورم مع أغائه تدريجيا بالأسيتون . (flashe colonne)



## الصورة-3

عند فصل المركبين  $B_2$ ,  $B_3$  لاحظنا ان المستخلص لم يهاجر كله من مستوى التوضع الابتدائي ولهذا ارتأينا أن نسترجعه من الجال ونفصله بنفس الطريقة ولكن هذه المرة غيرنا المخلص فاستعملنا النظام التالي:

هكسان/ خلات الايثيل/ الاسبيتون/ ميثانول بنس比 0,5/4,5/5/3 على الترتيب .

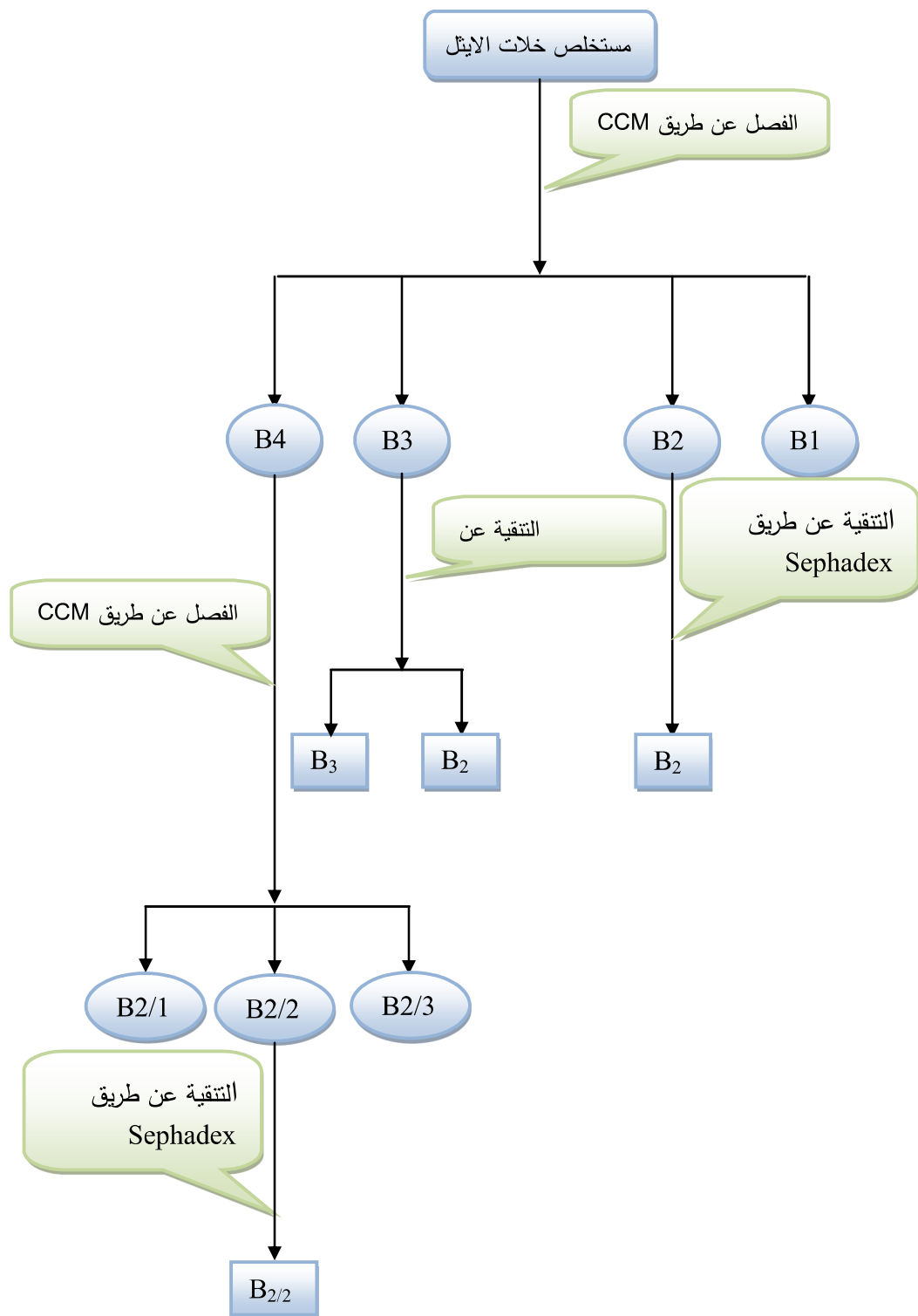
بعد ان قمنا بعملية التميص مرتين تحصلنا على ثلات حزم احدها تظهر تحت مصباح UV في الموجة 365 ولا تظهر تحت الموجة 254 اما الحزمتين الاخريتين تظهران تحت الموجتين



الصورة-4-

- ✓ الحزمة الأولى: هي  $B_{2/1}$  لم يتم دراستها لعدم توفر الكمية الكافية لتحليلها
- ✓ أما الثانية وهي  $B_{2/2}$  تم تحديد بنيتها وذلك بعد تنقيتها عن طريق عمود السيفاداكس .Sephadex LH20
- ✓ بينما الحزمة الثالثة هي  $B_{2/3}$  فكانت تحوي خليط معقد من المركبات لم يتم فصلها .

و لقد قمنا بتلخيص عملية الفصل والتقطية ضمن المخطط التالي:



شكل - 5- مخطط الفصل و التقية

ومنه خلال عملنا هذا تم فصل ثلاث مركبات فلافونيدية  $B_2$ ,  $B_3$ ,  $B_{2/2}$  ولكن تم تحديد بنية مركبين فقط و هما:

$B_2$  المركب •

$B_{2/2}$  المركب •

# نعمل البرنامج

مناقشة النتائج الكيميائية



## IV . التعيين البنوي للمركبين

### IV-1. التحليل البنوي للمركب $B_2$ :

اعتمدنا في التعرف على البنى الكيميائية للمركبات الندية المتحصل عليها على:

- السلوك الكروماتوغرافي بالاستعانة بالشهاد و لتعيين الجزء السكري في حالة الجليكوزيدات نستخدم الحلمة الحمضية .

- مطيافية الأشعة فوق البنفسجية . المرئية. UV

- الرنين النووي المغناطيسي . RMN( $^1H$ )

### IV-1-1 سلوكه الكروماتوغرافي:

توضح قيم معامل الاحتباس في الجدول (1).

SII	SI	الجملة
16	25	$R_f \times 100$
اسود بنفسجي		اللون الإشعاعي

#### الجدول (1) : السلوك الكروماتوغرافي

SI : Toluène/MEC/MeOH (4 / 3 / 3 )

SII : H<sub>2</sub>O/MeOH/MEC/Acétyl acétone (13 / 3 / 3 / 1 )

### IV-2 - مطيافية الأشعة فوق البنفسجية (UV):

مطيافية الأشعة فوق البنفسجية الخاصة بالمركب  $B_2$  موضحة بالجدول -2

الكواشف	العصابة I (nm)	العصابة II (nm)	قمم (nm)
MeOH	354	266	
NaOH	396	266	323
AlCl <sub>3</sub>	351	269	396–303
AlCl <sub>3</sub> +HCl	349	275	396–303
NaOAc	382	275	304
NaOAc+H <sub>3</sub> BO <sub>3</sub>	360	269	364–303
NaOH بعد 5 دقائق	مستقر	:	

## الجدول 2: مطيافية الأشعة فوق البنفسجية-المرئية

اللون الأسود تحت الأشعة فوق البنفسجية وطول العصابة (I) في الميثanol عند  $\lambda_1 = 354 \text{ nm}$

يدلان على أن المركب عبارة عن فلافونول مع OR-3 (أي عدم وجود OH حر في الموضع 3).

قيم ثابت الاحتباس ( $R_f$ ) تدل على أن المركب هو جلوكوزيدي احادي السكر.

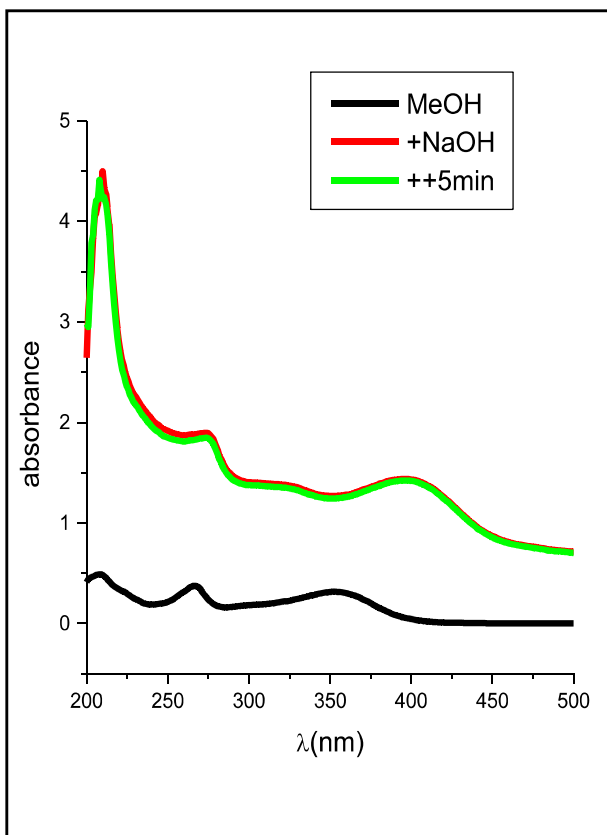
بمقارنة الطيف المسجل في هيدروكسيد الصوديوم مع الطيف المسجل في الميثanol نجد أن إزاحة باشوكروميه للحزمة (I) بـ +42 نم مع زيادة في الشدة دلالة على وجود هيدروكسيل حر في الموضع 4° ، مع ظهور حزمة جديدة عند 323نم دلالة على وجود هيدروكسيل حر في الموضع 7 مؤكدا بالانزياح الباثوكروممي للعصابة II +9 نم في NaOAC بالنسبة للمركب الميثانولي. ، واستقرار طيف NaOH يؤكّد غياب OH حر في الموضع 3 .

الإزاحة الباثوكروميه بـ +45 نم المترتبة عن مقارنة طيف AlCl<sub>3</sub>+HCl بـ MeOH دليل على وجود OH حر في الموضع 5.

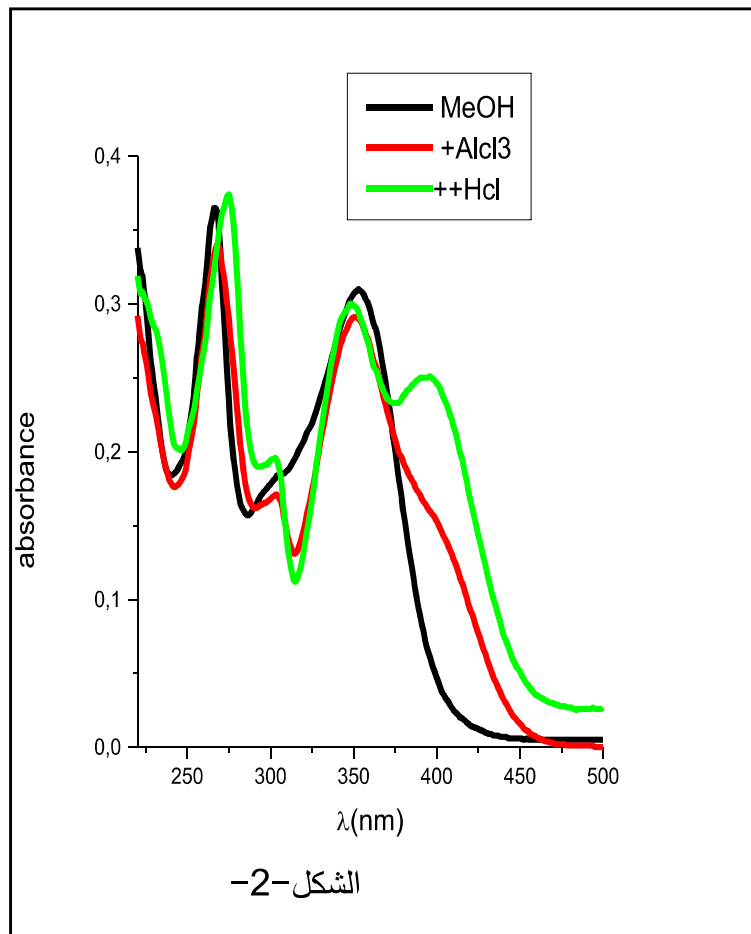
الإزاحة الهيبسوكروميه للعصابة (I) بـ -2نм المترتبة عن مقارنة طيف AlCl<sub>3</sub> بـ AlCl<sub>3</sub>+HCl دليل على عدم وجود نظام أرتو ثنائي هيدروكسيل في الحلقة B .

الطيف المسجل في NaOAc+H<sub>3</sub>BO<sub>3</sub> يشير إلى عدم وجود أورثو ثنائي الهيدروكسيل على الحلقة A أو الحلقة B و هي نفس الملاحظات المأخوذة من طيف المسجل في AlCl<sub>3</sub>+HCl

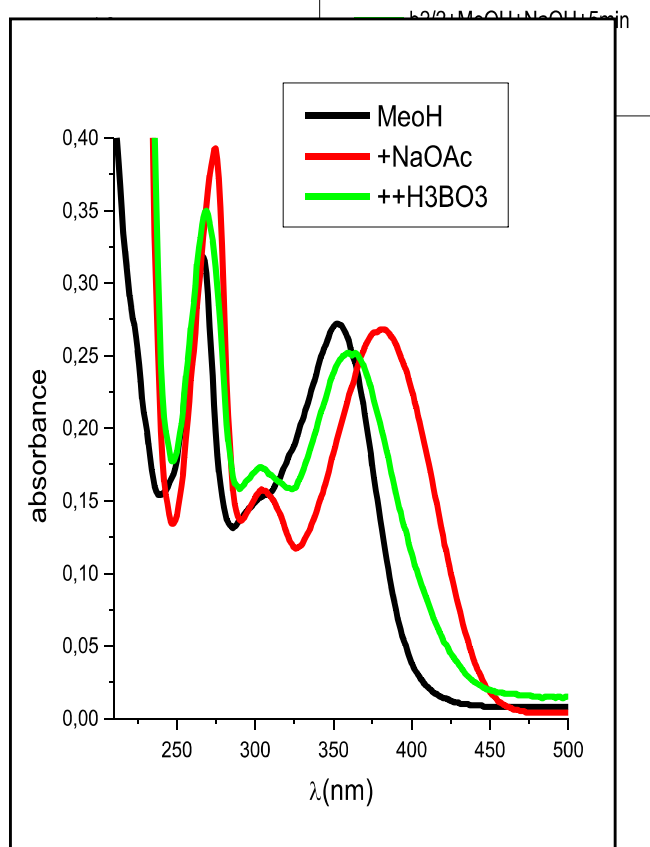
### سلسلة أطیاف UV للمرکب $B_2$ في مختلف الكواشف



الشكل -1-

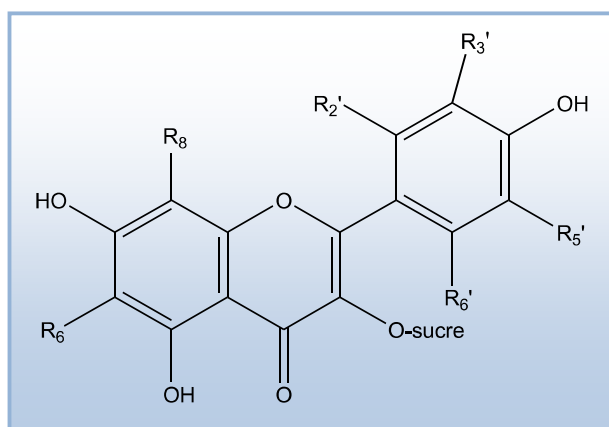


الشكل -2-



الشكل -3-

✓ من هذه المعطيات يمكننا أن نعطي بنية أولية للمرکب  $B_2$  وهي كالتالي :



الشكل -4-

### IV-1--3- مطيافية الرنين النووي المغناطيسي للبروتون $^1\text{H}$ :RMN- $^1\text{H}$

تلخص نتائج طيف الرنين النووي المغناطيسي  $^1\text{H}$  (CD<sub>3</sub>OD, 250MHz ) RMN- $^1\text{H}$ ). في الجدول التالي:

البروتون المواقف	ثابت التزاوج $J$ (Hz)	التعددية	التكامل	الإزاحة الكيميائية $\delta$ (ppm)
H <sub>6</sub>	2,1	<i>d</i>	H1	6,18
H <sub>8</sub>	2,1	<i>d</i>	H1	6,33
H <sub>3'.H<sub>5'</sub></sub>	9,0	<i>d</i>	H2	6,90
H <sub>2'.H<sub>6'</sub></sub>	8,9	<i>d</i>	H2	8,30
H <sub>1''</sub>	6,9	<i>d</i>	H1	5,20
بروتونات السكر		<i>m</i>		3,40-5,20

### الجدول (3) : مطيافية الرنين النووي المغناطيسي للبروتون للمركب $\text{B}_2$ (RMN- $^1\text{H}$ )

يبين طيف الرنين النووي المغناطيسي للبروتون RMN- $^1\text{H}$  (للطيف-1-) الذي دونت نتائجه في الجدول

- 3 -

► وجود إشارتين شائيتين ( $d(J = 2,0\text{Hz})$  بتكامل 1H لكل منها عند  $\delta = 6,18\text{ppm}$  و

$\delta = 6,33\text{ ppm}$  هي إزاحة خاصة ببروتونات الحلقة A لذا يمكن نسبتها إلى كل من H<sub>6</sub> و

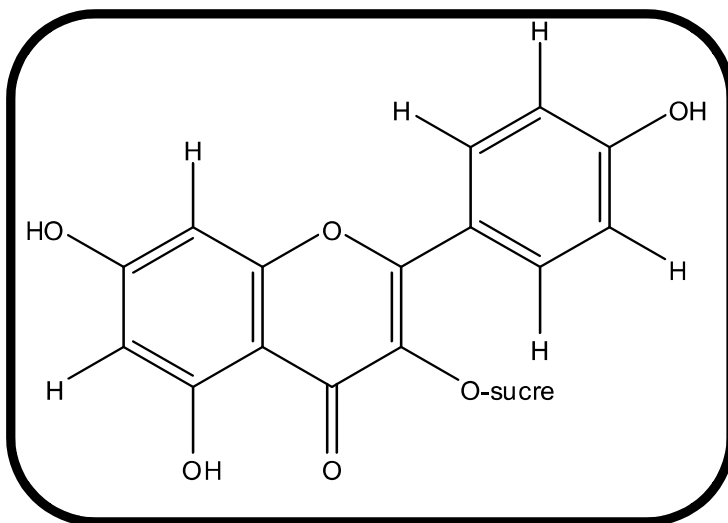
على الترتيب و ذلك تأكيدا لمعطيات مطيافية الأشعة فوق البنفسجية (UV).

► وجود إشارة ثنائية بتكامل 2H عند  $\delta = 6,90\text{ppm}$  بثابت تزاوج ( $d(J = 2,0\text{Hz})$  يمكن نسبتها إلى البروتونين H<sub>3'</sub> و H<sub>5'</sub>

► كما يبين نفس الطيف وجود إشارة ثنائية ( $d(J = 8,9\text{Hz})$  بتكامل 2H عند  $\delta = 8,30\text{ppm}$  يمكن نسبتها إلى البروتونين H<sub>6'</sub> و H<sub>2'</sub>

► و نلاحظ وجود إشارة ثنائية ( $d(J = 6,9\text{Hz})$  بتكامل 1H عند  $\delta = 5,20\text{ppm}$  و هي إزاحة خاصة بالبروتون الانوميري للسكر H<sub>1''</sub>.

من كل المعطيات الطيفية السابقة ( $\text{RMN}^1\text{H}$ , UV) يمكن ان نخلص إلى أن المركب  $\text{B}_2$  هو عبارة عن:



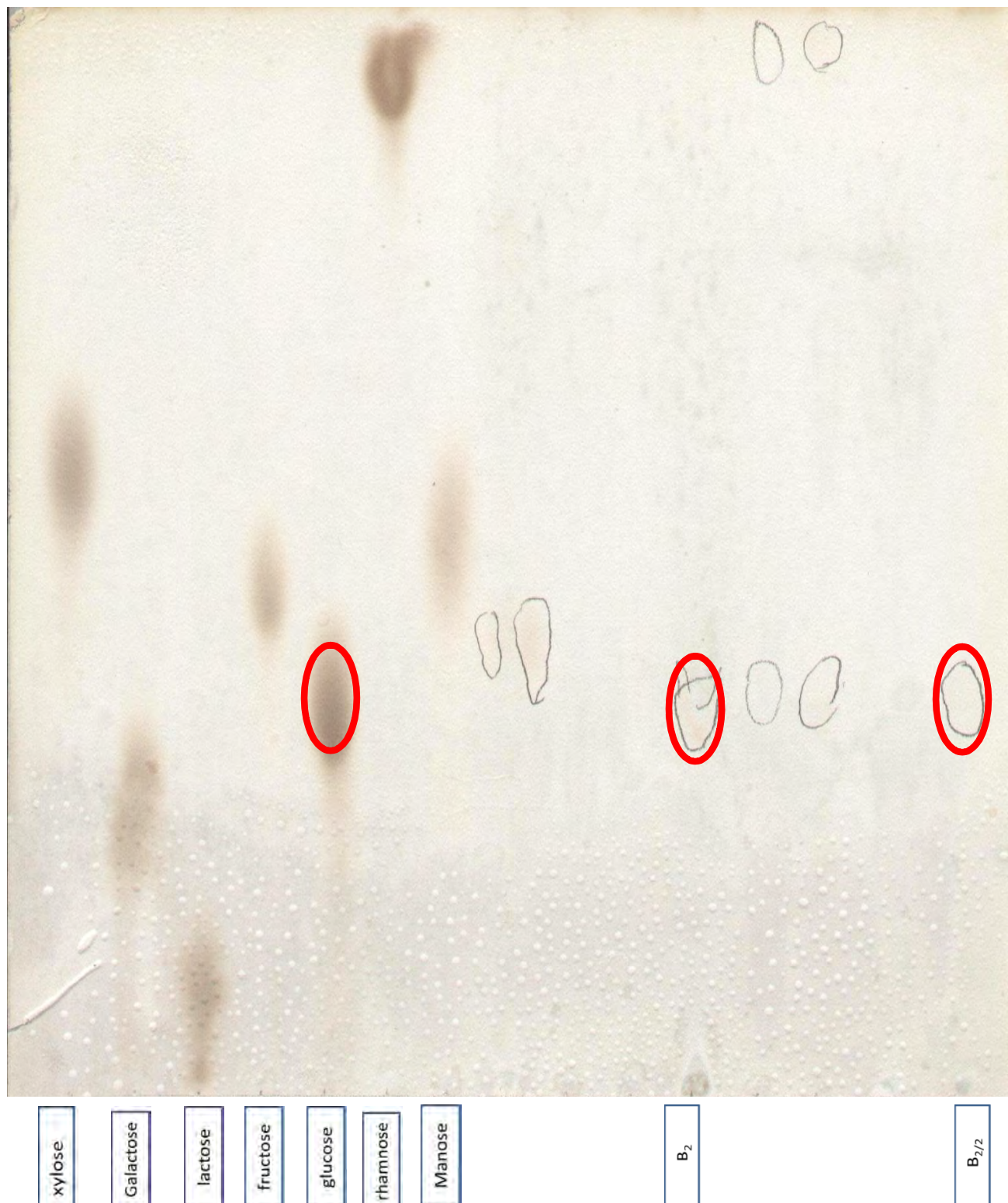
الشكل-5-

ولمعرفة نوع السكر قمنا بعملية الحلمهة الحمضية وقارنا الشق السكري لـ:

$\text{B}_2$  بعدة شواهد سكرية فوجدنا أنه يماثل شاهد  $D$ -glucose كما هو موضح في الصورة 1- ونظرا

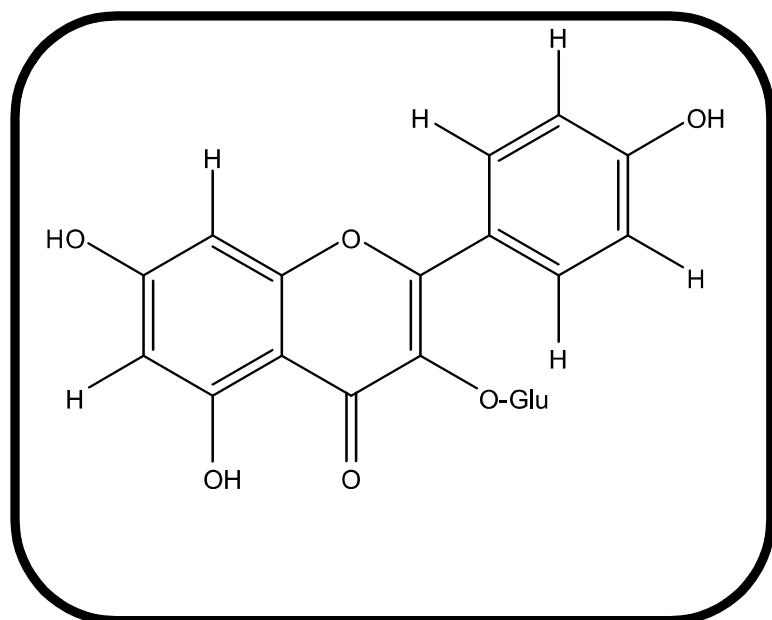
لثابت تزوج البروتون الأنوميري ( $J = 6,98\text{Hz}$ ) يمكن ان نقول ان السكر هو  $\beta-D$ -glucose

وتأكدنا لموقع ارتباط السكر قمنا بتسجيل طيف UV للشق الأجلكوني الذي أصبح لونه الأشتعاعي اصفر فتأكدنا أن الموقع 3 أصبح به OH حر.



الصورة-1- كروماتوغرام السكريات المفصولة من المركبات مقارنة مع شواهد سكرية معروفة

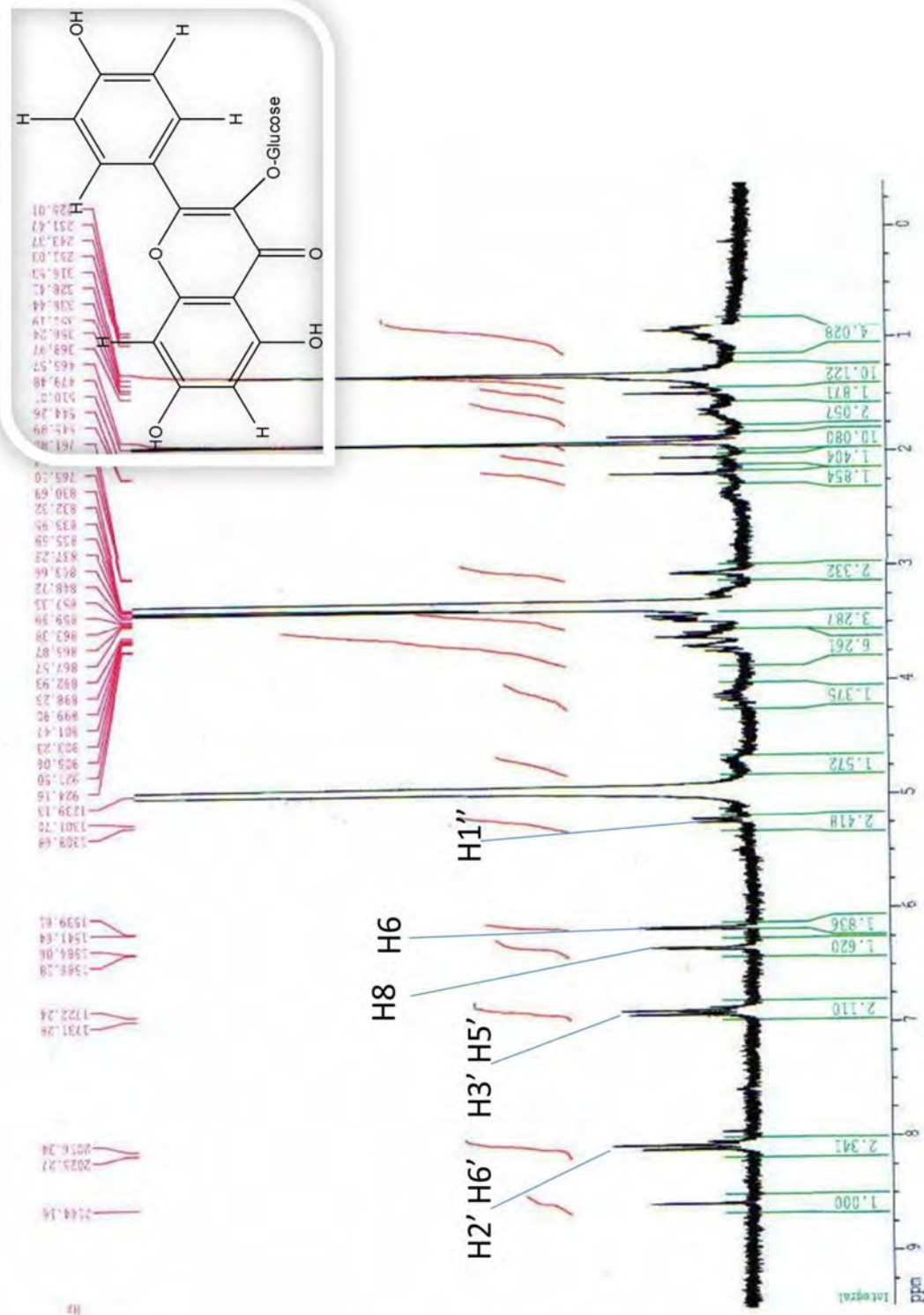
إذن البنية النهائية للمركب  $B_2$  هي



الشكل-6-

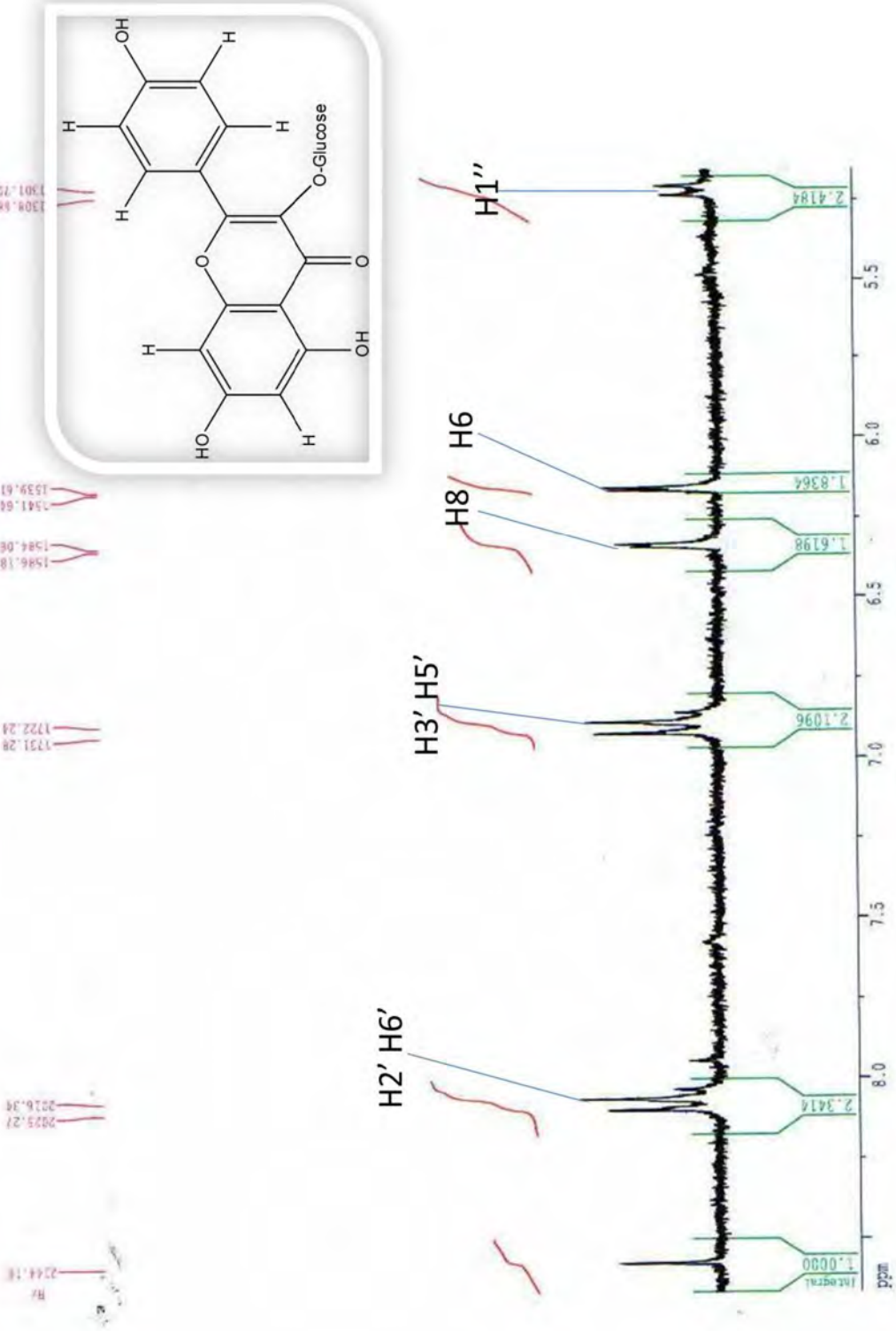
$3-O-\beta-D\text{-glucosyl kaempférol}$

Spectre proton : ECH: SBBAT06



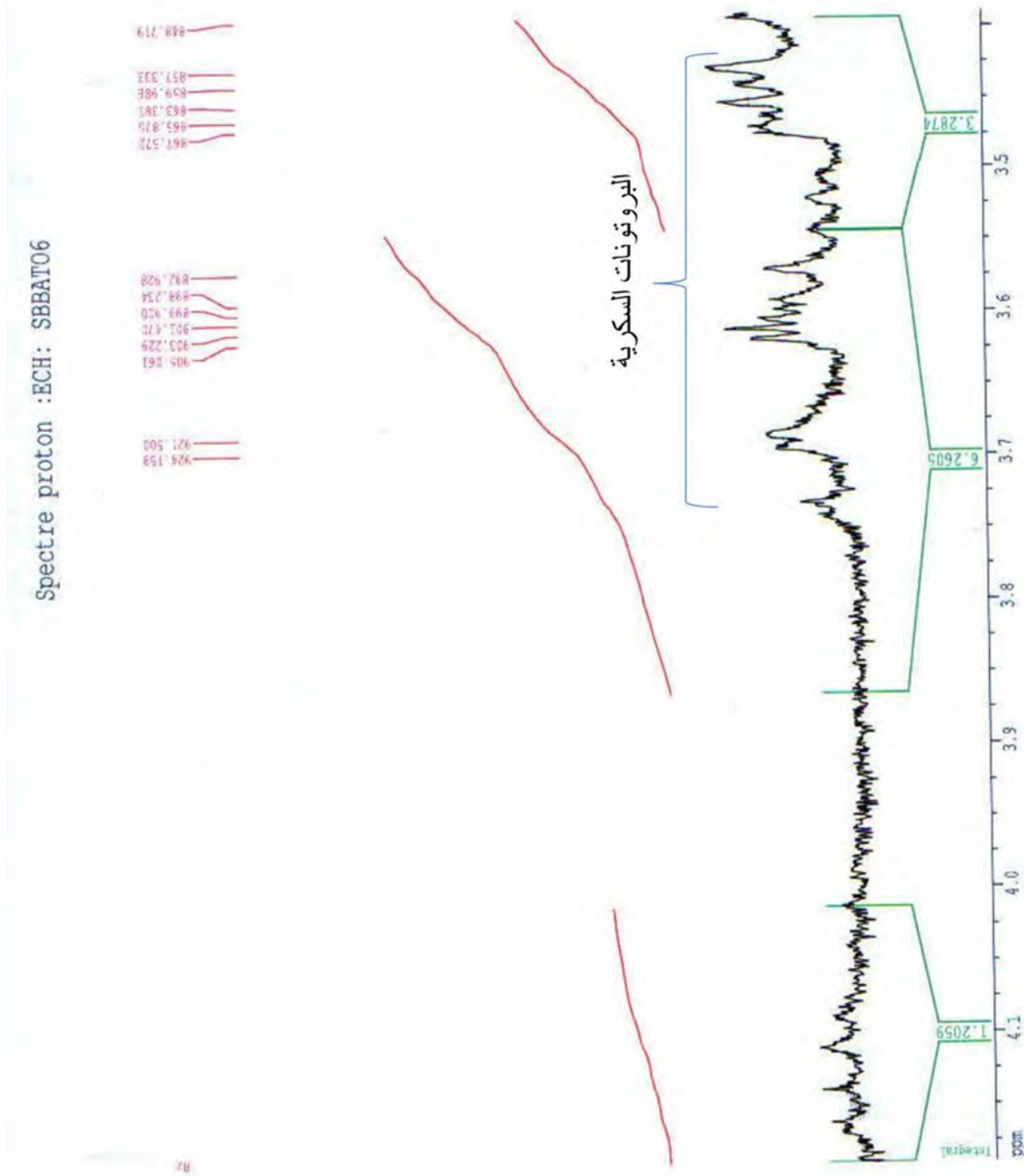
الشكل-7:- طيف الرنين النووي المغناطيسي للبروتون لمركب  $B_2(CD_3OD)$

Spectre proton : ECH: SBBATO6



الشكل-8-:تمديد طيف  $^1\text{H}$  RMN للمركب  $\text{B}_2$  في المجال 8-5 ppm

Spectre proton : ECH: SBBATO6



الشكل-9:- تمديد طيف  $\text{H}^1$  RMN لبروتونات المستبدل السكري للمركب  $\text{B}_2$  في المجال 4.25-3 ppm

## IV-2 التحليل البنوي للمركب : $B_{2/2}$

### 2-1 سلوكه الكروماتوغرافي:

توضح قيم معامل الاحتباس في الجدول (4).

SII	SI	الجملة
31	19	$R_f \times 100$
اسود بنفسجي		اللون الإستشعاعي

### الجدول (4) : السلوك الكروماتوغرافي

SI : Toluène/MEC/MeOH (4 / 3 / 3 )

SII : H<sub>2</sub>O/MeOH/MEC/Acétyl acétone (13 / 3 / 3 / 1 )

## IV-2-2 - مطابقة الأشعة فوق البنفسجية (UV):

مطابقة الأشعة فوق البنفسجية الخاصة بالمركب  $B_{2/2}$  موضحة بالجدول -5-

(nm) قمم	(nm) II العصابة	(nm) I العصابة	الكافاف
	258	358	MeOH
329	272	408	NaOH
406-305	267	360	AlCl <sub>3</sub>
426-305	264	369	AlCl <sub>3</sub> +HCl
301	264	360	NaOAc
301	261	378	NaOAc+H <sub>3</sub> BO <sub>3</sub>
مستقر	بعد 5 دقائق	NaOH	

### الجدول 5: مطابقة الأشعة فوق البنفسجية-المريمية

اللون البنفسجي تحت الأشعة فوق البنفسجية وطول العصابة (I) في الميثانول عند  $\lambda_I = 358 \text{ nm}$

يدلان على المركب عبارة عن فلاونول مع  $3\text{-OR}$  أي عدم وجود OH حر في الموضع 3.

قيم ثابت الاحتباس ( $R_f$ ) تدل على أن المركب هو جلوكوزيدي أحادي السكر.

- الإزاحة الباثوكروميه بـ:  $\Delta\lambda_I (\text{NaOH} / \text{MeOH}) = +50 \text{ nm}$  تدل على وجود OH حر في

الموضع 4، و استقرار طيف NaOH يؤكد غياب OH حر في الموضع 3.

- الإزاحة الباثوكروميه بـ:  $\Delta\lambda_I (\text{AlCl}_3 + \text{HCl} / \text{MeOH}) = +51 \text{ nm}$  دليل على وجود OH

حر في الموضع 5.

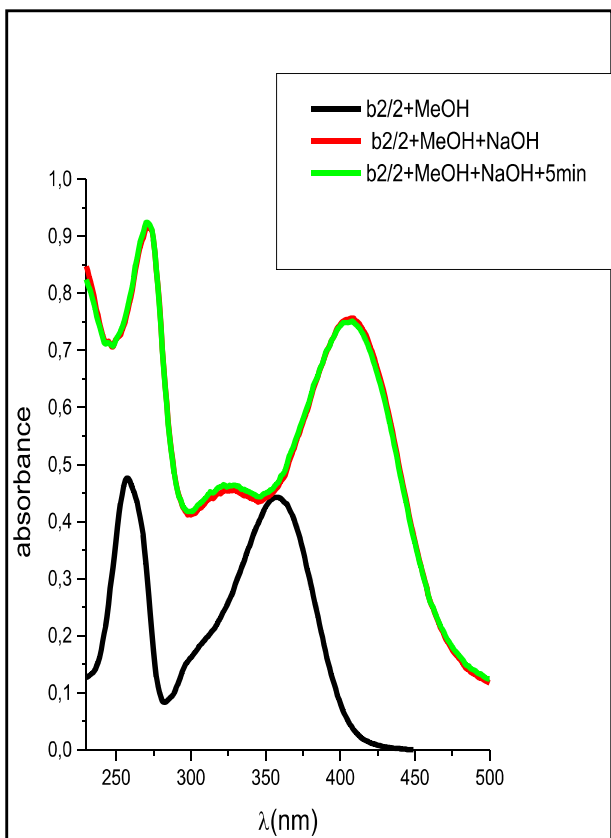
- ظهر قمة جديدة عند  $329 \text{ nm}$  دليل على وجود OH حر في الموضع 7 في طيف NaOH.

تؤكده الإزاحة الباثوكروميه بـ:  $\Delta\lambda_{II} (\text{NaOAc} / \text{MeOH}) = +43 \text{ nm}$ .

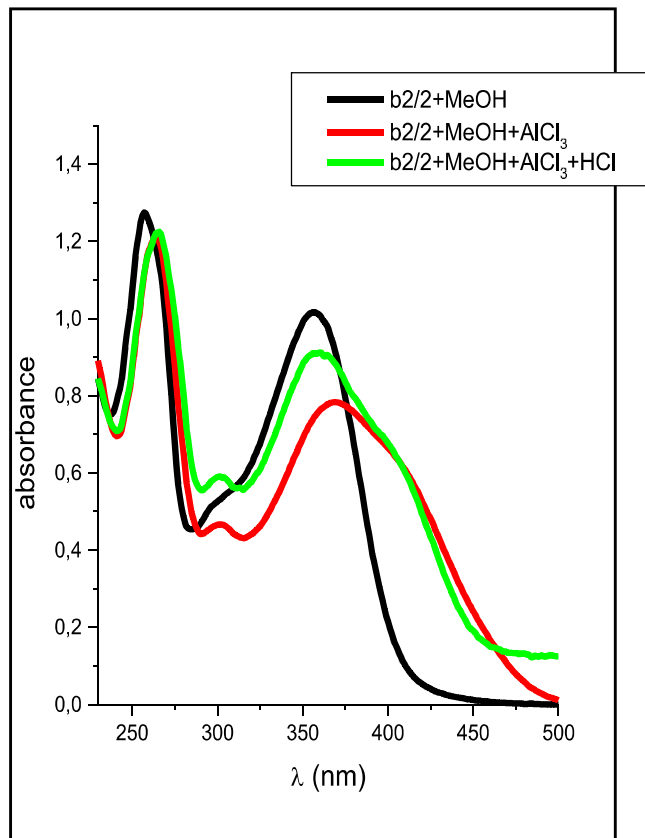
- الإزاحة الباثوكروميه بـ: دليل على وجود أورثو ثانئي  $\Delta\lambda_I \text{ NaOAc} + \text{H}_3\text{BO}_3 = +18 \text{ nm}$

الهيدروكسيل على الحلقة B أي الموضع 3' به OH حر.

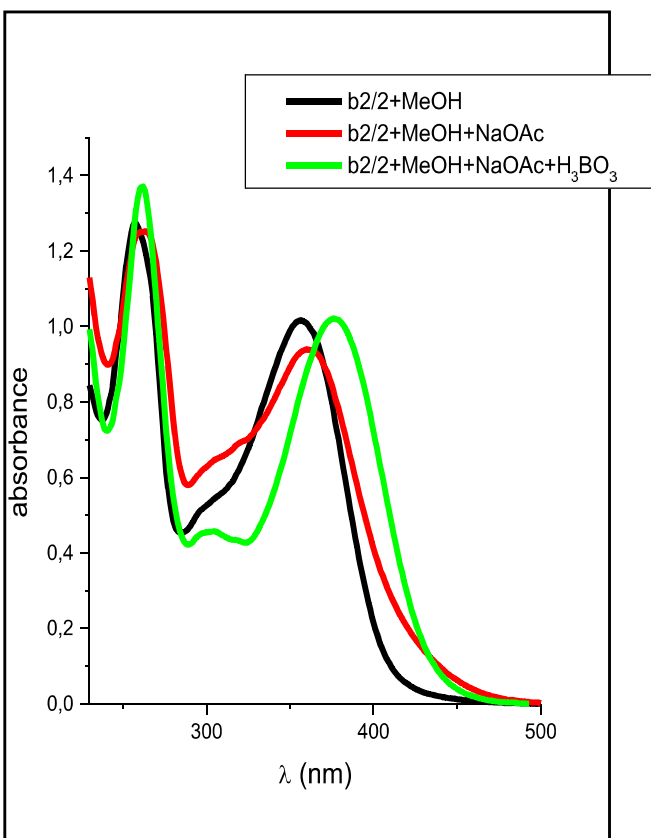
سلسلة أطباقي UV للمركب  $B_{2/2}$  في مختلف الكواشف



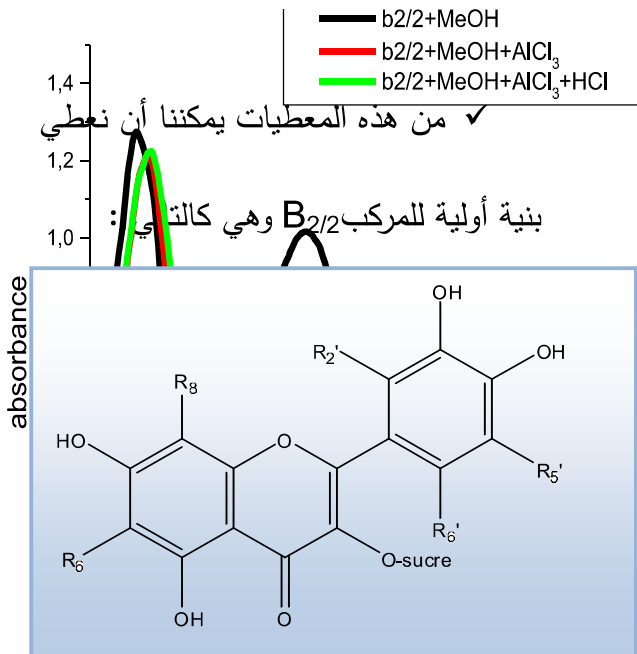
-10-



-11-



-12-



-13-

### IV.-2.-3- مطابقة الرنين النووي المغناطيسي للبروتون $\text{RMN}-^1\text{H}$

تلخص نتائج طيف-2- الرنين النووي المغناطيسي  $\text{RMN}-^1\text{H}$  ( $\text{CD}_3\text{OD}$ , 250MHz). في الجدول التالي:

البروتون الموقوف	ثابت التزاوج $J(\text{Hz})$	التعددية	التكامل	الإزاحة الكيميائية $\delta(\text{ppm})$
$\text{H}_6$	1,6	$d$	H1	6,2
$\text{H}_8$	-	$s l$	H1	6,40
$\text{H}_5'$	8,2	$d$	1H	6,92
$\cdot\text{H}_6'$	8,2-2,1	$dd$	1H	7,63
$\text{H}_2'$	2,1	$d$	H1	7,68
$\text{H}''_1$	7,3	$d$	H1	5,15
بروتونات السكر		$m$		5,15-3,40

### الجدول (6) : مطابقة الرنين النووي المغناطيسي للبروتون للمركب $\text{B}_{2/2}$

يبين طيف الرنين النووي المغناطيسي للبروتون  $\text{RMN}-^1\text{H}$  (للطيف-2-) الذي دونت نتائجه في الجدول

-6-

► وجود إشارة ثنائية ( $J = 2,1\text{Hz}$ ) بتكامل 1H عند الإزاحة الكيميائية  $\delta = 6,20\text{ppm}$  و هي

خاصة بالبروتون  $\text{H}_6$

► وجود إشارة أحادية عريضة  $l s$  بتكامل 1H عند  $\delta = 6,4\text{ppm}$  يمكن نسبتها إلى البروتون  $\text{H}_8$

► كما يبين نفس الطيف وجود إشارة ثنائية ( $J = 8,2\text{Hz}$ ) بتكامل 1H عند  $\delta = 6,92\text{ppm}$  و

يمكن نسبتها إلى البروتون  $\text{H}_5'$

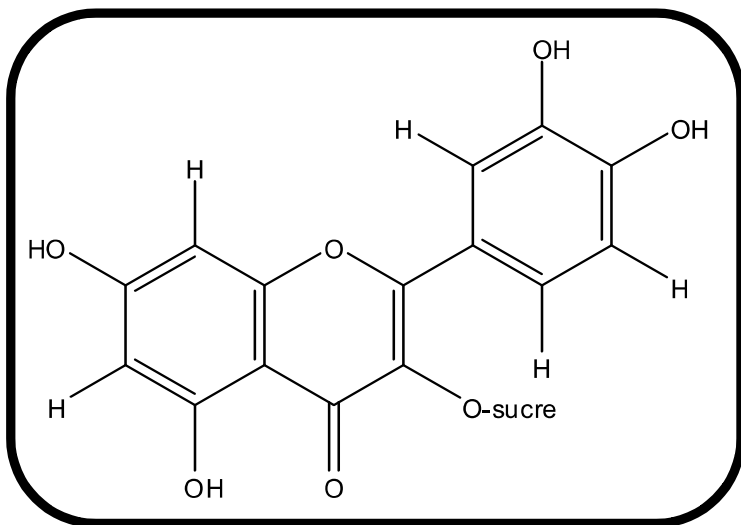
► و نلاحظ وجود إشارة ثنائي ثبائي ( $dd(J = 8,2, J = 2,1\text{Hz})$ ) بتكامل 1H عند

$\delta = 7,63\text{ppm}$  و هي إزاحة خاصة بالبروتون  $\text{H}_6$ .

➤ كما نلاحظ إشارة ثنائية ( $\delta = 7,68\text{ppm}$  بتكامل  $1\text{H}$  عند  $d(J = 2,1\text{Hz})$ ) خاصة بالبروتون  $H_2$

➤ و نلاحظ وجود إشارة ثنائية ( $\delta = 5,15\text{ppm}$  بتكامل  $1\text{H}$  عند  $d(J = 7,38\text{Hz})$ ) و هي إزاحة خاصة بالبروتون الأنوميري للسكر "H<sub>1'</sub>".

من كل المعطيات الطيفية السابقة ( $\text{RMN}^1\text{H}$ ,  $\text{UV}$ ) يمكن ان نخلص إلى أن المركب  $B_{2/2}$  هو عبارة عن:



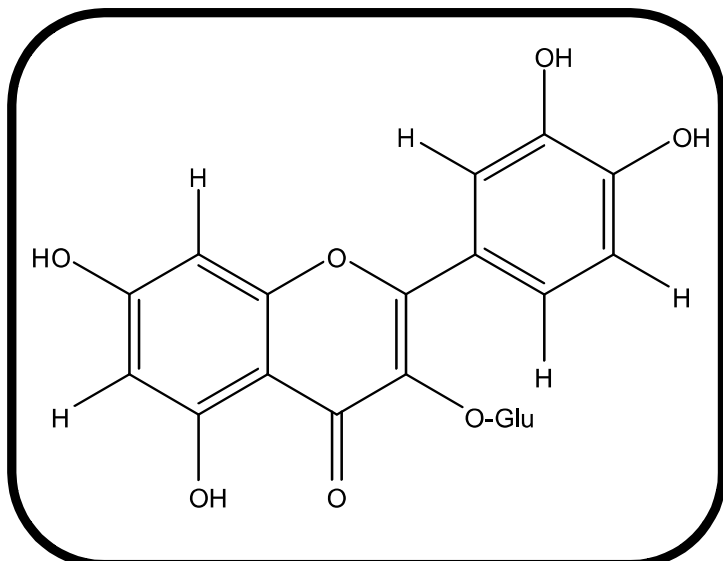
-14- الشكل

ولمعرفة نوع السكر قمنا بعملية الحلمهة الحمضية وقارنا الشق السكري له:

بعدة شواهد سكرية فوجدنا أنه يماثل شاهد  $D$ -glucose كما هو موضح في الصورة-1- ونظرا لثابت تزاوج البروتون الأنوميري ( $J = 7,38\text{Hz}$ ) يمكن ان نقول ان السكر هو  $\beta-D$  glucose  $B_{2/2}$

وتؤكدنا لموقع ارتباط السكر قمنا بتسجيل طيف UV للشق الأجلوني الذي أصبح لونه الأستشعاعي اصفر فتأكدنا ان الموقع 3 أصبح به OH حر.

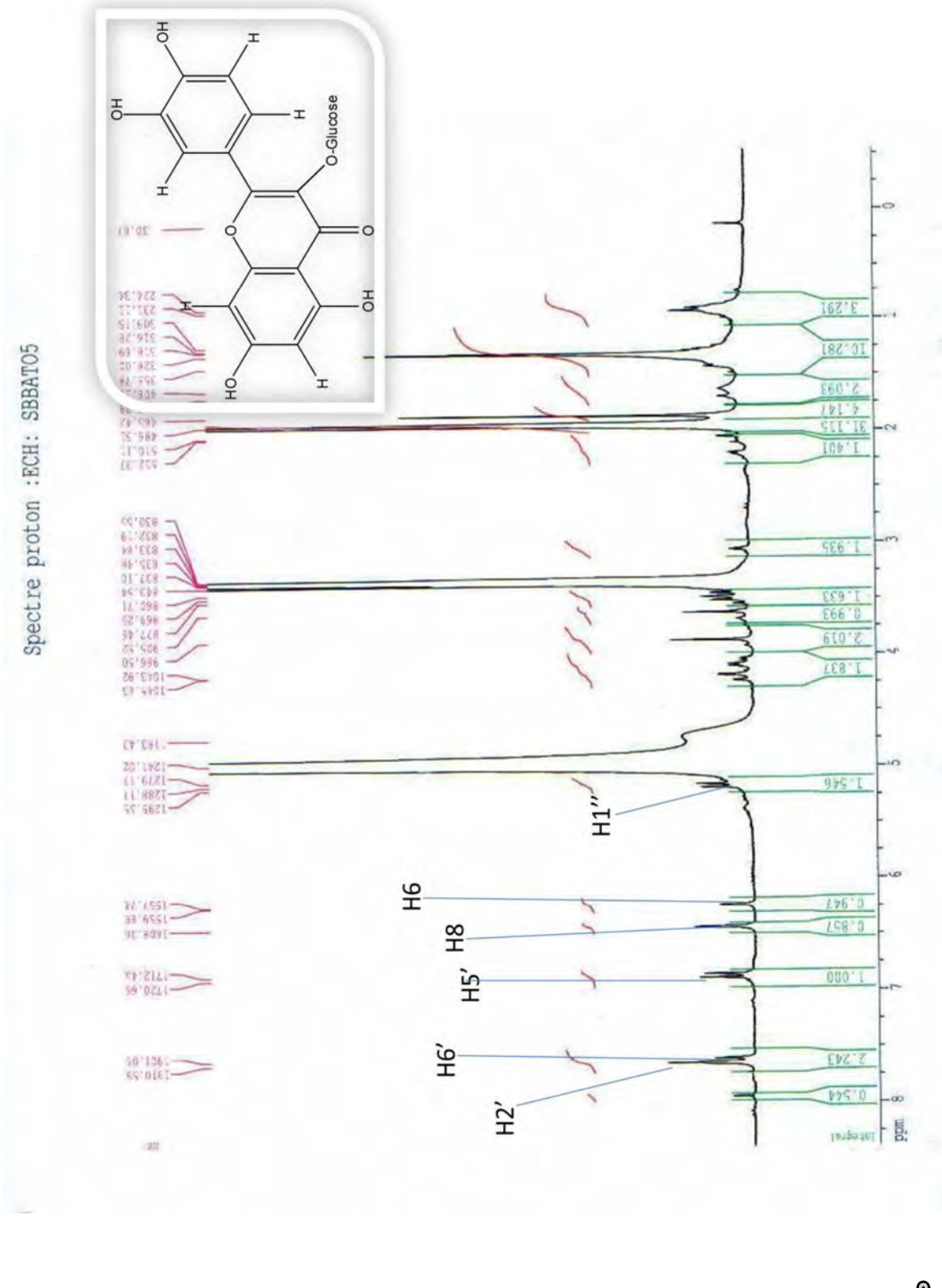
إذن البنية النهائية للمركب  $B_{2/2}$  هي:



*3-O-β-D- glucosyl quercetine*

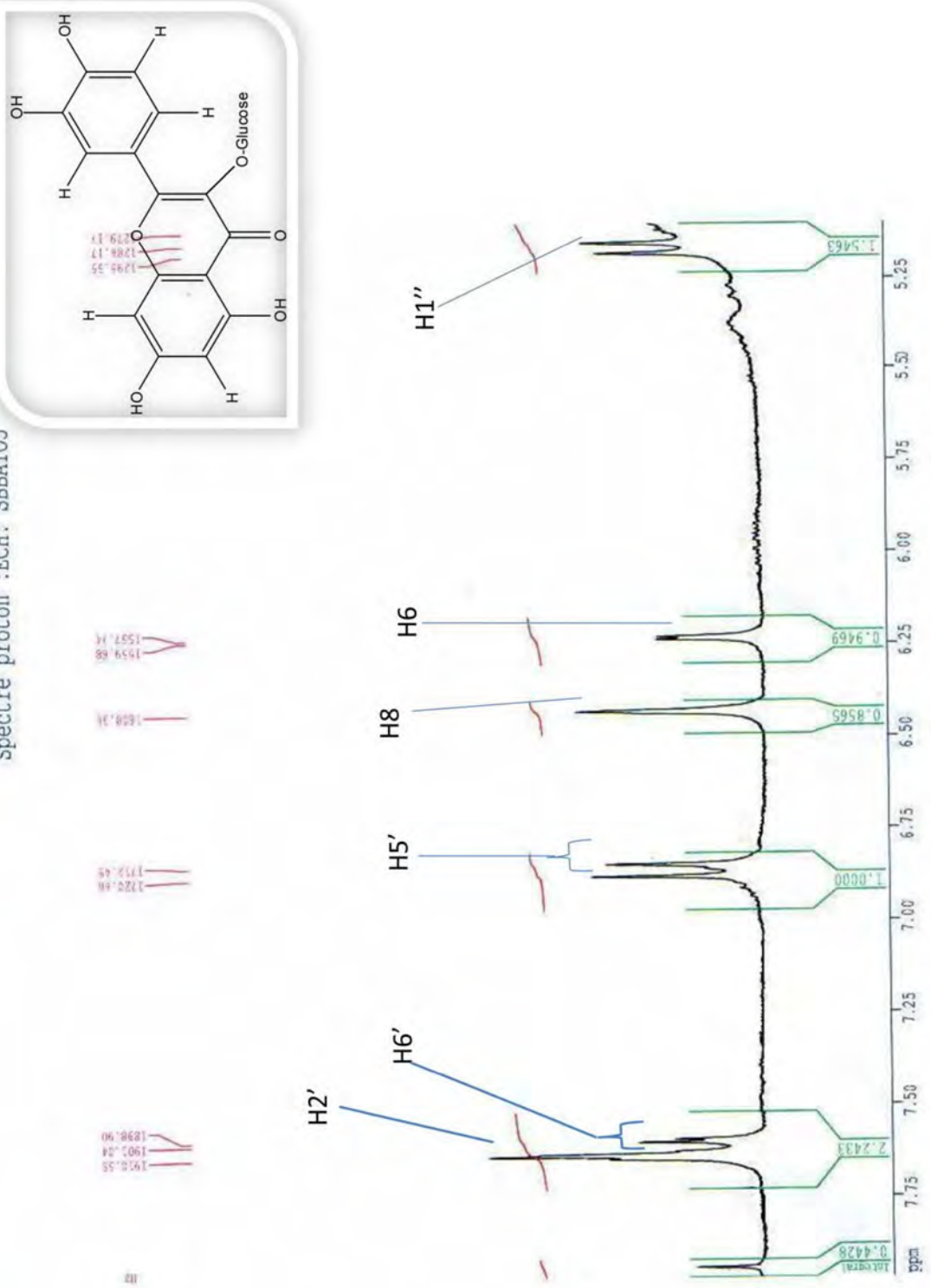
-الشكل-15-

Spectre proton : ECH: SBBAT05



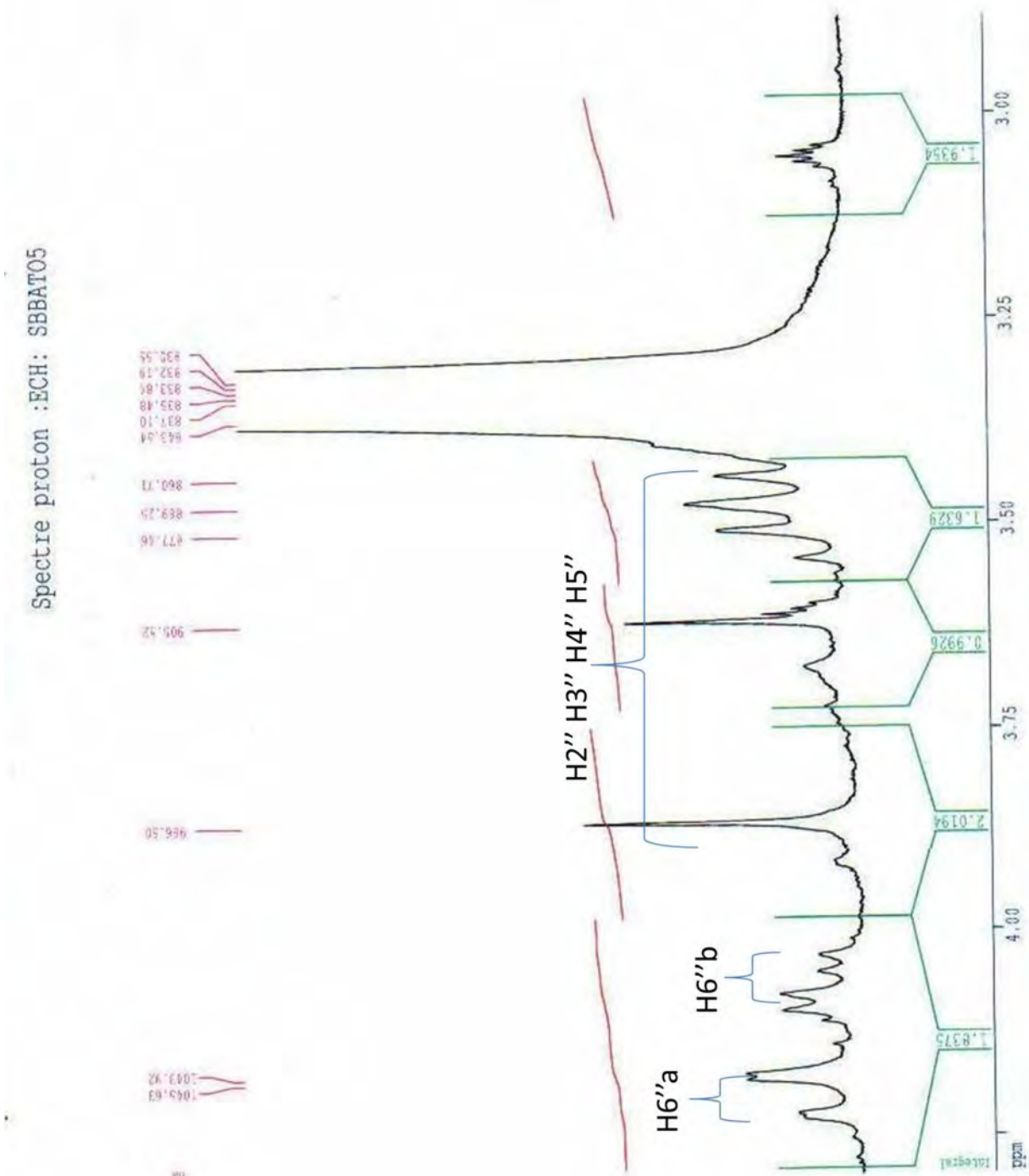
الشكل-16:- طيف الرنين النووي المغناطيسي للبروتون للكرب (CD<sub>3</sub>OD) B<sub>2/2</sub>

Spectre proton : ECH: SBBAT05



الشكل-17:- تمديد طيف  $^1\text{H}$  RMN للمركب  $\text{B}_{2/2}$  في المجال 8-5 ppm

Spectre proton : ECH: SBBAT05



الشكل-18:- تمديد طيف  $^1\text{H}$  RMN للمركب  $\text{B}_{2/2}$  لبروتونات المستبدل السكري  
للمركب  $\text{B}_{2/2}$  في المجال 4.25-3 ppm

## الخاتمة

إن الغاية الرئيسية من هذا البحث هي التعرف على نواتج الأيض الثانوي من الطور  
خلات الإيثيل لنبات *Mentha arvensis*

خلال إنجازنا لهذا البحث قمنا بدراسة ببليوغرافية عن الفلافونويدات، و عن  
الطرق المستخدمة في فصل و تنقية هذه المركبات و الطرق الفيزيو كميادية لتحديد  
بنيتها.

اتبعنا في عملية الفصل جملة من الخطوات ابتدءا من الاستخلاص يليه فصل أولى  
بواسطة الطبقة الرقيقة التحضيرية بعدها القيام بعملية الفصل باستخدام  
كروماتوغرافيا العمود

من أجل التحديد البنوي للمركبات استخدمنا مطيافية الأشعة فوق البنفسجية و  
مطيافية الرنين النووي المغناطيسي.

و قد تم فصل ثلاثة مركبات فلافونيدية و تحديد مركبين فلافونيديين هما :

- ❖ 3-*O*- $\beta$ -D-glucosyl kaempferol
- ❖ 3-*O*- $\beta$ -D-glucosyl quercetine

## المراجع

- [1]- Cooper, E. (2004). Drug discovery,CAM and natural products, Evid. based complement altern. med.1, 215-217.
- [2]- Tsao, G.C.I., Zeltzer, L.K., (2005). Complementary and alternative medicine approaches for pediatric pain, a review of the state-of-the-science, Evid. based complement altern med.2.149-159.
- [3]- Bensky, D., Gamble, A. (1993). Chinese herbal medicine, material medica, Revised edition, seattle, W.A., Eastland press, Inc. 13-17.
- [4]- Farnsworth, N.R. and Morris, R.W. (1976). Higher plants-the sleeping giant of drug development, Am. J. pharm. Sci. support public health. 148,46-52.
- [5]- Mills, S.Y.( 2002) « ESCOP Research Committee and European Phytotherapy Research Group ». The European Phytojournal, Issue 2.
- [6]- Herbalism, W.)2001(« Clinical Reference, Integrative Medicine Communications ».  
[www.OneMedicine.com](http://www.OneMedicine.com).
- [7]- Newman and all.( 2003). J.Nat.Prod.
- [8]- Tulkens, P. « Les plantes : Découverte des médicaments par criblage de sources naturelles et ethnopharmacologie ».
- [9]- Ozenda, P. (1962), Flore du Sahara. Ed. CNRS, PARIS France.
- [10]- Harborne, J. B. (1989). The flavonoids, advances in research since 1980, eds. Chapman and Hall, New York.
- [11]- Harborne, J.B. (1975). Progress in phytochemistry, V. 5, eds. Swin, T, Pregamon press. Oxford.
- [12]- Melcent, R. (2003). Chimie organique hétérocyclique, eds, EDP sciences.
- [13]- Wollenweber, E., Dietz, V. H. (1980). Biochem. Syst & Ecol. 2, 21.

- [14]-Swaint, T. (1982). chemistry and biochemistry of plant pigmens, T. W. Goodwin, ed, Academic press, New York.
- [15]- Guignard, J.L., Cosson, L., henzy, M.J. (1985). Abrégé de phytochimie, Paris, New york, Barcelone.
- [16]-Satyajit, D.(2007). Chemistry for Pharmacy Students, John Wiley & Sons Ltd, England.
- [17]- Robinson, R. (1936). Nature. 137, 1172.
- [18]- Davis, B. D. (1955). Advanceda in Enzymology. 16, 227.
- [19] Harborne, J. B. (1975). The flavonoids, V.2, eds Chapman and Hall, London.
- [20]- Pitshke, L., Grisebach, H. Y. (1965). Naturforsch. 20b, 1039-1042
- [21]- Grisebash, H., Barz, W. (1969). Naturwiss, 56, 538-544
- [22]- Harborne, J.B. (1964). Biochemistry of phenolcs compounds Academic press, New York.
- [23]- Richtre, G. (1993), «Métabolisme des végétaux» (physiologies et biochimie). Presses polytechniques et universitaires romandes, Lausanne.
- [24]- Ribereau-Gayou, J.B. (1968), «The phenolic compounds of vegetals», Dundo, Paris.
- [25]- Jurd, L . (1962). The chemistry of flavonoid compounds. Geissman, Peragmon press, New- York
- [26]- Gayon, P. R., (1968). Les composés phénoliques des végétaux, eds, Dunod, Paris
- [27]- Nazemiyeh,H ., Shoeb, M., Movahhedin ,N ., Kumarasamy ,Y., Talebpour A.H., Delazar,  
A.,Lutfun, N., Satyajit ,D. Sarker .(2000).Biochem. Syst. And. Ecol, 34 , 721-723
- [28]- Jay, M.(1983). Z.Naturforsch, 38c, 413.
- [29]- Harborne, J.B. (1967). Comparative biochemistry of the flavonoids.
- [30]- Harborne, J. B. (1980). The flavonoids,.Academic press. London.
- [31]- Docencia.udea.edu.co/~farmacogfit/Flavonoides/D\_main.html - 3k
- [32]- MARFAK, A.G. (2003). Thèse de doctorat , Université de Limoges.
- [33]- Mc.Lure, J.W. (1975) In « Physiology and Fonction of flavonoids» (Harborne, J.B. eds)

- Chapman and Hall. London, 970-1055.
- [34]- Wollenweber, E., Dietz, V.H. (1980). Biochemical Systematicsv and ecology. 8, 21.
- [35]- Halliwell, B.( 1994). Nutr. Rev. 52, 253-265
- [36]- Pietta, P. G.( 2000). J. Nat. Prod. 63, 1035-1042
- [37]- Dugas, A. J., Castaneda-Acosta, J., Bonin, G. C., Price, K. L., Fischer, N.H, Winston, G.W.( 2000). J. Nat .Prod. 63: 327-31.
- [38]- Van Acker, S.A.B.E., van den Berg, D.J., Tromp, M.N.J.L., Griffioen, D.H., van Bennekom, W.P., van der Vijgh, W.J.F., Bast, A. (1996). Free Rad. Biol. Med. 20, 331-342.
- [39]- Ferraro, G. E. (1983). Acta farm. Bonaerense, 2, 97-103.
- [40]- Middleton, E. J. R., Kandaswamir, C. (1992). Biochem. Pharmacol. 43,1167.
- [41]- Elber, G., Wanger, H. (1992). Planta med. 57, 137.
- [42]- Ruzicka, L. (1959). Proc. Chem. Soc, 541.
- [43]- Bruneton, J. (1997). Pharmacognosie et phytochimie des plantes medicinales, eds Technique et documentation, Paris, 3<sup>ème</sup> edition, Lavoisier.
- [44]- Bruneton, J. (1993). Pharmacognosie et phytochimie des plantes medicinales, eds Technique et documentation, Paris, 2<sup>ème</sup> edition, Lavoisier.
- [45]- Arnold, J. V., Roger, A. (1985). Advances in medicinal plant research, eds, Wissenschaft liche vrls gesellschaft mbh, Stuttgart.
- [46]- Hanasaki, Y., Ogawa, S., Fukui, S.(1994). Free Radic. Biol. Med. 16, 845-850.
- [47]- Cos, P., Ying, L., Calomme, M., Hu, J.P.,Cimanga, K., Van-Poel, B., Pieters, L., Vlietinck, A.J., Vanden Berghe, D.(1998). J. Nat. Prod. 61, 71-76.
- [48]- Hollman, P.C.H., Hertog, M.G.L., Katan, M.B. (1996), Food Chem. 57, 43-46.
- [49]- Wang, J., Mazza G. (2002), J. Agric. Food Chem. 50, 4183-4189.
- [50]- Samejima, K., Kanazawa, K. Ashida, H. Danno, G. (1995), Journal of Agricultural and Food Chemistry, 43, 410-414.
- [51]- Abd Elchakour, A. S. (1987). Chimie organique moderne et pratique. Université du Roi Abd Elaziz, Djedda, 173.

- [52]- Anderson, R. A., sowres, J. (1968). phytochemistry, 7, 293.
- [53]- Andersen Øyvind, M., Markham, Kenneth, R. (2006). Flavonoids : chemistry, biochemistry, and applications. CRC Press Taylor & Francis Group.
- [54]- Francisco, A., Tomas-Barberan, F. (1990). High performance liquid chromatography, thin layer chromatography and ultra violet behaviour of flavone aglycone with unsubstituted rings . Phytochemistry. Anal. I, 44.
- [55]- Combier, H., Jay, M., Voirin, B., Lebreton, P.(1974). Influence des 6 et /ou des 8- substitutions sur le comportement spectrométrique et chromatographique des flavonoides. Assemblée annuelle du « Groupe poly- phénols ». Lyon, France.
- [56]- Mabry,T. J., Markham, K. R., Thomas, M.B.(1970). The systematic identification of flavonoids. Springer- Verlag, Berlin
- [57]- Vernin, G. (1970), La chromatographie en couche mince, Techniques et application en chimie organiques, Dunod, Paris.
- [58]- Markham, K.R.(1982). Techniques of flavonoids identification. Academic press. London.
- [59]- Alain, B.(1972). La chromatographic et ses applications. Dunod, Paris.
- [60]- Harborne J.B. (1988).The flavonoids, Advances in research since (1980). Chapman & Hall. London
- [61]- Jurd, L. (1962). The chemistry of flavonoids compounds. Pergamon press, New – York.
- [62]- Jay, M., Gonnet, J. F., Wollenweber, E., Voirin, B. (1975). Phytochemistry, 14, 1605.
- [63]- Voirin, B. (1983). Phytochemistry. 22, 2107
- [64]- Elhazemi, H. (1995). Natural products, eds University of King Saoud.
- [65]- Jurd, L., Horowitz, R. (1962). Spectral properties of flavonoid compounds, pergammon press, Oxford, 107-2055.
- [66]- El hazimi, H. (1995). Natural product, 149-190
- [67]- Harborne, J. B. Swain, T. (1969). Prespectives in phytochemistry. Academic press. London

- [68]- Bacon, J.D., Mabry, T. A. (1976)." Rev. Latinoamer, Quim".UV Spectral procedures for distinguishing free and substituted 7-hydroxyl groups in flavones and flavanols, 7,83-86.
- [69]- Silverstein, R.M., Webster, F.X., Kiemle, D.J. (2007). Identification spectrométrique de composés organiques, ed.2, De Boeck Université.
- [70]- Markham, k. R. ., Geiger, H. (1994). The flavonoids, edited by Harborne, J. B., Chapman and Hall, London.
- [71]- Markham, K.R., Mabry, T.J. (1975). In The flavonoids (Harborne, J.B., Mabry, T.J., Mabry, H.eds), p.45, Chapman and Hall . London.
- [72]- Harowitz, R. M., Gentili, B., (1966). Chem. Ind., Londo, 625.
- [73]- Markham, K. R., Tenai, B., Geiger, H., Mabry, T. J. (1978)" Tetrahedron" Carbon-13 NMR.Studies of flavonoids III., 34,1389-1397.
- [74]- Audier, H. (1966). Etude des composés flavoniques par spectrométrie de masse.
- [75]- Cuyckens, F., Claeys, M. (2004)." Journal of Mass Spectrometry"  
Mass spectrometry in the structural analysis of flavonoids, 39, 1-15.
- [76]- Zararka, T.C. (1994) « Méthodes spectroscopique d'analyse chimique ».O.P.U
- [77]- Markham, R. (1995). Les facteurs anti –nutritionnels (F.A.N) phénoliques de Pisum sativum et de Vicia fabal ( Leguminosae) : Aspects structuraux. Thèse de doctorat, univ. Claude Bernard, Lyon I.
- [78]- Voirin, B. (1970).Thèse de doctorat, université de Lyon.
- [79]- Gonnet, J.F. (1973). A propos de la photographie en couleur de chromatographie sur couches minces en lumière de Wood. J. of cromato. 86, 192
- [80]-Tochio, I., Yuko, S., Hideki, M., chiaki, K. (2002). Biol pharm bull, 25, 256-258.
- [81]-Jäger, A. K., Almqvist, J. P., Vansøe, S. A. K., Stafford, G. I., Adersen, A., Vanstaden, J. (2007). South African journal of botany, 73, 518-521.
- [82]-Sharaf, M., El-ansari, M. A., Saleh, N. A.M. (1999). Fitoterapia, 70, 478-482.
- [83]-Voirin, B., Bayet, C., Faure, O., Jullien, F. (1999). Phytochemistry, 50, 1189-1193.
- [84]-El-Desoky, S.K., El-ansari, M. A., El-Negoumy, S.I. (2001). Fitoterapia, 72, 532-537.
- [85]-Janićijević, J., Tošić, S., Mitrović, T. (2007). flavonoid in plant serbia, 01-03.

[86]-Akroum, S., Bendjaddou, D., Satta, D., Lalaui, K. (2009). Americane\_rasian journal of scientific research, 4,93-96.

# الملخص

هدفنا الرئيسي من هذا البحث هو فصل وتحديد منتجات الأيض الفلافونيدي لطور خلات الايثيل للنبة *Mentha arvensis* التي تنتمي إلى العائلة الشفوية، وقد تمكنا من فصل مركبين فلافونيديين باستعمال مختلف التقنيات الكرومانتوغرافية (كرومانتوغرافيا الطبقة الرقيقة CCM كرومانتوغرافيا العمود، كرومانتوغرافيا الورق CP). و باستعمال الإماهة الحمضية و مختلف الطرق الفيزيوكيميائية من مطيافية الأشعة فوق البنفسجية UV و مطيافية الرنين النووي المغناطيسي  $^1\text{H}$  RMN تم تحديد بنى المركبات

المفصولة:

- ❖ 3-O- $\beta$  D glucosyl kaempférol
- ❖ 3-O- $\beta$  D glucosyl quercetine

# Résumé

L'objectif principal de ce travail est d'identifier des métabolites secondaires (flavonoïdes) de la plante *Mentha arvensis* appartenant à la famille de Lamiaceae (Labiées).

L'utilisation des différentes méthodes de séparation chromatographiques (, colonne, papier couche mince) a permis d'isoler deux composés flavonique, et grâce à l'hydrolyse acide et aux méthodes spectroscopiques usuelles (UV et RMN  $^1\text{H}$ ), les structures de ces flavonoïdes ont été établies comme suivant :

- ❖ 3-O- $\beta$  D glucosyl kaempférol
- ❖ 3-O- $\beta$  D glucosyl quercétine

# **Abstract**

The principal aim of the present work consisted to identify the secondary metabolites (flavonoids) of *Mentha arvensis* belonging to the Lamiaceae family.

The use of the different chromatographic methods (thin layer, column, paper) permitted the isolation of two flavonoids and with using acid hydrolysis and usual spectroscopic methods (UV,  $^1\text{H}$  NMR), the structures of this compounds were established as:

- ❖ 3-O- $\beta$  D glucosyl kaempférol
- ❖ 3-O- $\beta$  D glucosyl quercetine